

R
150
13

YILDIZ TEKNİK ÜNİVERSİTESİ
FEN BİLİMLERİ ENSTİTÜSÜ

Esnaf Üst. Pro. ve İng. Yıldız
Ara. ve Cüneyit Asf. Betül

YÜKSEK LİSANS TEZİ

Mefit Ata

1987

Ref
INŞ
LO5
987

YILDIZ ÜNİVERSİTESİ
FEN BİLİMLERİ ENSTİTÜSÜ

*Esnek Üst Yapıların Projelendirme ve İnşaat Yöntemlerinin
Araştırılması ve Cürüflu Asfalt Betonu*

Yüksek Lisans Tezi

İNŞ. MÜH. M. METİN ATA

İstanbul 1987

YILDIZ ÜNİVERSİTESİ
GENEL KİTAPLIĞI

Kot : R. 150

Alındığı Yer : Ean. Bil. Ens. 113

Tarih : 24.12.1988

Fatura :

Fiyatı : 4000 TL

Ayniyat No : 1/24

Kayıt No : 45925

UDC : 693.78

-Ek- : 378.242

X



15

YILDIZ ÜNİVERSİTESİ
FEN BİLİMLERİ ENSTİTÜSÜ



Ağırtaş İndirimli Bölümü, İnşaat Mühendisliği Anabilim Dalı
Lisans programı içerisinde yüksek lisans tezidir.

Tesnit teknik "Esnek Üst Yapıların Projelendirme ve
Yontma Uygulamaları" ve cürüflu asfalt beton
Birimlerinin inşaat tekniklerinin projelendirme yesi-

terat uygulamalarının inşaat tekniklerinin projelendirme yesi-

Esnek Üst Yapıların Projelendirme ve İnşaat Yöntemlerinin Araştırılması ve Cürüflu Asfalt Betonu

Yüksek Lisans Tezi

İNŞ. MÜH. M. METİN ATA

İstanbul 1987

ÖZET

Bu çalışma Yıldız Üniversitesi Fen Bilimleri Enstitüsü, İnşaat Mühendisliği Bölümü, Ulaştırma Anabilim Dalı yüksek lisans programı içerisinde yüksek lisans tezi olarak hazırlanmıştır.

Tezin konusu "Esnek üst yapıların projelendirme ve inşaat yöntemlerinin araştırılması ve cırıflu asfalt betonu"dur.

Birinci bölümde esnek üst yapıların projelendirme yöntemleri özetlenmiş ve AASHO metodıyla üst yapı hesabı ayrıntılı olarak incelenmiştir. Daha sonra gerçek gerilme yayılışı dikkate alınarak hesap yapılan tabakalı sistem hesap yöntemi ile AASHO yönteminin karşılaştırılması yapılmıştır.

İkinci bölümde ise Türkiye'deki demir çelik fabrikalarında artık ürün olarak elde edilen yüksek fırın cırıfunun, beton asfalt karışımında agreya olarak kullanabilirliği araştırılmıştır. Bu amaçla Ereğli Demir Çelik fabrikalarından getirilen cıruf, Karayolları 17. Bölge Müdürlüğü Araştırma Başmühendisliği bitüm laboratuvarı, İ.T.Ü metalurji ve yapı malzemesi laboratuvarları ve Yıldız Üniversitesi laboratuvarlarının imkanlarından faydalananlarak beton asfalt karışımında agreya olarak denenmiştir. Deneyler sonucunda cırufun beton asfalt karışımında agreya olarak kullanılabileceği ispatlanmıştır.

Bu çalışma esnasında sürekli yardımlarını esirgemeyen Yıldız Üniversitesi Ulaştırma Anabilim Dalı Başkanı Sayın Doç. Dr. Aydin EREL'e, Araştırma Görevlisi Yük. Müh. Mustafa ILICALI'ya ve deneyler için imkan sağlayan Karayolları 17. Bölge Müdürlüğü bitüm laboratuvarı personeline teşekkürlerimi sunarım.

ABSTRACT

This thesis is submitted as a thesis for Master of Science degree at Yıldız University, Institute of Science, Department of Civil Engineering, Transportation Division.

The subject of this thesis is Research of Design Methods of Flexible Pavements and Asphalt Concrete with slug.

I'm the first part of this study; a summary of design methods of flexible pavements is given and detailed analysis of design of flexible pavements with AASHO method is made. After wards a comparison of AASHO method and analytical method is performed by considering real tension distribution.

I'm second part; the possibility of the use of slug detained from steel mills of Turkey as aggregate in asphalt concrete. For this purpose; the slug obtained from Ereğli steel works has been tested as aggregate in asphalt concrete bitumen laboratory of state Highways 17. Division Directory of Turkey; at laboratory for metallurgy an construction material of Istanbul Technical University and at Laboratories of Yıldız University. Tests have prooved satis factory result for the use of slug as aggregate.

It is my duty to submit my deepest thanks and regards to Assoc. Prof. Aydin EREL, The head of Transportation Division of Yıldız Univedsity and Mr. Mustafa İLICALI, Head of Research Group for their kind helps and efforts and inaugurations and to Personnel of bitumen laboratory of state Highways Dept. 17. Division Directory for their help in performing the tests

İÇİNDEKİLER

BÖLÜM I

I.1 - GİRİŞ	1
I.2 Esnek üstyapıların tanımı ve elemanları	2
I.2.1. Esnek üstyapıların tanımı	2
I.2.2. Esnek üstyapıların elemanları	2
I.2.2.1. Alt temel tabakası	3
I.2.2.2. Temel tabakası	3
I.2.2.3. Kaplama tabakası	7
I.3 Esnek üstyapıların projelendirme yöntemleri	9
I.3.1. Grup indeksi metodu	10
I.3.2. Kaliforniya taşıma oranı (CBR) metodu	12
I.3.3. AASHO metodu	15
I.3.3.1. Son servis kabiliyeti indeksi (Pt)	17
I.3.3.2. Bölge faktörü (R)	17
I.3.3.3. Taban zemininin taşıma değeri (Si veya CBR)	18
I.3.3.4. Eşdeğer dingil yükü (Standart dingil tekerrürü sayıısı)	20
I.3.3.5. (SN) Üstyapı sayısı	28
I.3.4. Tabakalı sistem hesap yöntemi (Gerçek gerilme yayılışına göre)	28
I.4 Örnek çözümler	35
I.4.1. AASHO yöntemiyle çözümler	35
I.4.2. Tabakalı sistem hesap yöntemiyle çözümler	38
I.5 AASHO yöntemi ile tabakalı sistem hesap yönteminin karşılaştırılması	43
I.5.1. AASHO yöntemi ile tabakalı sistem hesap yönteminde kullanılan hesap kriterlerinin incelenmesi ve karşılaştırılması	43
I.5.2. AASHO yöntemi ile üstyapı hesabına etkeden faktörlerin analizi	43
I.5.3. AASHO yöntemi ile tabakalı sistem yönteminin karşılaştırılması	46
I.5.3.1 Trafik hacmi	46
I.5.3.2 Dingil yükü	46

I.5.3.3 Dingil yükü tekrar sayısı	46
I.5.3.4 Taban zeminin taşıma gücü ve suya hassasiyeti	47
I.5.3.5 Üstyapıda tabakaları teşkil eden malzemeleme- rin mekanik özellikler	47
I.5.3.6 Yoldan beklenen hizmetin kalitesi	47
I.5.3.7 Yolun ekonomik hizmet ömrü	48
I.5.3.8 Yolun yapıldığı yerin iklimi ve bölgesel koşullar	48

BÖLÜM II

II. CÜRUFLU ASFALT BETONU	50
II.1 Yüksek fırın cürufunun tarifi	50
II.2 Yüksek fırın cürufu çeşitleri	50
II.2.1 Havada soğutulmuş cüruf	51
II.2.2 Köpüklendirilmiş cüruf	51
II.2.3 Granüler cüruf (Yüksek fırın kumu)	51
II.3 Kimyasal bakımından cüruf tipleri	52
II.4 Yüksek fırın cürufunun elde edilmesi	52
II.5 Yüksek fırın cürufunun fiziksel özellikleri	53
II.6 Cürufun taşıma gücü	54
II.7 Erdemir cürufu ile yapılan laboratuvar çalışma- ları	54
II.7.1 Laboratuvar çalışmasının esasları	54
II.7.2 Deneylerde kullanılan cürufun fiziksel ve kimyasal özellikleri	54
II.7.3 Marshall stabilité deneyi öncesi yapılan malzeme deneyleri	57
II.7.3.1 Asfalt çimentosu deneyleri	57
II.7.3.2 Agrega (cüruf) deneyleri	59
II.7.3.3 Agrega deney sonuçları	63
II.7.4. Marshall stabilité deneyi	63
II.7.4.1 Deneyin yapılması	63
II.7.4.2 Dizayn kriterleri	66
II.7.4.3 Deney sonuçlarının bulunması	68
II.7.4.4 Deney sonuçlarının değerlendirilmesi	78

BÖLÜM I

I.I GİRİŞ

Yeni inşa edilecek bir yol üstyapısının projelendirilmesinde amaç, üstyapının dikkate alınan proje süresi boyunca üzerinden gececek trafiği gerekli konfor kalitelerini sağlayarak, büyük deformasyonlara maruz kalmadan güvenli bir şekilde taşımاسını sağlayacak toplam üstyapı kalınlığının tesbiti ve tabakalar ile bunların inşaatında kullanılacak malzemelerin özelliklerinin belirlenmesidir.

Yollar diğer mühendislik yapılarına nazaran daha karmaşık bir sistem arzederler. Karmaşıklığın nedenleri; taban zeminin yol boyunca sürekli aynı özelliğe sahip olmaması sonsuz uzunlukta olmaları, esnek üstyapıların hava sıcaklığına bağlı olarak değişik elastik ve mukavemet özelliklerini göstermesi ve en önemlisi maruz oldukları yüklerin şiddet ve tekrar sayılarının kesin olarak tesbitinin mümkün olmamasıdır. Bu özetlemeye çalıştığım karmaşık sistemi çözmek için kullanılan çeşitli projelendirme yöntemleri vardır. Karayolları Genel Müdürlüğü teşkilatının kurulmasını izleyen yıllarda, yolların üstyapılarının tesbiti maksadıyla, diğer bir çok ülkede olduğu gibi zaman içindeki gelişmelere paralel olarak Wyoming metodu, Gurup indeksi metodu ve CBR metodu gibi çeşitli ampirik metodlar kullanılmıştır. Daha sonra Amerika Birleşik Devletlerinin Illinois eyaletinin Ottawa kentinde 1956-1958 yılları arasında inşa edilen AASHO deneme yolu üzerinde dingil yükleri 910 kg. ile 21800 kg. arasında değişen araçlar günde 15 saat, haftada 6 gün olmak üzere 2 yıl boyunca uygulanmış ve üstyapı sürekli olarak incelenmiştir. Ölçmeler bilgisayarlarla değerlendirilmiş ve üstyapı kalınlığının tayini için yeni bir yöntem geliştirilmiştir. (AASHO metodu). Her ülke bu önemli yol deneyinin sonuçlarını kendi şartlarına uygun olarak geliştirerek kullanmıştır. Karayolları Genel Müdürlüğü'nde halen bu metodу kullanmaktadır. Ancak ülkemiz yollarındaki ticari taşıt veya ağır taşıt oranı, gelişmiş ülkelerde hiç rastlanmayacak şekilde %50-70 mertebesinde olup her bir ticari

taşının bir geçişinin yola verebileceği zararda ülkemizde diğer ülkelere nazaran oldukça büyük olmaktadır. Dolayısıyla bu projelendirme esnasında yapılan kabullenme boşa çıkmakta ve yol üstyapısının proje süresinden önce bozulmasına neden olmaktadır.

Bu bölümde önce esnek üstyapılar hakkında genel bilgi verilip, daha sonra esnek üstyapıların projelendirme yöntemleri anlatılacaktır. Bu arada AASHO yöntemi ve tabakalı sistem hesap metodu karşılaşılacak örnek çözümler üretilerek karşılaştırma sonuçları değerlendirilecektir.

I. 2 ESNEK ÜSTYAPILARIN TANIMI VE ELEMANLARI

I.2.1 ESNEK ÜSTYAPILARIN TANIMI :

Üstyapı; Yol, hava alanı pisti, araba parkı v.b.yerlerde taban tarafından desteklenen ve trafiğin üzerinde hareket ettiği tabakalı bir yapı diye tanımlanabilir. Fonksiyonu, trafiğin doğurduğu gerilimleri her noktada üstyapı tabakalarının ve tabanın zarar görmeden dayanabileceği bir seviyeye düşürmektedir.

Esnek üstyapı ise yukarıda yapılan üstyapı tanımına uygun olarak tesviye yüzeyi ile sıkı bir temas sağlayan ve yükleri taban zeminine dağıtan bir üstyapı şekli olup, gerilme direncinin veya bükülme rıjitliğinin önemsiz olduğu, stabilitesi aggrega kenetlenmesine dane sürütmemesine ve kohezyon'a bağlı olan bir üstyapı tipidir.

İnşa edilecek yolu taban zeminine, trafiğe, çevre şartlarına ve ekonomik faktörlere bağlı olarak en uygun üstyapı tipi seçilmelidir. Ancak şu anda Karayolları Genel Müdürlüğü'nde esas olarak sadece esnek üstyapı tipi kullanılmaktadır.

I.2.2 ESNEK ÜSTYAPILARIN ELEMANLARI

Esnek üstyapı deyimi tesviye edilmiş taban yüzeyi üzerine inşa edilen alt temel, temel ve kaplama tabakalarının tümünü kapsar. Bu tabakaları tek tek ele alarak fonksiyonlarını ve özelliklerini özetlemeye çalışalım.

I.2.2.1 ALT TEMEL TABAKASI

Alt temel tabakası, fenni şartnamede verilen gradasyon limitleri içinde sürekli gradasyon verecek şekilde hazırlanan malzemenin su ile karıştırılarak, ince tesviyesi tamamlandı dolgu veya yarmadan oluşan taban üzerine, bir veya birden fazla tabakalar halinde projesinde belirtilen plan, profil ve enkesitlere uygun olarak serilip sıkıştırılmasıyla oluşturulan tabakadır. En büyük dane boyutu 3 inç'tir. Minimum alt temel kalınlığı 20 cm. olmalıdır. Alt temel tabakası, taban zemininin taşıma gücünü aşabilecek yüksek gerilmeleri ve tabanda oluşacak don etkisinin üstyapıya yansımmasını önleyecek niteliklere sahip bulunmalıdır. Malzemenin don etkisine ve basınca dayanıklı olması gereklidir. Daneli alt temel malzemesi dona hassas taban zeminine karşı filtre stabilitesine sahip olmalıdır. Bu nedenle yeterli miktarda ince ve orta kum içermelidir. Böylece suyun alttan yukarıya doğru yükselmesi halinde ince daneler yüzmez veya trafik etkisi altında, alttemel daneleri arasına girmez. Karayolları esnek üstyapılar projelendirme rehberi Ek-b'de malzeme granülometrisi ve diğer özelliklerinin tablo I.1'deki şartları sağlaması istenmiştir.

I.2.2.2 TEMEL TABAKASI

Bir üstyapının temel tabakası, kaplama tabakasının heman altına yerleştirilen, daneli veya uygun bir bağlayıcı ile işlem görmüş malzeme tabakası olup, birden fazla tabaka halindedede inşa edilebilir. Temel tabakasının başlıca görevi kaplama tabakasına dayanak sağlayarak üstyapının yük taşıma kabiliyetini artırmaktır. Temel tabakası trafik yüklerinden doğan yüksek kayma gerilmelerine karşı koyabilmeli ve yüksek nem oranında niteliklerini kaybetmeden işlevini sürdürmeliidir. Temel tabakası bu işlevlerinin yanı sıra drenaja yardımçı olabileceği gibi, don etkisine karşıda bir korunma sağlayabilir. Esnek üstyapılarda kullanılan temel cinsleri aşağıda sıralanmış ve kısa açıklamalar verilmiştir.

TABLO I.1 ALT TEMEL TABAKASI MALZEME ŞARTNAMESİ

DENEY ADI	SINIRLAMALAR		
Mekanik Analiz	Elek mm	inc	Geçen %
	75mm	3"	100
	37,5mm	1,5"	85-100
	9,5mm	3/8"	45-100
	4,75mm	No 4	25-85
	0,425mm	No 40	7-40
	0,075mm	No 200	0-12
(x) d_{15}/d_{t85}			5
(xx) D_{200}/D_{40}			2/3
Na ₂ SO ₄ sağlamlık	Kayıp	≤ %25	
Los Angeles Aşınma	Aşınma	≤ %50	
Likit Limit	LL	≤ 25	
Plastisite İndeksi	PI	≤ 6	
CBR	CBR	≥ 30	
Sıkışma	% sıkışma	≥ 95-100	

(x) d_{15} = Alttemelin %15'inin küçük olduğu dane boyutu

(x) d_{t85} = Tabanın %85'inin " " " "

(xx) D_{200} = No.200 elekten geçen alttemel malzemesinin %'si

(xx) D_{40} = No.40 " " " "

b-) KIRIİMİŞ ÇAKIL VEYA KIRMA TAŞ TEMEL TABAKASI

Bu tip temel tabakası şartnamede verilen deney kriterlerini sağlayan ve sürekli gradasyon verecek şekilde hazırlanmış malzemenin, yeterli alttemel tabakası üzerine optimum su muhtevası verilerek bir veya birden fazla tabakalar hinde serilip sıkıştırılmasıyla oluşan tabakadır.

Bağlayıcı içermeyen bu tip temelde, tabakanın trafik yükleri altında en az deformasyona uğraması için yüksek stabiliteye sahip olması gereklidir. Tabakanın stabilitesi, kullanılan malzemenin dane şekline, dane boyutu dağılımına izafi yoğunluğuna ve daneler arası içsel sürtünmeye bağlı olarak değişmektedir.

b-) PLENTS-MİKS KIRMATAŞ TEMEL TABAKASI

Plents-miks kırmataş temel tabakası, kaba ve ince agregal olmak üzere en az iki ayrı dane boyutu grubundaki malzemenin verilen limitler dahilinde sürekli gradasyon verecek şekilde, optimum su içeriğinde stabilizasyon plentlerinde karıştırılması ve finişerle yeterli alttemel üzerine serilmesiyle elde edilir.

c) PENETRASYON MAKADAM TEMEL :

Penetrasyon makadam temel tabakası düşük trafikli yollarda uygulanabilecek temel seçeneklerinden biridir. Bu tip temel tabakası, serilip sıkıştırılmış kaba aggrega ize-rine ince aggreganın serilip sıkıştırılarak kaba aggreganın boşluklarının doldurulması ilkesine dayanır. İnce aggreganın serilmesinden önce kaba aggrega üzerine yüksek penetrasyonlu (TS-100, 120-150) sıcak asfalt çimentosu uygulanır. Kaba aggreganın yüzey boşlukları dolduktan sonra yüzey, sıcak asfalt çimentosu ve ince aggrega uygulanarak kaplanır. Penetrasyon makadam temel tabakası açık gradasyonlu bir temel tipi olduğundan trafik altında sıkışma beklenmelidir. Penetrasyon makadam temel tabakası sıkışmadan sonraki kalınlığı minimum 7,5 cm. olacak şekilde inşa edilmelidir.

d-) ASFALTLI MAKADAM TEMEL

Asfaltlı makadam temel tabakası düşük trafikli

yollarda, bir bitümlü aşınma tabakası altında kullanılabilen temel tipidir. Yüksek penetrasyonlu (75-100, 150-200, 200-300) asfalt cimentosu ile karıştırılmış kaba agreganın bir veya birden fazla tabakalar halinde serilip sıkıştırılmadan sonra yüzeysel boşlukların asfalt cimentosu ve ince aggrega ile doldurulması şeklinde inşa edilirler. Her bir tabakanın kalınlığı maksimum dane boyutunun 1,5 katından az 3 katından çok olmamalıdır. Asfaltlı makadam temel tabakada açık gradasyonlu bir temel tipi olup trafik yükleri altında sıkışırlar.

e) SICAK KARIŞIM BITÜMLÜ TEMEL(SICAK BITÜMLÜ TEMEL)

Sıcak bitümlü temel, belli gradasyon limitleri içinde kırılmış kaba aggrega ile ince agreganın plentte sıcak bitümlü bağlayıcı ile karıştırılması ile elde edilir. Aggrega, ince ve kaba olmak üzere iki tip malzemenin karışımıyla elde edildiğinden, sürekli bir gradasyona sahiptir. Bu nedenle üst yapida kaplamaya iyi bir temel teşkil ettiği gibi, granüler temel ve alt temele gelen yükler büyük ölçüde azaltılır. Bu nedenle özellikle orta ve yüksek trafikli yollarda, kaplama ile granüler temel arasında minimum kalınlığı maksimum dane boyutunun 1,5 katından az olmamak şartı ile bir veya birden fazla tabakalar halinde inşa edilerek kullanılır.

f) ÇİMENTOLU TEMELLER

Çimentolu temeller, çimento ile zemin stabilizasyonu, çimento bağlayıcıları granüler temel ve zayıf beton olmak üzere üç tipte incelenir. Çimento ile zemin stabilizasyonu üst yapılarda genellikle alttemel olarak kullanılır. Çimento bağlayıcıları granüler temel ise yüksek ve çok yüksek trafikli yollarda kullanılan bir üstyapı temel tipidir. En az iki ayrı dane boyutu grubundaki agreganın sürekli gradasyon verecek şekilde ve yeterli oranda çimento ile plentte karıştırılıp, serici ile serilmesiyle inşa edilir. Çimento bağlayıcıları temelde 7 günlük basınç mukavemeti 150 mm. küp için $35,0 \text{ kg/cm}^2$ yükseklik-çap oranı 2/1 olan silindir için $28,0 \text{ kg/cm}^2$ olmalıdır.

Zayıf beton ise beton kavramı içinde incelenir ve normalbeton plentlerinde imal edilip serici ile serilir.

28 günlük küp mukavemeti 100 kg/cm^2 , den küçük olmamalıdır.

I.2.2.3 KAPLAMA TABAKASI

Kaplama tabakası, üstyapının trafik yüklerine doğrudan maruz kalan en üst tabakasıdır. Trafik yükleri nedeniyle oluşan basınç ve çekme gerilmelerinin en yüksek seviyede olması nedeniyle kaplama tabakası, üstyapının diğer tabakalarla göre daha bir elastisite modüline sahip olmalıdır.

Kaplama tabakası yol altyapısını çevre ve iklim şartları ile suyun olumsuz etkilerinden koruduğu gibi, seyahat edenler açısından konforu sağlayan tabakadır. Dolayısıyla kaplama tabakasının kalınlığı arttıkça yolun direnci artacağı gibi, temel tabakasına iletilen basınç ve kayma girmeleri azalır.

Yollarda kaplama tabakası olarak kullanılan bitümlü kaplama tipleri yapım ve çalışma ilkeleri birbirinden oldukça farklı olarak iki tipe ayrırlırlar.

A- Yüzeysel (sathi) Kaplamalar

B- Bitümlü karışımalarla oluşturulan kaplamalar

A- YÜZEYSEL (SATHI) KAPLAMALAR

Yüzeysel kaplama, yol yüzeyine ince bir film halinde asfalt veya katran sermek ve sonra bunun üstünü tabaka halinde agrega ile örtmek suretiyle yapılan bir kaplama şeklidir. Yüzeysel kaplamaların maliyetleri düşük olup, yapımlarında kolaydır.

Yüzeysel kaplamalar 3 gruba ayrırlırlar.

- Bir tabaka bitümlü yüzeysel kaplama
- İki tabaka bitümlü yüzeysel kaplama
- Bir veya birkaç tabaka bitümlü koruyucu yüzeysel kaplama (Seal-Coat)

Yukarıdaki şekilde 3 grupta incelenebilen yüzeysel kaplamaların ömrü ve kaliteleri kullanılan bağlayıcı ve agreganın özelliklerine, çevre ve trafik koşulları ile yapım sırasındaki malzemelerin uygulanmasına bağlı olarak değişirler.

A.1) BİR TABAKA BITÜMLÜ YÜZEYSEL (SATHİ) KAPLAMA

Bir tabaka bitümlü yüzeysel (sathi) kaplama yapımı

dört aşamada gerçekleştirilir. Önce mevcut yol yüzeyi kaplama tabakası yapılmasına hazır hale getirilir. Sonra bir yüzey üzerine astar tabakası serilip üzerine esas bitümlü bağlayıcı tabaka tatbik edilerek bunun üzerinde mineral agregadan oluşan örtü tabakası serilip sıkıştırıldıktan sonra istenen kaplama tabakası ve uygun yuvarlanma yüzeyi elde edilmiş olur.

A.2) İKİ TABAKA BİTÜMLÜ YÜZEYSEL KAPLAMA

İki tabaklı bitümlü yüzeysel kaplama yapımı bir tabaklı kaplamaya benzer olup ilave olarak A.1'de anlatılan işlemlerden sonra mevcut yüzeye bir tabaka daha bitümlü bağlayıcı ve aggrega serilip sıkıştırılarak elde edilirler.

A.3) BİR VEYA BİRKAÇ TABAKA BİTÜMLÜ KORUYUCU YÜZEYSEL KAPLAMA (SEAL-COAT)

Bu tip koruyucu yüzeysel kaplamalar, mevcut herhangi tipte kaplama veya bitümlü bir temel tabakası üzerine yalnız bitümlü bağlayıcı veya bitümlü bağlayıcı ve aggregadan oluşan bir koruyucu tabakanın uygulanması ile elde edilir. 1/2 inçten daha az kalınlıkta yapılması gereken koruyucu yüzeysel kaplamanın amacı yolu hava ve nem etkilerinden korumak, eski ve kuru yol yüzeylerini yenilemek veya kayganlaşmış eski yol yüzeyleri üzerinde kaygan olmayan yeni bir tabaka oluşturmak tır.

B- BİTÜMLÜ KARIŞIMLARLA OLUŞTURULAN KAPLAMALAR

Bitümlü karışımalarla oluşturulan kaplamaları başlıca 3 kategoride incelemek mümkündür. Bunlar

- Yerinde karıştırılmış (Road-Mix) hafif bitümlü kaplamalar

- Makina ile karıştırılmış (Plent-Mix) sıcak karışımlı hafif bitümlü kaplamalar

- Asfalt Betonu (Beton asfalt) kaplamalar

sözü edilen bu kaplama tiplerini kısa başlıklarla inceleyelim.

B-1) YERİNDE KARIŞIRİİMİŞ (ROAD-MIX) HAFIF BİTÜMLÜ KAPLAMALAR

Bu tip kaplamalar, yeterli kalınlıktaki stabilize veya makadam temeller üzerine yapılan soğuk karışıklı bir

aşınma tabakasıdır. Yerinde karıştırma kaplamalar maliyet yönünden orta pahalılıkta olup, orta ağırlıkta trafik koşulları için idealdir. Karışımın hazırlanması kaba agrega, ince agrega, filler ve bağlayıcının yol üzerinde greyder veya karıştırıcı makina ile yapılır ve serilerek sıkıştırılır.

B.2) MAKİNA İLE KARIŞTIRILMIŞ (PLANT-MIX) SICAK KARIŞIMLI HAFIF BİTÜMLÜ KAPLAMALAR

Makina ile karıştırılmış bitümlü kaplamaların, yerinde karıştırılmış kaplamalardan farkı, mineral agrega ile bitümlü malzemenin uygun bir karıştırma aletinde iyice karıştırılması ve yola serilmesidir. Daha çok ikinci sınıf devlet karayollarında kullanılır.

B.3) ASFALT BETONU (BETON ASFALT) KAPLAMALAR

Asfalt betonu kaplama, kırılmış ve elenmiş kaba agrega, ince agrega ve mineral fillerin belirli granülometri limitleri arasında işyeri karışım formülü esaslarına uygun olarak bitümlü bir bağlayıcı ile bir plente sıcak olarak karıştırılması ile elde edilir. En gelişmiş kaplama tipi olan beton asfalt kaplamalar otoyollarda ve havaalanı pistlerinde kullanılmakta olup, her çeşit iklim koşullarında uygulanabilir. Beton asfalt kaplamalar yeterli sağlamlıktaki temeller veya diğer bitümlü kaplamalar ile beton kaplamalar üzerine bir veya birden fazla tabakalar halinde sıcak olarak tatbik edilir. Asfalt betonu genel anlamı ile aşınma ve birde tabakalarından oluşur.

Günlük ticari taşıt sayısı çift yönde 500'den büyük veya proje ömrü süresi içinde toplam standart dingil sayısı 3×10^6 'dan fazla olan yollarda kaplama olarak asfalt betonu kullanılmalıdır.

I3- ESNEK ÜSTYAPILARIN PROJELENDİRME YÖNTEMLERİ

Bir esnek üstyapının yük taşıma kapasitesi, sistemi oluşturan tabakaların üstyapı direğine katkısı ve yük yayabilme özelliklerine bağlıdır. İyi projelendirilmiş bir üstyapıda tabakalar tarafından yayılan yük, tabana ulaşlığında, tabanın büyük deformasyonlara maruz kalmadan taşıabileceği bir düzeye düşürülmüş olur.

Esnek bir yol üstyapısına etkiyen faktörler şunlardır.

- Trafik hacmi
- Dingil yükü
- Dingil yüklerinin tekrar sayısı
- Taban zeminin taşıma gücü ve suya hassasiyeti
- Üstyapının alttemel, temel ve kaplama tabakalarında kullanılan çeşitli malzemelerin mekanik özellikleri
- Yoldan beklenen hizmetin kalitesi
- Yolun ekonomik hizmet ömrü
- Yolun yapıldığı yerin iklimi ve bölgesel koşullar

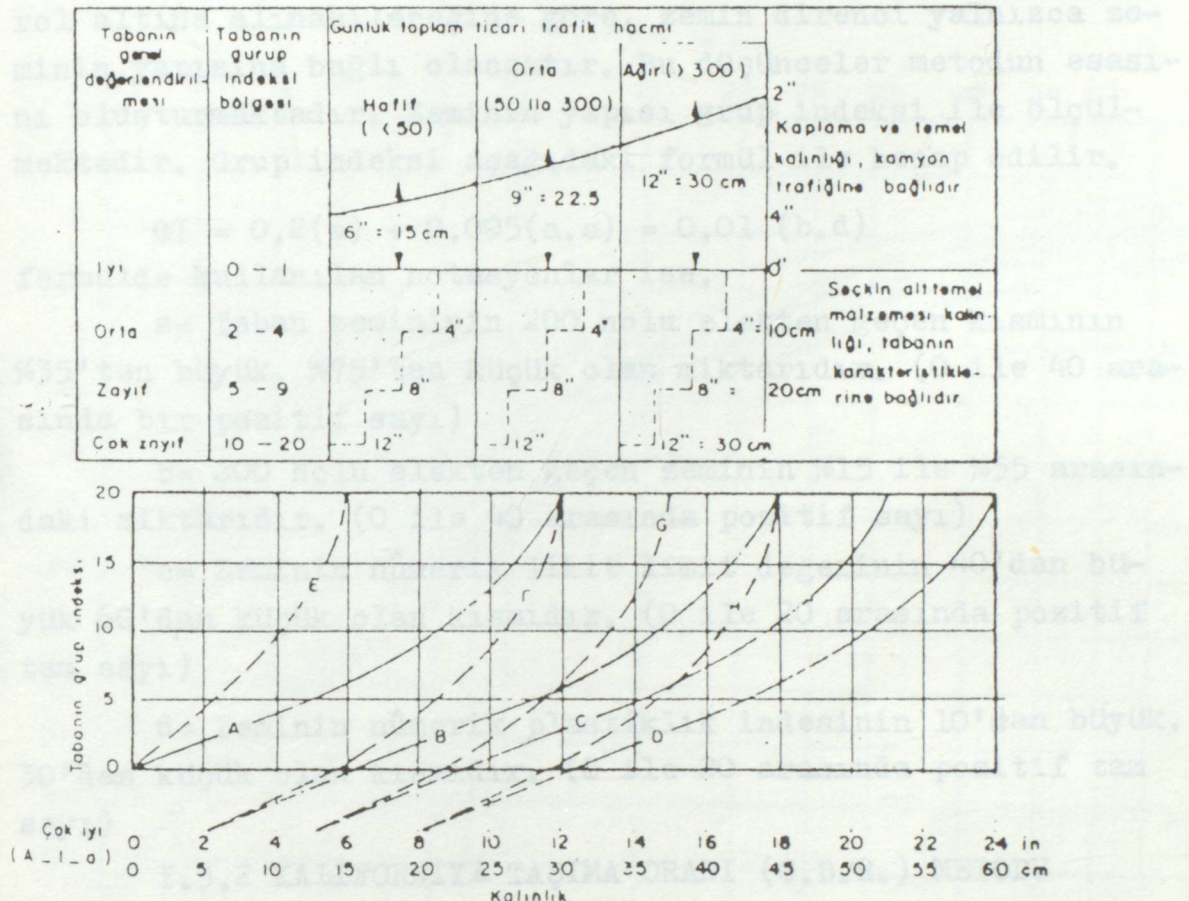
Üstyapıda tabakaları oluşturan malzemeler değişik özelliklere sahiptir. Alttemel ve temel tabakalarında granüler malzemeler kullanılırken, kaplama tabakasında, özellikleri sıcaklığı ve yükleme hızına bağlı olan, viskoelastik davranış gösteren bitümlü karışımlar kullanılmaktadır. Trafikle ilgili faktörlerde çok sayıdadır. Yani bir projelendirme esnasında değerlendirilecek çok sayıdaki etken birçok değişken faktöre bağlıdır. Değişik ülkelerde çeşitli projelendirme yöntemleri kullanılmaktadır. Ülkemizde ise Karayyolları Genel Müdürlüğü'nde esnek üstyapıların projelendirilmesinde bir çok ülkede olduğu gibi AASHO yöntemi kullanılmaktadır. Burada başlıca kullanılan yöntemleri özetleyip daha sonra AASHO yöntemi ile tabakalı sistem hesap yönteminin karşılaşılması yapılacaktır.

I.3.1 GRUP İNDEKSİ METODU :

1945 yılında Amerikalı Mühendis STEELE tarafından geliştirilen bu metodda zemin direncine göre üstyapı tayin edilmektedir. Zeminin direnci ise Grup İndeksi (GI) ile ölçülmektedir. Ayrıca trafik durumuda dikkate alınarak hazırlanmış olan abaklardan malzeme kalınlığı bulunur. (Şekil I.1) Eğer temel ve alttemelin yeteri kadar sıkıştırıldığı kabul edilirse, üstyapı kalınlığının tayin edecek en önemli etken tabanın direnci olacaktır. Tabanı oluşturan zeminin direnci ise:

- a) Zeminin nem oranına,
- b) Zeminin kuru yoğunluğuna,

ile iki malede, tabanın alt temeli ve sıkıştırılmış ile kom-



Şekil.I-1 Grup İndeksi değerleri yardımcı ile üstyapı kalınlıklarını veren abaklar

A eğrisi : Seçme malzemelerden inşa edilen alttemelin kalınlığı

B eğrisi : Hafif trafik için kaplama, temel ve alttemelin toplam kalınlığı

C eğrisi : Orta trafik için kaplama, temel ve alttemelin toplam kalınlığı

D eğrisi : Ağır trafik için kaplama, temel ve alttemelin toplam kalınlığı

E eğrisi : A eğrisinden bulunan alttemel yerine ikame edilebilecek ilave temel kalınlığı

F eğrisi : Hafif trafik için kaplama ve temelin toplam kalınlığı (alttemel yoktur)

G eğrisi : Orta trafik için kaplama ve temelin toplam kalınlığı (alttemel yoktur)

H eğrisi : Ağır trafik için kaplama ve temelin toplam kalınlığı (alttemel yoktur)

c) Zeminin yapısına, bağlıdır.

İlk iki madde, tabanın iyi drenajı ve sıkıştırılma ile kontrol altına alınabileceğine göre, zemin direnci yalnızca zeminin yapısına bağlı olacaktır. Bu düşünceler metodun esasını oluşturmaktadır. Zeminin yapısı grup indeksi ile ölçülmektedir. Grup indeksi aşağıdaki formül ile hesap edilir.

$$GI = 0,2(a) + 0,005(a.c) = 0,01(b.d)$$

formülde kullanılan notasyonlar ise,

a= Taban zemininin 200 nolu elekten geçen kısmının %35'ten büyük, %75'ten küçük olan miktarıdır. (0 ile 40 arasında bir pozitif sayı)

b= 200 Nolu elekten geçen zeminin %15 ile %55 arasındaki miktarıdır. (0 ile 40 arasında pozitif sayı)

c= Zeminin nümerik likit limit değerinin 40'dan büyük 60'dan küçük olan kısmıdır. (0 ile 20 arasında pozitif tam sayı)

d= Zeminin nümerik plastiklik indesinin 10'dan büyük 30'dan küçük olan kısmıdır. (0 ile 20 arasında pozitif tam sayı)

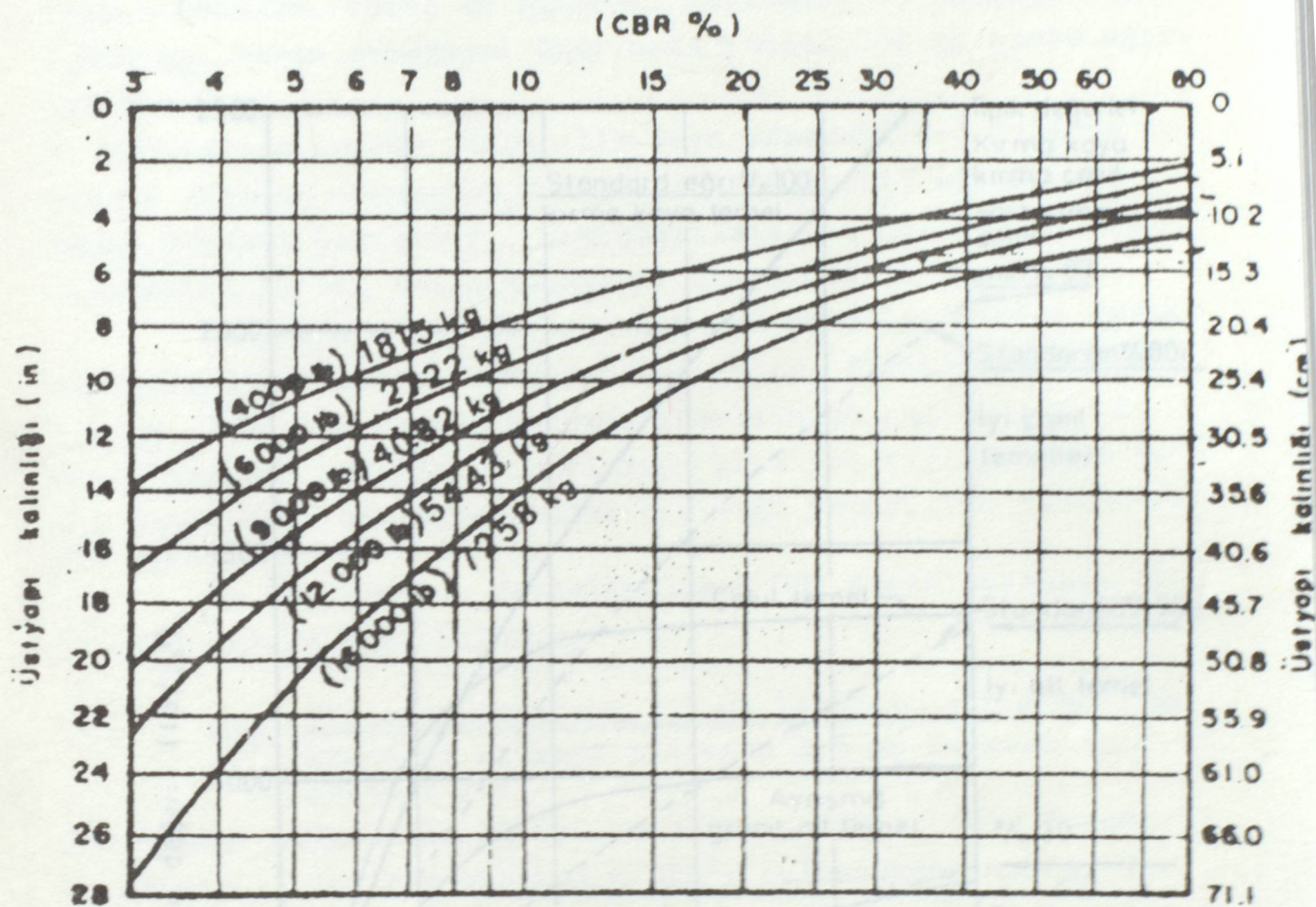
I.3.2 KALIFORNIYA TAŞIMA ORANI (C.B.R.) METODU

Bu metod 1930'larda O.J. Porter tarafından geliştirilmiştir. Önce havaalanı pistlerinin hesabında kullanılan CBR metodu, daha sonra yapılan bazı değişiklikler ile yol üstyapıları içinde kullanılmaya başlanmıştır.

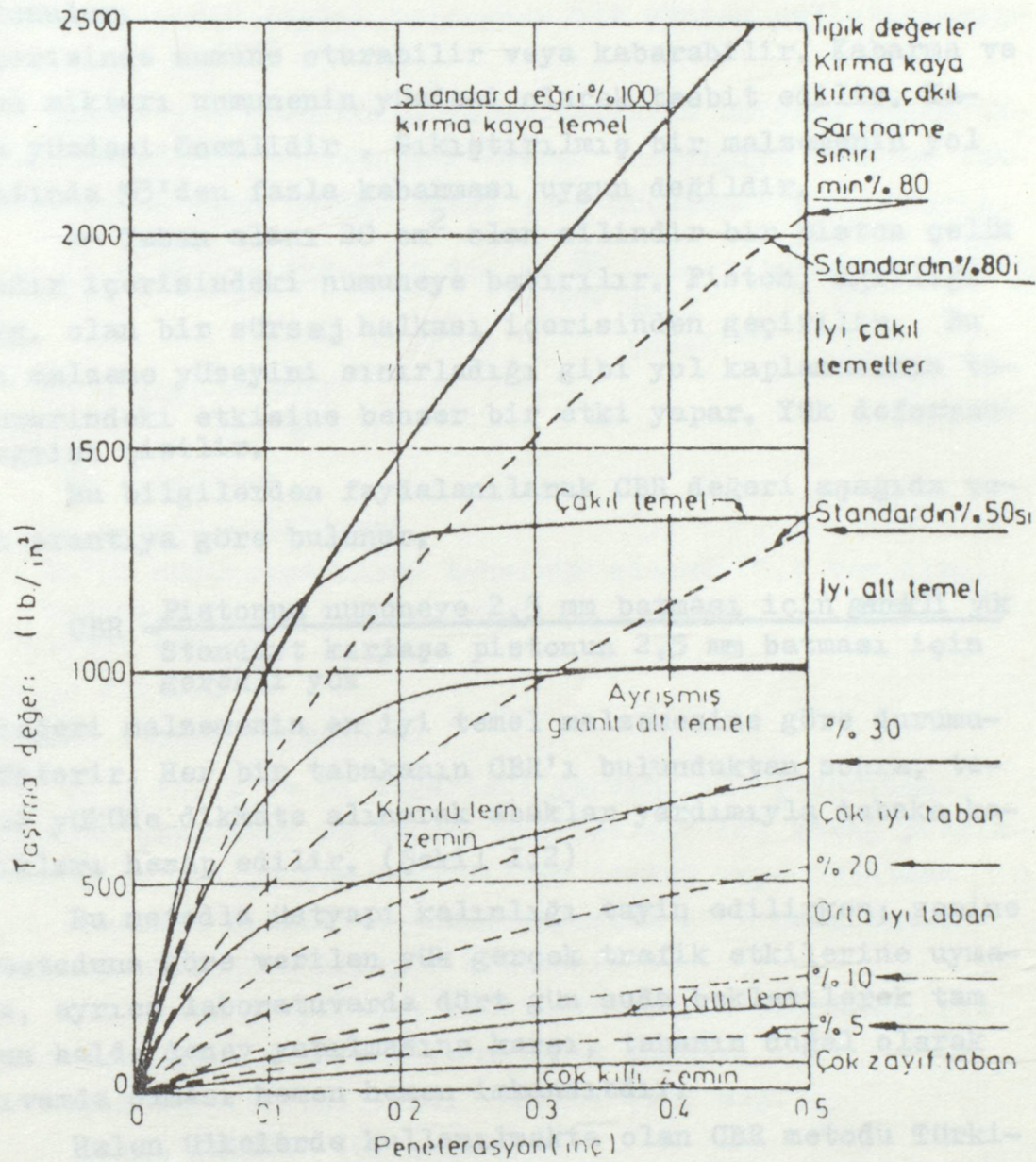
Yük deformasyon eğrisi deneyle belirlendikten sonra CBR değeri tesbit edilir. Taşitin tekerlek yükü ve bir diyagramdan faydalananarak üstyapı kalınlıkları tayin edilir. Taban, alttemel ve temel malzemeleri üzerinde CBR deneyi uygulanır. Kaliforniya taşıma oranı deneyi aşağıdaki sıraya göre yapılır.

1- Yaklaşık 4 kg. ağırlığında değişik su muhtevasında olan numuneler, 15 cm çapında 20 cm yüksekliğinde çelik silindirler içerisinde 140 kg/cm^2 yük ile sıkıştırılır. Elde edilen numunenin yüksekliği 10 cm kadar olmaktadır.

2- Bu numunelerin her birine ait yoğunluk, su muhtevası



Şekil I-2 CBR Metodu ile üstyapı kalınlık hesap eğrileri.



Sekil : I.3 CBR metodu ile incelenen çeşitli zeminlerde Yük-Deformasyon eğrileri.

eğrisi çizilerek maksimum yoğunluk değeri bulunur.

3- Çelik kalıpla birlikte bu numune dört gün su içeresine konulur. Temel ve alttemel malzemesinin üzerine 2 adet 2,250 kg. taban malzemesi üzerinede 5 adet 2,250 kg ilave ağırlık konulur.

Su içerisinde numune oturabilir veya kabarabilir. Kabarma ve oturma miktarı numunenin yüzdesi olarak tesbit edilir. Kabarma yüzdesi önemlidir. Sıkıştırılmış bir malzemenin yol inşaatında %3'den fazla kabarması uygun değildir.

4- Taban alanı 20 cm^2 olan silindir bir piston çelik silindir içerisindeki numuneye batırılır. Piston, ağırlığı 4,5 kg. olan bir sürsaj halkası içerisinde geçirilir. Bu halka malzeme yüzeyini sınırladığı gibi yol kaplamasının temel üzerindeki etkisine benzer bir etki yapar. Yük deformasyon eğrisi çizilir.

Bu bilgilerden faydalananlarak CBR değeri aşağıda verilen orantıyla göre bulunur.

CBR = Pistonun numuneye 2,5 mm batması için gerekli yük
Standart kırtaşa pistonun 2,5 mm batması için
gerekli yük

CBR değeri malzemenin en iyi temel malzemesine göre durumu gösterir. Her bir tabakanın CBR'ı bulunduktan sonra, tekerlek yükü dikkate alınarak abaklar yardımıyla tabaka kalınlıkları hesap edilir. (Şekil I.2)

Bu metodla üstyapı kalınlığı tayin edilirken; zemine CBR metoduna göre verilen yük gerçek trafik etkilerine uymamakta, ayrıca laboratuvara dört gün suda bekletilerek tam doygun halde deney yapılmasına karşı, tabanın doğal olarak bu kıvamda olması hemen hemen imkansızdır.

Halen ülkelerde kullanılmakta olan CBR metodu Türkiye'de terkedilmiştir.

I.3.3. AASHO METODU :

(Karayolları Genel Müdürlüğü'nce Uygulanan Metod)

Amerikada Illinois eyaletinin Ottawa kentinde inşa edilen AASHO deneme yolunun yapımı 1956 yılında başlamış ve 1958 yılında tamamlanmıştır. Altı bölümden oluşan bu yolda

tek ve çift dingilli vasıtalar ile 910 kg 21800 kg arasında değişen çeşitli yükler içinde 15 saat, haftada 6 gün olmak üzere 2 yıl boyunca uygulanmış ve üstyapı sürekli olarak incelenmiştir. Ölçmeler bilgisayarda değerlendirilmiş ve üst yapı kalınlığının tayini için yeni bir yöntem geliştirilmiştir.

AASHO yol deneyinden yararlanılarak üstyapı kalınlıklarının hesabında kullanılmak üzere, üstyapıya etkiyen faktörleri içine alan "AASHO Deney yolu denklemi" kurulmuştur.

$$\log T_{8,2} = 9,36 \log (SN+1) - 0,20 + \frac{Gt}{0,40 + \frac{1094}{(SN+1)^{5,9}}} + \log \frac{1}{R} + 0,372(S-30)$$

$$Gt = \log \frac{4,2-Pt}{4,2-15}$$

Bu formülde;

Pt = Son servis kabiliyeti

$T_{8,2}$ = Pt'ye düşünceye kadar tekerrür edecek (8,2 ton) dingil sayısı.

SN = Üstyapı sayısı

R = Bölge faktörü

Si = Zemin taşıma değeridir.

$T_{8,2}$, Pt, R ve Si değerleri yardımcı ile yukarıdaki denklemler çözülmerek SN değeri hesaplanabilir. Ancak pratikte Pt=2,0 ve Pt=2,5 ile t=20 yıllık toplam veya ortalama günlük standart dingil tekerrür sayısına göre hazırlanan tabaklardan SN değeri kolayca bulunabilir.

Bir esnek üstyapının AASHO yöntemiyle projelendirilmesinde aşağıdaki sıraya göre hareket edilir.

- Son servis kabiliyeti indeksi (Pt) seçilir.
- Bölge faktörü (R) seçilir.
- Taban zemininin Si (veya CBR) değeri saptanır.
- Proje trafiği hesaplanır.
- Pt, Si, R ve proje trafiği değerlerine karşılıkdan üstyapı sayısı (SN) ilgili abaktan bulunur.
- Üstyapı kompozisyonu, üstyapı tabakalarında kullanılacak malzeme cinsleri seçilir.

a_1, a_2, a_3 sırasıyla kaplama, temel ve alttemel tabakalarında kullanılan malzemelere ait tabaka katsayıları,

D_1, D_2, D_3 sırasıyla kaplama, temel ve alttemel tabakalarının kalınlıkları (cm), olduğuna göre

$SN = a_1 D_1 + a_2 D_2 + a_3 D_3$ eşitliğinden yararlanarak üstyapıdaki tabakaların kalınlıkları hesaplanır.

Şimdi hesaplamalar sırasında kullanılan kriterleri tek tek ele alarak, inceleyelim.

I.3.3.1 SON SERVİS KABİLİYETİ İNDEKSİ (Pt):

Bir üstyapının servis kabiliyeti yüksek hız ve hacimdeki trafiğe hizmet edebilme kabiliyeti olarak tanımlanır.

Mevcut servis kabiliyeti derecesi (PSR) diye isimlendirilmektedir. Servis kabiliyeti derecesi 0 ile 5 arasında değişen bir sayı ile ifade edilir. Burada 5 değeri en yüksek, 0 değeri ise en düşük servis kabiliyeti indeksini gösterir. Son servis kabiliyeti (Pt) yolun standardına ve trafiğe bağlı olarak sağlanır. Otoyolları, expres yollar ve devlet yollarında 2,5, il yollarında ise 2,0 olarak alınır.

I.3.3.2 BÖLGE FAKTÖRÜ (R):

Çevre ve iklim koşulları, üstyapı projelendirilmesinde dikkate alınması gereken önemli bir konudur. AASHO yol deneyinin en önemli eksikliklerinden birisi, çok çeşitli yapısal farklılıklar gösteren üstyapıların değişik trafik yükleri ve sayıları karşısında davranışlarının incelenmesine karşın, tek bir çevre ve belirli iklim koşullarında yapılmış olmasıdır. AASHO yol deneyinin yapıldığı bölge yıllık ortalamaya yağışı 860 mm, ortalama yaz sıcaklığı 24°C , ortalama kış sıcaklığı -3°C , don derinliği 70 cm. olan bir iklim sahiptir. Yol deneyinin yapıldığı bu şartlara benzerliğin yanısına, topografik yapı, yağış, don derinliği, ısı, yer altısu seviyesi, drenaj v.s gibi etkenlerde göz önüne alınarak bölge faktörü (R) değeri seçilebilir. Örnek olarak belirli tip koşullar için aşağıdaki değerler alınır.

	R
Donmuş taban zemini (12,5 cm. veya daha derin)	$0,2-1,0$
Kuru taban zemini (Yazın ve sonbaharda)	$0,3-1,5$
Doygun taban zemini (İlkbaharda don çözülmesi)	$4,0-5,0$

yapılan araştırmalarda ülkemiz için aşağıdaki kriterlere göre bölge faktörü seçiminin uygun olacağı belirlenmiştir.

a) Yağsız, yılın çok önemli bir bölümünde toprak kurak veya katı şekilde donmuş olan bölgeler için bölge faktörü: 0,5

b) Yazları kurak, ilkbahar, kış başlangıcı ve kışları normal yağışlı, toprak yazın ve sonbaharda kuru ve kısa süre için 10 cm. derinliğe kadar don olan bölgeler için bölge faktörü 0,5-1,0

c) Yılın önemli bir bölümü yağışlı, don olayı etkili don derinliği 10 cm. ile 40 cm. arasında olan bölgeler için bölge faktörü : 1,0 -1,5

d) Toprak yılın önemli bir bölümünde suya doygun, yazları hariç diğer mevsimler çok yağışlı, donma-çözülme periyotları sık, don derinliği 40 cm'den fazla olan bölgeler için bölge faktörü 1,5-2,0 olarak alınmalıdır.

I.3.3.3 TABAN ZEMİNİNİN TAŞIMA DEĞERİ (Si veya CBR)

Taban zemininin üstyapı projelendirilmesinde esas olan taşıma gücü, CBR değeri ile tanımlanır. CBR değeri dinamik yaş CBR deneyi (ASTM-D 1883) ile bulunur. Yapılacak CBR deneyleri sonunda proje CBR deneyi aşağıdaki şekilde hesaplanır. Si ile CBR ilişkisi şekil I.4'te gösterilmiştir.

a) Yol güzergahındaki her değişik taban kesimi için yeterli sayıda CBR deneyi yapılır.

b) Bilinen toplam eşdeğer standart dingil tekerrür sayısı ($T_{8,2}$) yardımı ile taban zemini proje emniyet yüzdesi Tablo I.2 'dan seçilir.

TABLO I.2 $T_{8,2}$ 'ye BAĞLI OLARAK TABAN Z. EMNİYET YÜZDESİ

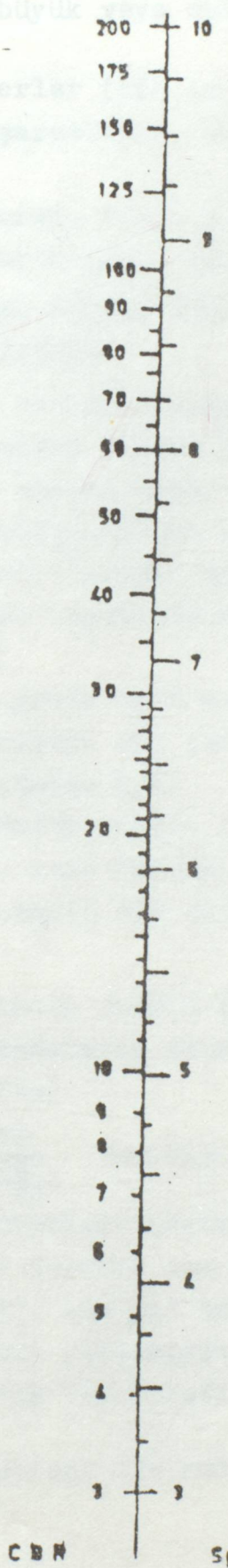
TOPLAM EŞDEĞER DİNGİL YÜKÜ SAYISI($T_{8,2}$)	TABAN ZEMİNİ PROJE EMNİYET YÜZDESİ
$T_{8,2} < 10^4$	60
$10^4 < T_{8,2} < 10^6$	75
$T_{8,2} > 10^6$	90

c) Öğülen CBR değerleri 100'den büyük olamaz ve 100'den küçük olamaz.

d) Belirtilen değerlerin en büyük değeri 100'dür.

e) Grafik kağıdında işlenen değerler 100'den küçük olabilir.

f) Bu sayılar 100'den küçük olmalıdır. Bu nedenle en fazla 100 olamaz. 1,3,5,4,6,7,8,9,10,11,12,13,14,15,16,17,18,19,20,21,22,23,24,25,26,27,28,29,30,31,32,33,34,35,36,37,38,39,40,41,42,43,44,45,46,47,48,49,50,51,52,53,54,55,56,57,58,59,60,61,62,63,64,65,66,67,68,69,70,71,72,73,74,75,76,77,78,79,80,81,82,83,84,85,86,87,88,89,90,91,92,93,94,95,96,97,98,99,100 olabilir.



Sekil : I.4

c) Ölçülen CBR değerleri büyükten küçüğe doğru sıralanır ve herbirinden büyük veya eşit CBR sayısı yüzdesi bulunur.

d) Bulunan değerler (CBR değerleri ve büyük eşit %'leri) grafik kağıdına işaretlenir, bu noktalardan geçen eğri çizilir.

e) Bu eğri üzerinde Tablo I.2'den seçilecek uygun - proje emniyet %'si yardımıyla proje CBR değeri seçilir.

I.3.3.4 EŞDEĞER DİNGİL YÜKÜ (STANDART DİNGİL TEKERLERÜ SAYISI)

Toplam eşdeğer standart dingil yükü tatbik sayısı, yolun hizmete açılmasından hizmet kabiliyeti indeksinin seçilen değere düşeceği zamana kadar hesap şeridinin taşıyacağı umulan toplam trafiktir. Yolun hizmete açıldığındaki ilk trafik ile trafik analiz süresi sonundaki son trafik değerleri yardımıyla üstyapı hesabında dikkate alınacak olan proje trafiği hesaplanır.

Her bir trafik grubu için belirlenen trafik sayıları taşıt eşdeğerlik faktörleri ile çarpılarak eşdeğer dingil sayısına dönüştürülür. (Tablo I.6)

İlk yıl için günlük trafik (t_0) ve trafik artış katsayı (r) belli ise (t) sene sonraki trafik

$t_t = t_0 (1+r)^t$ formülü ile bulunur. $(1+r)^t$ değerleri Tablo I.3'dedir.

İlk yıl için günlük trafik (t_0) ve son yıl için günlük trafik (t_t) belirlendikten sonra t süresi için ortalama günlük proje trafiği (t_p)

$$t_p = 0,4343 \frac{t_t - t_0}{\log \frac{t}{t_0}} \text{ formülü ile bulunur.}$$

Yoldan proje süresince geçecek toplam trafik (T_p) ise

$$T_p = t_p \times 365x t \text{ formülü ile bulunabilir.}$$

T_p 'nin proje süresi (t), ilk yıl toplam trafiği (T_0) ve yıllık trafik artış yüzdesi yardımıyla bulunmasına yarayan(f) katsayıları Tablo I.4'de verilmiştir. Bu katsayı yardımıyla

$$T_0 = t_0 \times 365$$

$$T_p = f \times T_0 \text{ formülleri ile bulunur.}$$

$(1+r)^t$ DEĞERLERİ

y_{11}	2	3	4	5	10	15	20	21	22	23	24	25
1.01	1.0201	1.0303	1.0406	1.0510	1.1046	1.1610	1.2202	1.2324	1.2447	1.2571	1.2617	1.2824
1.02	1.0404	1.0612	1.0824	1.1041	1.2190	1.3458	1.4859	1.5157	1.5460	1.5769	1.6084	1.6406
1.03	1.0609	1.0927	1.1255	1.1591	1.3439	1.5580	1.8061	1.8603	1.9161	1.9736	2.0328	2.0937
1.04	1.0816	1.1249	1.1699	1.2166	1.4802	1.8009	2.1911	2.2788	2.3699	2.4646	2.5633	2.6658
1.05	1.1025	1.1576	1.2155	1.2763	1.6289	2.0316	2.6533	2.7859	2.9252	3.0715	3.2250	3.3863
1.06	1.1236	1.1910	1.2625	1.3382	1.7939	2.3966	3.2072	3.3996	3.6036	3.8198	4.0490	4.2919
1.07	1.1449	1.2250	1.3108	1.4025	1.9672	2.7591	3.8697	4.1406	4.4304	4.7406	5.0724	5.4275
1.08	1.1664	1.2597	1.3605	1.4693	2.1589	3.1722	4.6610	5.0339	5.4366	5.8715	6.3413	6.8486
1.09	1.1881	1.2950	1.4116	1.5386	2.3673	3.6424	5.6043	6.1087	6.6584	7.2577	7.9109	8.6228
1.10	1.2100	1.3310	1.4641	1.6105	2.5938	4.1773	6.7276	7.4004	8.1404	8.9545	9.8499	10.8349
1.11	1.2321	1.3676	1.5181	1.6851	2.8394	4.7846	8.0623	8.9492	9.9336	11.0263	12.2392	13.58
1.12	1.2544	1.4049	1.5735	1.7623	3.1059	5.4736	9.6463	10.8038	12.1003	13.5323	15.1786	17.0000
1.13	1.2769	1.4429	1.6307	1.8423	3.3945	6.2542	11.5228	13.0208	14.7335	16.6262	18.7877	21.2300
1.14	1.2996	1.4815	1.6890	1.9254	3.7072	7.1380	13.7436	15.6677	14.8612	20.3617	23.2124	26.4621
1.15	1.3225	1.5209	1.7490	2.0114	4.0456	8.1371	16.3667	18.8217	21.6449	24.8917	28.6255	32.9192

Tablo I.3

Tablo I.4. Trafik Artış Katsayıları, (f)

Proje Süresi	YILLIK TRAFİK ARTIŞ YÜZDESİ								
	0	2	4	5	6	7	8	10	
1 yıl	1.0	1.0	1.0	1.0	1.0	1.0	1.0	1.0	1.0
2 "	2.0	2.02	2.04	2.05	2.06	2.07	2.08	2.10	
3 "	3.0	3.06	3.12	3.15	3.18	3.21	3.25	3.31	
4 "	4.0	4.12	4.25	4.31	4.37	4.44	4.51	4.64	
5 "	5.0	5.20	5.42	5.53	5.64	5.75	5.87	6.11	
6 "	6.0	6.31	6.63	6.80	6.98	7.15	7.34	7.72	
7 "	7.0	7.43	7.90	8.14	8.39	8.65	8.92	9.49	
8 "	8.0	8.58	9.21	9.55	9.90	10.26	10.64	11.44	
9 "	9.0	9.75	10.58	11.03	11.49	11.98	12.49	13.58	
10 "	10.0	10.95	12.01	12.58	13.18	13.82	14.49	15.94	
11 "	11.0	12.17	13.49	14.21	14.97	15.78	16.65	18.53	
12 "	12.0	13.41	15.03	15.92	16.87	17.89	18.98	21.38	
13 "	13.0	14.68	16.63	17.71	18.88	20.14	21.50	24.52	
14 "	14.0	15.97	18.29	19.16	21.01	22.55	24.21	27.97	
15 "	15.0	17.29	20.02	21.58	23.28	25.13	27.15	31.77	
16 "	16.0	18.64	21.82	23.66	25.67	27.89	30.32	35.95	
17 "	17.0	20.01	23.70	25.84	28.21	30.84	33.75	40.55	
18 "	18.0	21.41	25.65	28.13	30.91	34.00	37.45	45.60	
19 "	19.0	22.84	27.67	30.54	33.76	37.38	41.45	51.16	
20 "	20.0	24.30	29.78	33.06	36.79	41.00	45.76	57.28	

Dingil eşdeğerlik faktörlerinin bulunmasında, tek dingil yüklerini, standart dingil (8,2 ton) sayısına döönüştürmek için:

Tablo I.5. Dingil Eşdeğerlik Faktörleri

Dingil Yükü	Tek Dingil Eşdeğerlik Faktörü	Tandem Dingil Eşdeğerlik Faktörü
1 ton	0,001	0.00004
2 "	0.002	0.0003
3 "	0.01	0.001
4 "	0.04	0.004
5 "	0.11	0.01
6 "	0.25	0.02
7 "	0.50	0.04
8 "	0.90	0.07
9 "	1.51	0.11
10 "	2.39	0.17
11 "	3.64	0.26
12 "	5.34	0.38
13 "	7.60	0.53
14 "	10.52	0.72
15 "	14.26	0.97
16 "	18.93	1.26
17 "		1.62
18 "		2.05
19 "		2.54
20 "		3.11
21 "		3.77
22 "	SERTİ DÄĞITMA FAKTORLERİ	4.52
23 "	SERTİ DÄĞITMA FAKTORU	5.36
24 "	1.00	6.31
25 "	0.90	7.36

Dingil eşdeğerlik faktörlerinin bulunmasında, tek dingil yüklerini, standart dingil (8,2 ton) sayısına dönüştürmek için

$x = \left(\frac{P}{P_0}\right)^n$ üssel fonksiyonu kullanılır.
n üssünün değeri $3,5^2$ ile 4,5 arasında değişmekte olup ülkemiz için 4,4 alınması uygun görülmüştür.

Bu değerler Tablo I.5'de verilmiştir.

Taşıt eşdeğerlik faktörlerinin bulunmasında lodosmetre çalışmasının mümkün olmadığı hallerde, değişik trafik kategorilerine göre 4 taşıt grubu için Tablo I.6'da verilen ortalamalı taşıt eşdeğerlik faktörleri kullanılabilir.

TABLO I. 6 TAŞIT EŞDEĞERLİK FAKTÖRLERİ

TRAFİK GRUBU	TRAFİK KATEGORİSİ				
	0-250	250-500	500-1500	1500-3000	3000
KAMYON	1,74	1,83	1,96	2,04	2,18
TREYLER	2,78	2,88	3,06	3,15	3,35
OTOBÜS	0,90	0,90	0,95	0,95	0,98
OTOMOBİL	0,0006	0,0006	0,0006	0,0006	0,0006

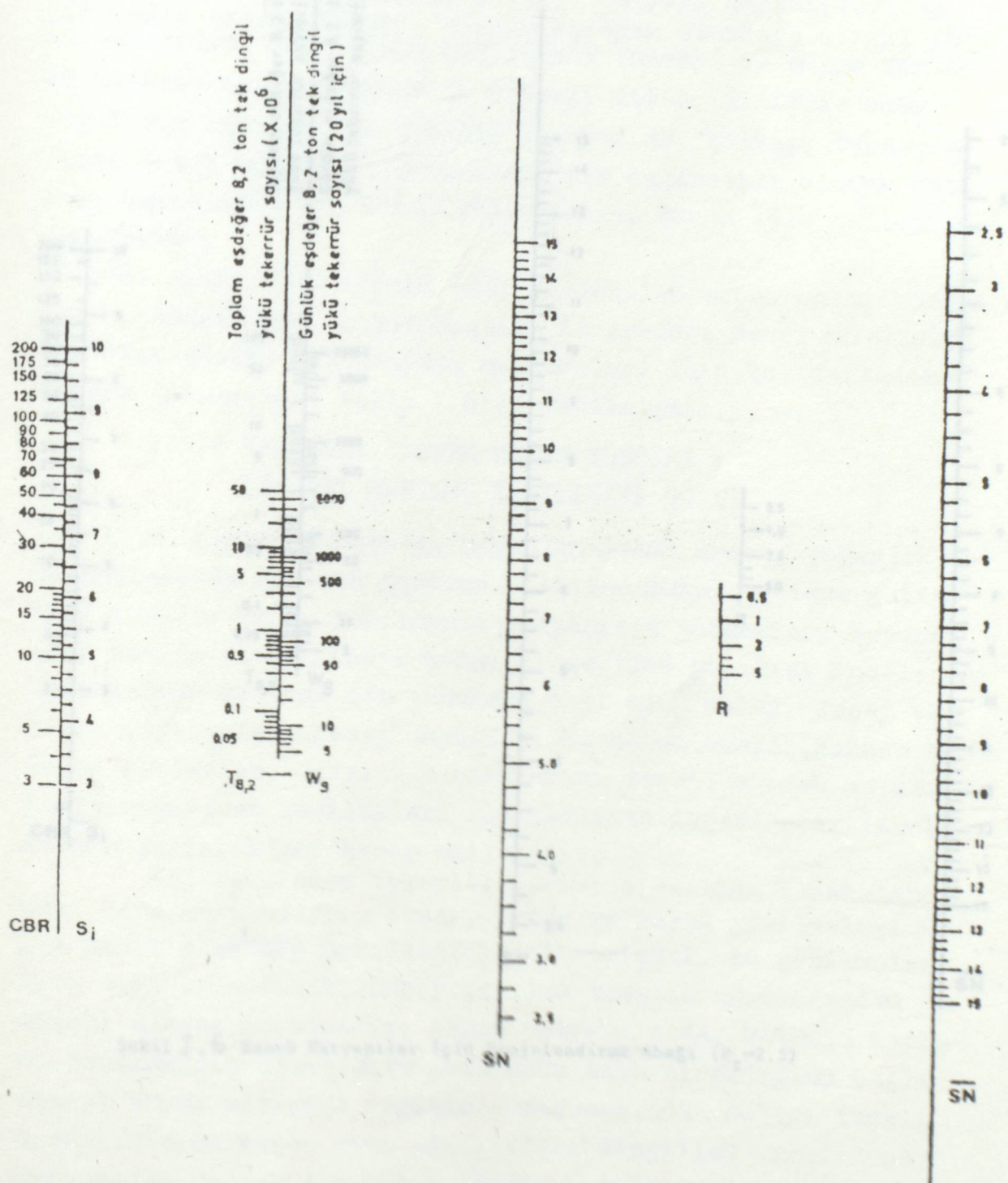
Yukarıda anlatılan şekilde hesaplanan eşdeğer dingil yükleri her iki yön için bütün şeritlerin taşıyacağı toplam trafiği ihtiva eder. Projelendirme amaçları için bu trafik yön ve şeritler itibariyle dağıtılmalıdır. Özel şartlar mevcut olmadıkça dağıtım her yöne trafiğin yarısının verilmesiyle yapılır. Yani yön dağıtıma faktörü genellikle (1/2) olarak alınır. Bu katsayı ile yönlerde dağıtımlı yapılan trafik değerinin tekrar bir katsayı ile çarpılarak ticari araçların kullandığı şeridin trafiği, yani hesap şeridindeki trafiğin bulunması gereklidir. Bunun için Tablo I.7'deki katsayıları kullanılır.

TABLO I.7 ŞERİT DAĞITMA FAKTÖRLERİ

İKİ YÖNDEKİ ŞERİT SAYISI	ŞERİT DAĞITMA FAKTÖRÜ
2	1,00
4 6 veya daha çok	0,90 0,80

Tatlı I.8 Tabaka Katsayıları

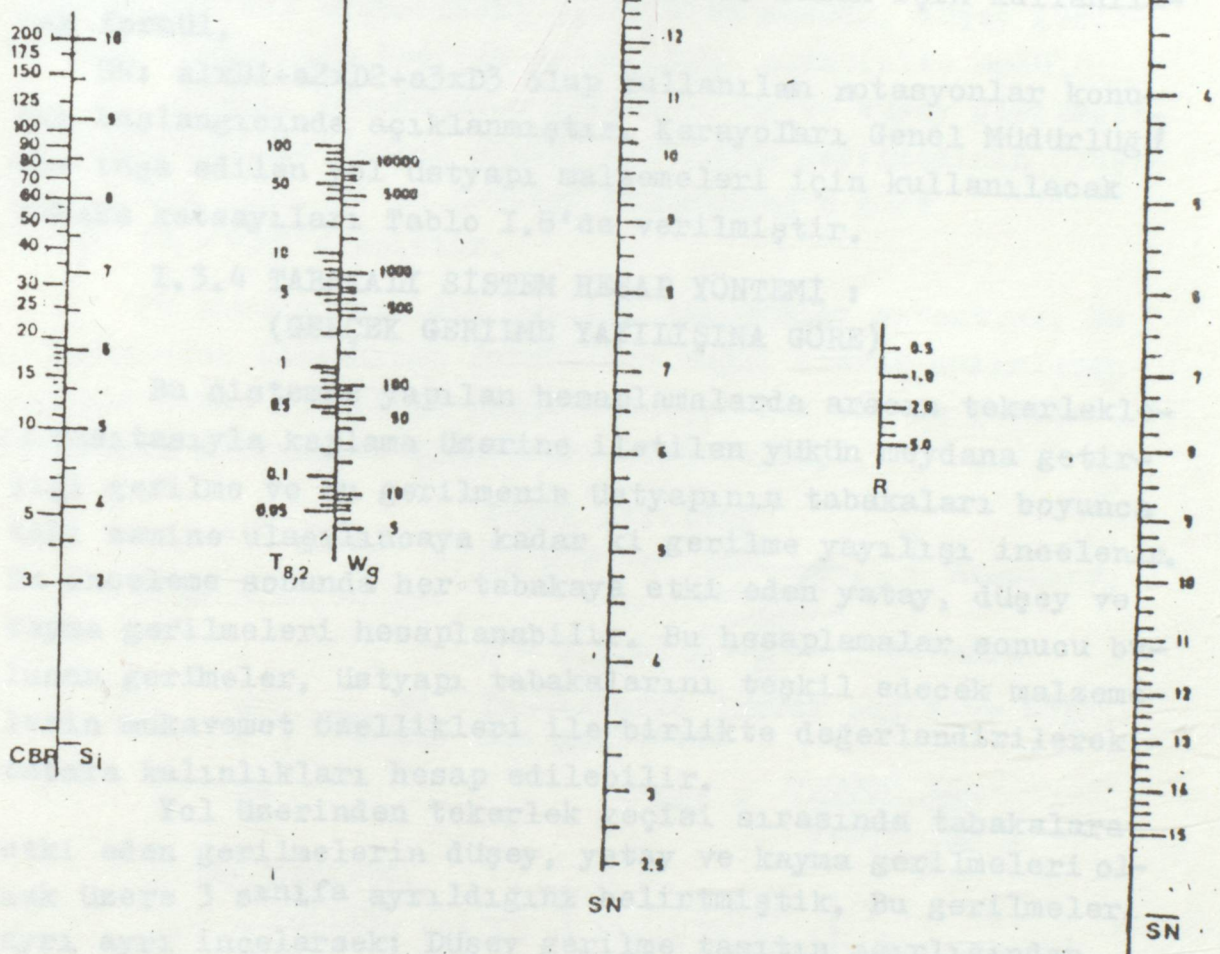
Tabaka Tipi	M.S (kg)	C B R %	β_7 kg/cm ²	a katsayısi
a) KAPLAMA TABAKASI :				
Asfalt Betonu Aşınma	750-900			0.42-0.44
Asfalt Betonu Binder	600-750			0.40-0.42
b) TEMEL TABAKASI :				
Penetrasyon mak. temel				
Asfaltlı makadam temel				
Bitümlü temel	400-500			0.32-0.34
Cimentolu temel			70	0.30
"			45-70	0.23
"			28-45	0.20
"			28	0.15
Zitilmiş çakıl veya kirmataş temel		90		0.14
Plent-Miks kirmataş temel		100		0.15
c) ALTTEMEL TABAKASI				
Bitümle Stabilize edilmiş zemin				0.20
Xlreç ile Stabilize edilmiş zemin			7	0.12
Cimento ile Stabilize edilmiş zemin			17.5	0.14
Kum-çakıl alttemel		30		0.11



Şekil I. 5. Seçenek Ustiyapılar İçin Projelendirme Abagi ($P_e = 2,0$)

I.3.3.5 (SN) ÜSTYAPILAR

Daha önce anlatılan esnek üstyapiların hesaplanan Pt, Si, R ve proje teknikleri ile esnek üstyapiların hesaplanan esneklik gelen (SN) üstyapı teknikleri arasında projelendirme abagi gibi farklılıklar bulunmaktadır. Üstyapı sayisi verilen esneklik değer standart dingilin 10 katı olmak üzere esneklik indeksini ve bolige faktörünü hesaplamak için kullanılmıştır.



Şekil I.5 Esnek Üstyapilar İçin Projelendirme Abagi ($P_t = 2.5$)

Üstapılardaki boyut değişikliklerin göstermesinden dolayı farklı sıcaklıklarla geçen aynı ağırlıkta dingiller farklılığı gösterilmeleri daha açık olacaktır. Soğuk havalarla daha sığırı dayanan kaplama tabakası, daha fazla taşına sahip

I.3.3.5 (SN) ÜSTYAPI SAYISI :

Daha önce anlatılan şekilde hesaplanan Pt, Si, R ve proje trafiği (EDY)değerlerine karşılık gelen (SN) üstyapı sayısı esnek üstyapılar için verilen projelendirme abağı yararlıyla bulunabilir. (Şekil.I.5,6) Üstyapı sayısı; verilen bir zemin taşıma değeri, toplam eşdeğer standart dingil yükü tekerrürü, son servis kabiliyeti indeksi ve bölge faktörü kombinezonu için gerekli üstyapı direncini ifade eden soyut bir sayıdır. Bu şekilde bulunan SN, üstyapı tabakalarının izafî mukavemet katsayıları ile bağlantılı olarak üst yapı kalınlıklarına dönüştürülecektir. Bunun için kullanılacak formül,

SN: $a_1xD_1+a_2xD_2+a_3xD_3$ olup kullanılan notasyonlar konunun başlangıcında açıklanmıştır. Karayolları Genel Müdürlüğü nce inşa edilen yol üstyapı malzemeleri için kullanılacak tabaka katsayıları Tablo I.8'de verilmiştir.

I.3.4 TABAKALI SİSTEM HESAP YÖNTEMİ :

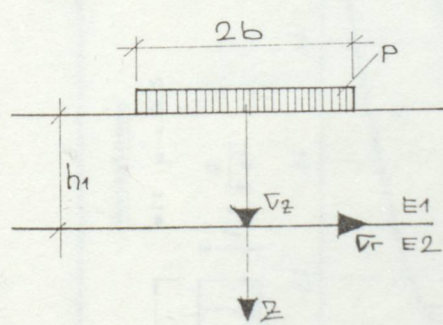
(GERÇEK GERİ İME YAYILIŞINA GÖRE)

Bu sistemde yapılan hesaplamalarda aracın tekerlekleri vasıtasyyla kaplama üzerine iletilen yükün meydana getirdiği gerilme ve bu gerilmenin üstyapının tabakaları boyunca tabi zemine ulaşılincaya kadar ki gerilme yayılışı incelenir. Bu inceleme sonunda her tabakaya etki eden yatay, düşey ve kayma gerilmeleri hesaplanabilir. Bu hesaplamalar sonucu bulunan gerilmeler, üstyapı tabakalarını teşkil edecek malzeme-lerin mukavemet özelliklerini ile birlikte değerlendirilerek tabaka kalınlıkları hesap edilebilir.

Yol üzerinden tekerlek geçisi sırasında tabakalara etki eden gerilmelerin düşey, yatay ve kayma gerilmeleri olmak üzere 3 sınıfa ayırdığını belirtmiştik. Bu gerilmeleri ayrı ayrı incelersek: Düşey gerilme taşıtin ağırlığından dolayı elusan gerilmedir. Esnek üstyapılarda, bitimli kaplama tabakasının elastisite modülünün hava sıcaklığına bağlı olarak büyük miktarda değişim göstermesinden dolayı farklı sıcaklıklarda geçen aynı ağırlıktaki dingiller farklı düşey gerilmeleri neden olmaktadır. Soğuk havalarda daha riyit davranıştan kaplama tabakası, daha fazla taşıma gücüne sahip

olacak ve alt tabakalara iletilen düşey gerilme azalacak, buna karşın sıcak havalarda alt tabakalara iletilen düşey gerilme büyüyecektir. Karayolu üstyapısına oluşan yatay gerilmelere ise taşıtin hızlanma ve frenleme anındaki tekerlek ile kaplama arasındaki sürtünme nedeniyle oluşan kuvvet neden olur. Yatay gerilmeler, düşey gerilmelerin aksine aksine sıcak havalarda kaplama tarafından büyük ölçüde sönülürken, soğuk havalarda rıjıt halde olan üstyapı tarafından alt tabakalara aktarılırlar. Bu nedenlerden dolayı tabakalı sistem hesap yöntemi ile üstyapı tabakalarının kalıkları hesaplanırken yatay gerilmelerin hesabında kaplama tabakasının kış aylarındaki elastisite modülü, düşey gerilmelerin hesabında ise yaz aylarındaki elastisite modülü dikkate alınır. Tabakalarda oluşan yatay ve düşey gerilmele rin değerlerinin farklı olması bir kayma gerilmesinin oluşumuna neden olur. Ki bu gerilme Boussinesg'e göre $\tau = \frac{1}{2} (\zeta_z - \zeta_r)$ 'e eşittir.

Bu konuda yapılmış çeşitli çalışmalar mevcuttur. Bu çalışmalarla kullanılan formüllere bağlı olarak hazırlanan abaklar hesap kolaylığı sağlamaktadır. Biz burada gerilme hesabında kullanılan formülleri gösterelim,



Düşey gerilme:

$$\zeta_z = P \left[1 - \frac{h^3}{(b^2 + h^2)^{3/2}} \right] \text{ Bassinesq}$$

$$h^x = 0,9 \cdot h_1 \sqrt{\frac{E_1}{E_2}} - \text{odemark}$$

Tabakaların tekrar sayısına bağlı max gerilmesi

$$\zeta_{\max} = \frac{0,0006 \text{ Edn}}{1+0,7 \log N}$$

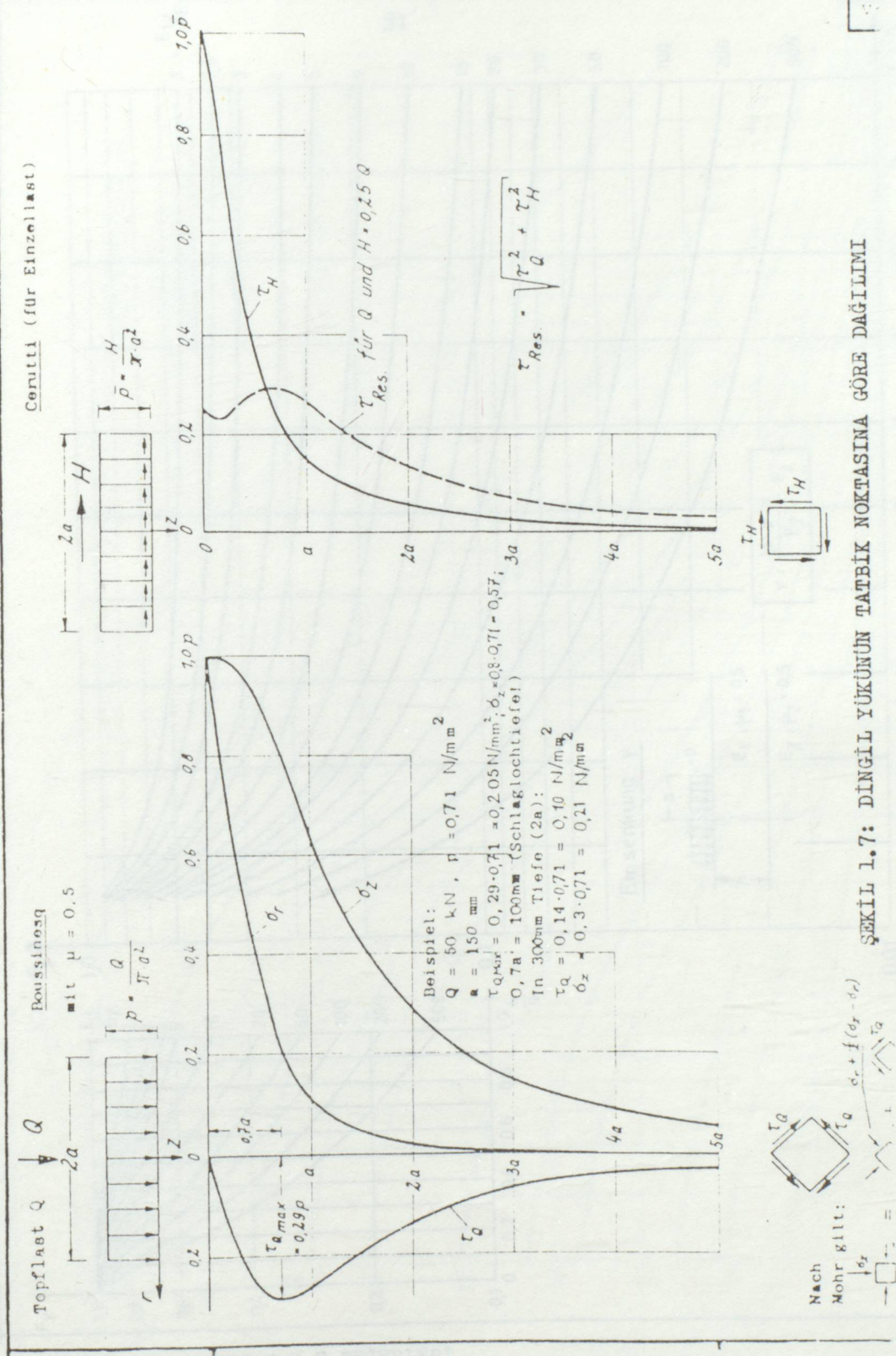
yatay gerilme,

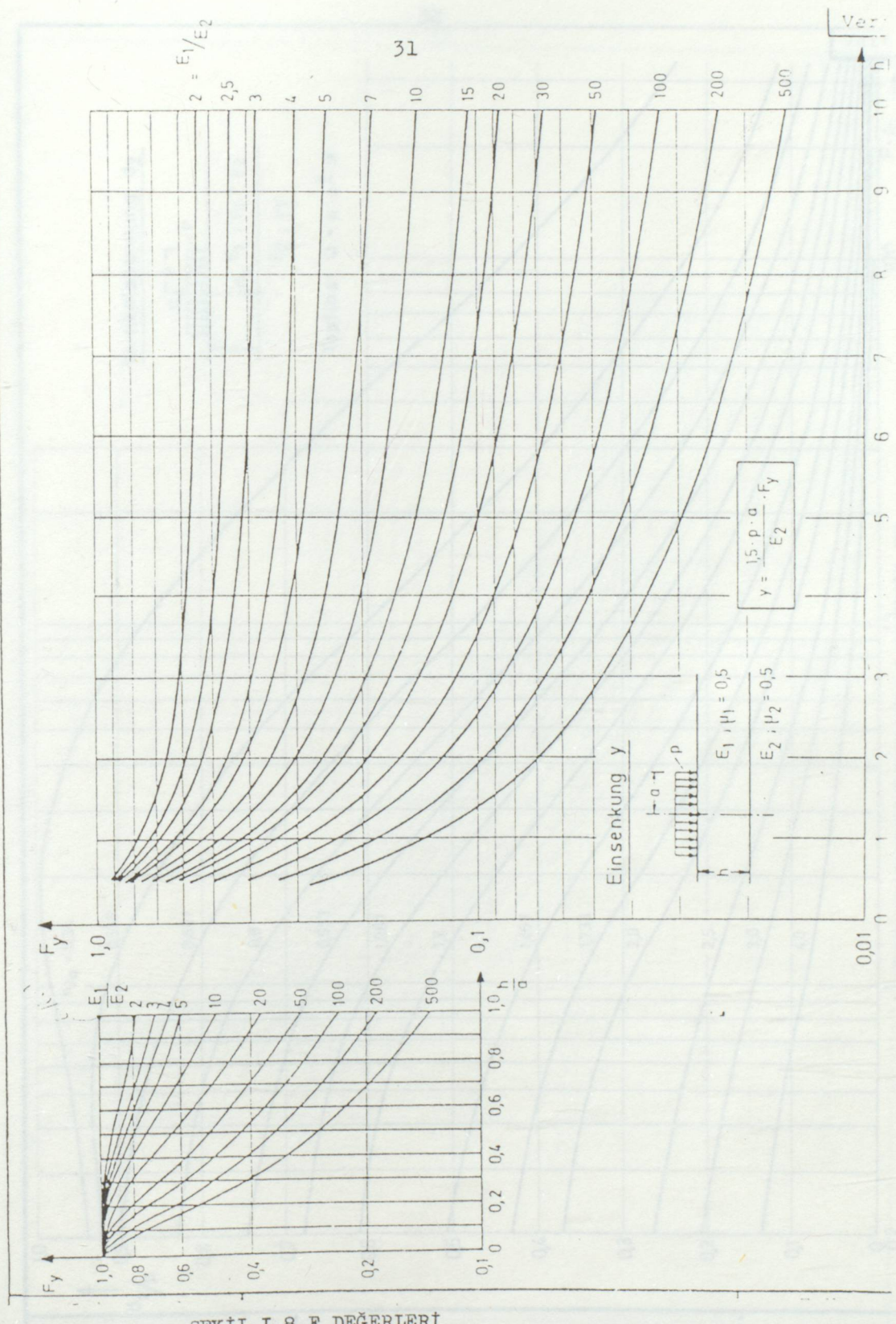
$$\zeta_r = \frac{0,2750}{h^2} (1+\gamma) \left[\log \left(\frac{E \cdot h_1^3}{K \cdot a^4} \right) \right] - \text{Wastergood}$$

$$b < 1,724 h_1 \quad a = \sqrt{1,6b^2 + h_1^2} - 0,675 h_1$$

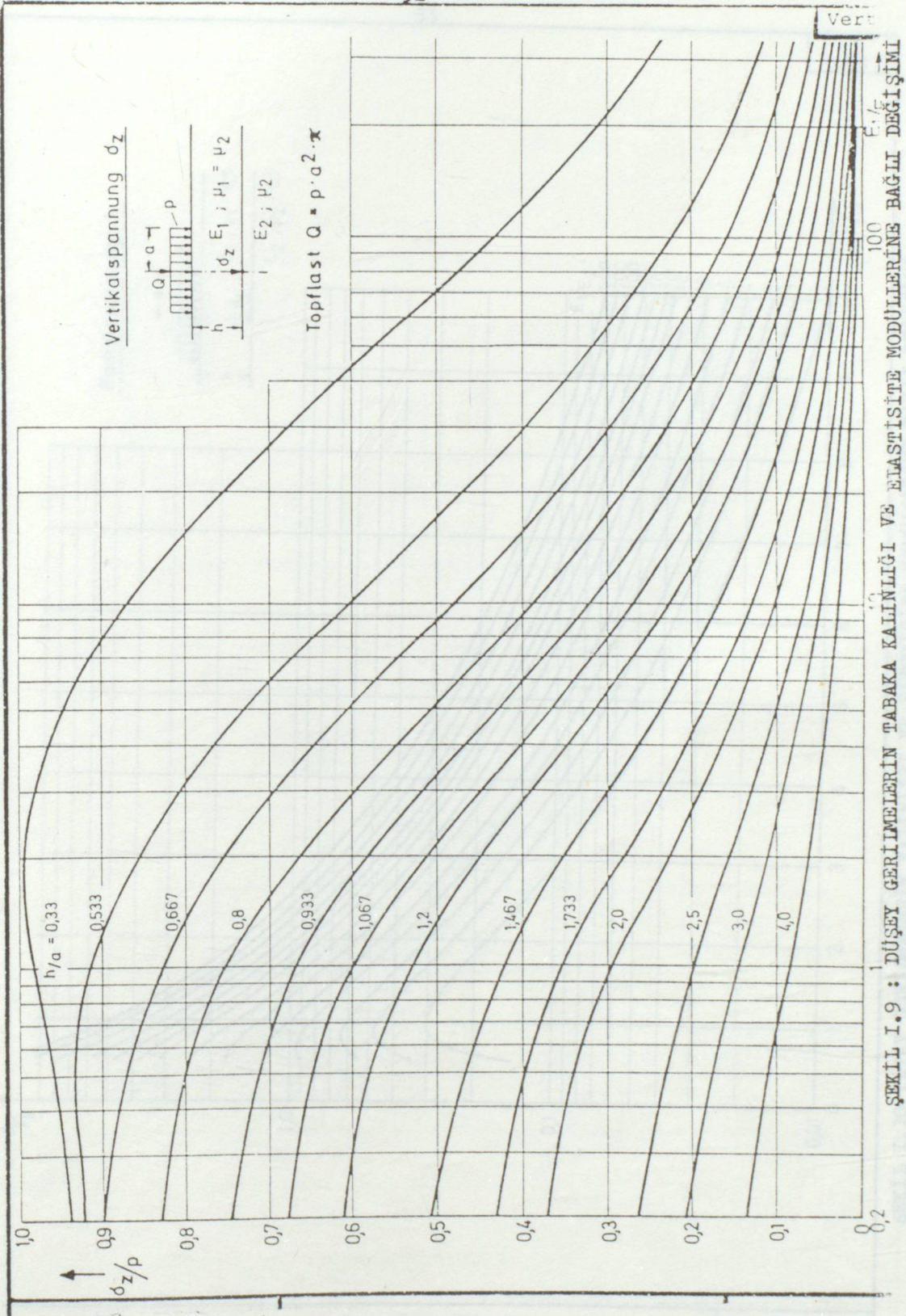
$$b > 1,724 h_1 \quad a = b$$

$$K = \frac{E_2}{h^x}, \quad h^x = 0,9 \cdot h_1 \sqrt[3]{\frac{E_1}{E_2}}$$

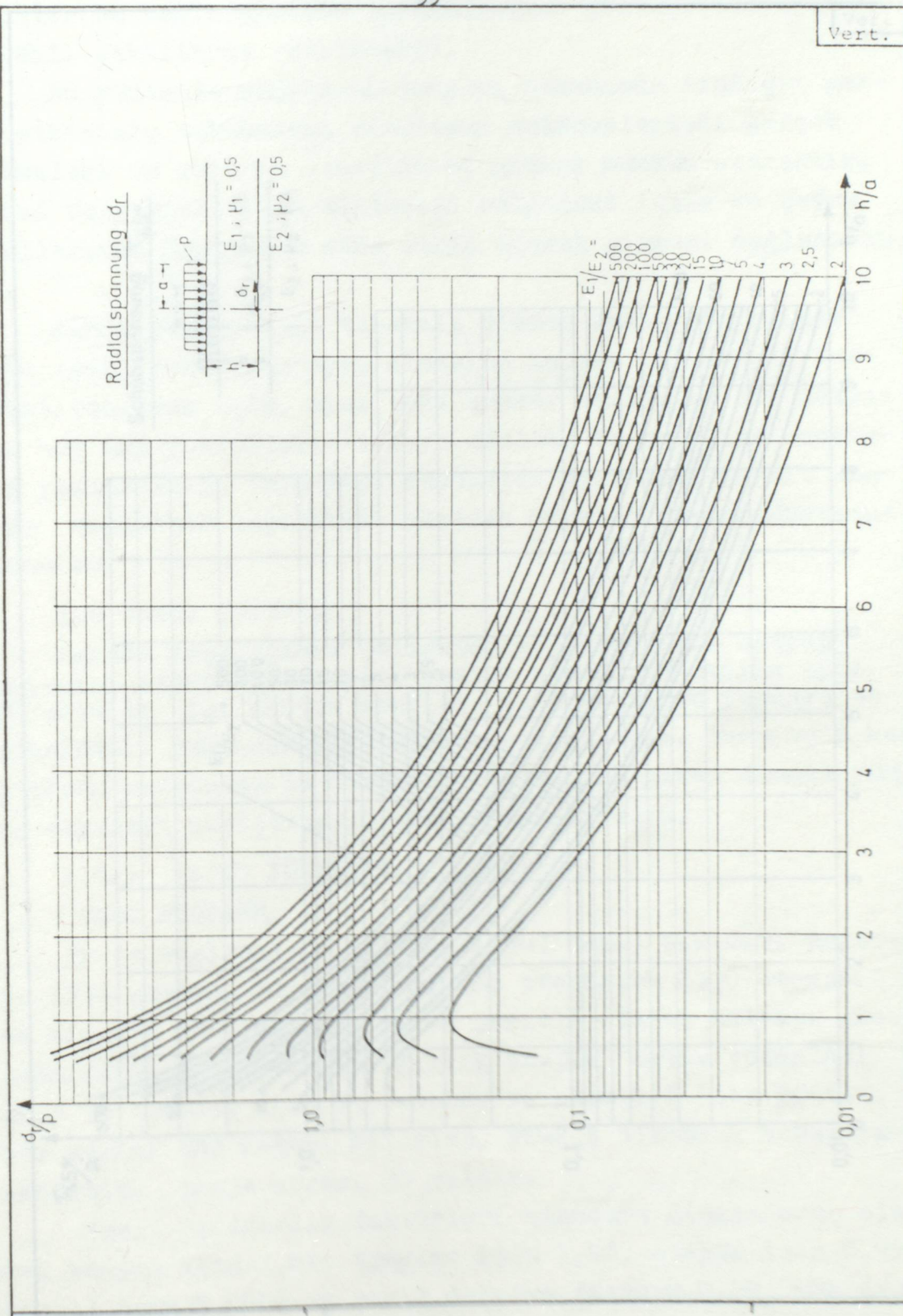




ŞEKİL I.8 F_y DEĞERLERİ



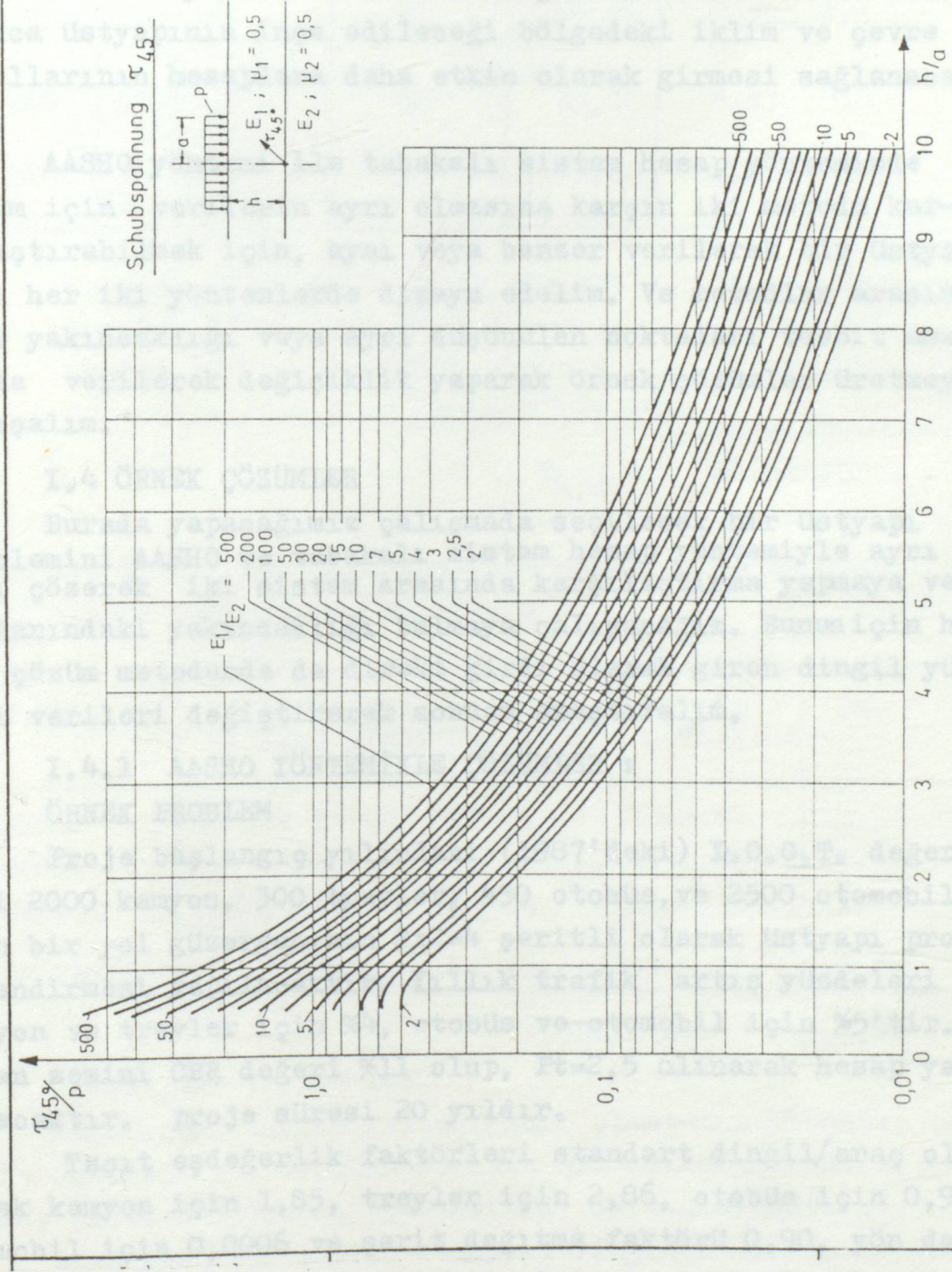
SEKİL I.9 : DÜŞEK GERİMLERİN TABAKA KALINIĞI VE ELASTISITE MODÜLLERİNE BAĞLI DEĞİŞİMİ



ŞEKLİ 1.10 YATAY GERTİMELERİN KALINLIĞI VE ELASTİSİTE MODÜLLERİNE BAĞLI DEĞİŞİMİ

Gerilme hesaplarında kütüphaneler ve elastisite modüllerinin sağlanması
lar ekli şekillerde verilmektedir.

Bu yöntemle yapılacak istasyon-hesabında trafikin gerçek etkisini, tabakaların struktural parametlerdeki gerçek
değerleri ve yarım limitlerin gözle mümkün olacak tari-
cılığının sağlanması sağlanacaktır.



SEKİL I.11. KAYMA GERİMLERİNİN TABAKA KALINLIĞI VE ELASTISITE MODÜLÜNE GÖRE DEĞİŞİMİ

Gerilme hesaplarında kullanılan abaklar ve elastisite modüllerine bağlı gerilme özelliklerini gösterir diyagramlar ekli şekillerde verilmiştir.

Bu yöntemle yapılacak üstyapı hesabında trafiğin gerçek etkisini, tabakaları oluşturan malzemelerdeki gerçek gerilmeleri ve yorulma limitlerini görmek mümkün olacaktır. Ayrıca üstyapının inşa edileceği bölgedeki iklim ve çevre koşullarının hesaplara daha etkin olarak girmesi sağlanacaktır.

AASHO yöntemi ile tabakalı sistem hesap yönteminde çözüm için verilerin ayrı olmasına karşın iki metodu karşılaştırabilmek için, aynı veya benzer verilerek bir üstyapıyı her iki yöntemlerde dizayn edelim. Ve metodlar arasındaki yakınsaklılığı veya ayrı düşünülen noktaları tesbit amaçyla verilerek değişiklik yaparak örnek çözümler üretmeye çalışalım.

I.4 ÖRNEK ÇÖZÜMLER

Burada yapacağımız çalışmada seçilecek bir üstyapı problemini AASHO ve tabakalı sistem hesap yöntemiyle ayrı ayrı çözerek iki sistem arasında karşılaştırma yapmaya ve aralarındaki yakınsaklığını bulmaya çalışacağız. Bunun için her iki çözüm metodunda da direkt girdi olarak giren dingil yükü gibi verileri değiştirerek sonucu araştıralım.

I.4.1 AASHO YÖNTEMİYLE ÇÖZÜMLER :

ÖRNEK PROBLEM

Proje başlangıç yılındaki (1987'deki) Y.O.G.T. değerleri 2000 kamyon, 300 treyler, 450 otobüs, ve 2500 otomobil olan bir yol güzergahının $2x2=4$ şeritli olarak üstyapı projelendirmesi yapılacaktır. Yıllık trafik artış yüzdeleri kamyon ve trolley için %4, otobüs ve otomobil için %5'tir. Taban zemini CBR değeri %11 olup, $P_t=2,5$ alınarak hesap yapılacaktır. proje süresi 20 yıldır.

Taşıt eşdeğerlik faktörleri standart dingil/araç olarak kamyon için 1,85, trolley için 2,86, otobüs için 0,95, otomobil için 0,0006 ve şerit dağıtma faktörü 0,90, yön dağıtma faktörü : 1/2 ise 20 yıllık toplam standart dingil sayısı:

TAŞIT GRUBU	İLK(YILLIK) TRAFİK	YILLIK ARTIŞ %	f	20 YILLIK TOPLAM TRAFİK
KAMYON	$2000 \times 365 = 730.000$	%4	29,78	21.739.400.-
TREYLER	$300 \times 365 = 109.500$	%4	29,78	3.260.910.-
OTOBÜS	$450 \times 365 = 164.250$	%5	33,06	5.430.105.-
OTOMOBİL	$2500 \times 365 = 912.500.-$	%5	33,06	30.167.250.-

Kamyon: $1/2 \times 0,90 \times 1,85 \times 21.739.400 = 18.098.050.$

Treyler: $1/2 \times 0,90 \times 2,86 \times 3.260.910 = 4.196.791.$

Otobüs : $1/2 \times 0,90 \times 0,95 \times 5.430.105. = 2.321.369.$

Otomobil: $1/2 \times 0,90 \times 0,0006 \times 30.167.250 = 8.145.$

$$T_{8,2} = 24.624.355.$$

Taban CBR değeri %11 olduğuna göre nomograftan SN değeri 12,75 olarak okunmuştur. Buna göre

TABAKA ADI	KULLANILACAK MALZEME CİNSİ	TABAKA KALINLIĞI (cm)	TABAKA KATSAYISI	SN
AŞINMA	ASFALT BETONU	7	a1=0,42	2,94
BİNDER	" "	12	a1=0,40	4,80
TEMEL	PLENT-MİKS KIRMATAŞ	20	a2=0,15	3,00
ALT TEMEL	KUM-ÇAKIL	20	a3=0,11	2,20
TOPLAM SN				12,94

Mevcut SN: 12,94 > 12,75

Yukarıdaki tabaka kalınlıkları plent-mix kirmataş temelin CBR değeri %100, Kum-çakılın %30 alınarak kontrol edilmiş, olup, her tabaka için gerekli SN sağlanmıştır.

Buna göre 8,2 tonluk standart dingilin 20 yol boyunca 24.624.355. tekrarı için üstyapı tabaka kalınlıkları:

Aşınma tabakası : 7 cm (Asfalt betonu)
 Binder " : 12 cm (" ")
 Temel " : 20 cm (Plent-Miks kırmataş)
 Alttemel " : 20 cm (Kum-çakıl) bulunmuştur.

— Aynı dingil tekrar sayısını 10 tonluk dingil yükü için çözersek :

$$24.624.325, 10 \text{ ton dingil}/20 \text{ yıl dersek}$$

$$T_{8,2} = 24.624.325 \times 2,39 = 58.852.136 \text{ standart dingil}/20 \text{ yıl}$$

Aynı verilerle bu tekrar sayısına göre nomograftan okunan SN değeri 14,25'tir. Buna göre

Aşınma tabakası : 10 cm.

Binder " : 12 cm.

Temel " : 20 cm.

Alttemel " : 21 cm. olacaktır.

— Dingil yükünü 11 tonluk alarak üstyapayı tayin edersek; 24.624.325 11 ton dingil/20 yıl ise

$$T_{8,2} = 24.624.325 \times 3,65 = 89.878.786 \text{ standart dingil}/20 \text{ yıl}$$

Aynı verilerle bu tekrar sayısına göre nomograftan okunan SN değeri 15,35'tir buna göre

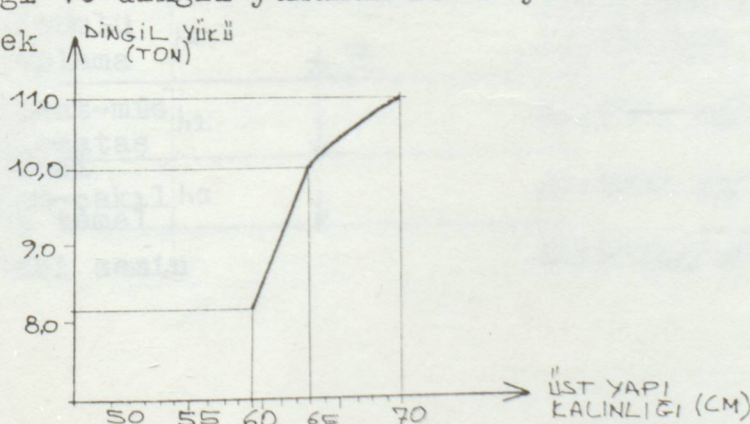
Aşınma tabakası : 10 cm.

Binder " : 14 cm,

Temel " : 20 cm.

Alttemel " : 25 cm. olacaktır.

Bulunan bu tabaka kalınlıklarını toplam üstyapı kalınlığı ve dingil yükünün fonksiyonu olarak grafik hale getirirsek



Bu grafik; toplam üstyapı kalınlığına bağlı çizildiğinden ve üstyapıyı teşkil eden tabakaların katsayıları farklı olup tabaka kalınlıklarındaki birim artışların toplam üstyapı kalınlığını farklı değerlere götürecekinden bize genel bilgi vermekten uzaktır. Ancak bir yaklaşım olarak çizilmiştir.

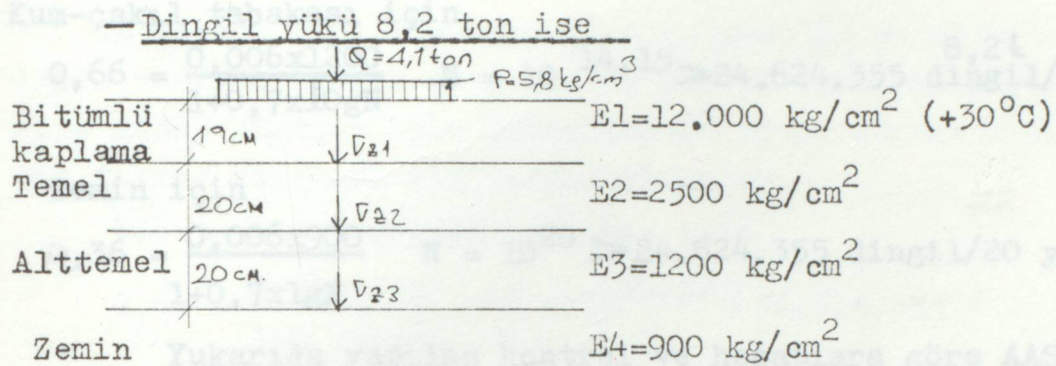
I.4.2 TABAKALI SİSTEM HESAP YÖNTEMİYLE ÇÖZÜMLER ÖRNEK PROBLEM :

Bir önceki bölümde AASHO yöntemiyle çözülen problemi şimdide tabakalı sistem hesap yöntemiyle çözümlemeye çalışalım. Buna göre veriler; proje başlangıç yılında Y.O.G.T değerleri 2000 kamyon, 300 trolley, 450 otobüs ve 2500 otomobildir. Yol $2x2=4$ şeritli olacaktır. Yıllık trafik artış yüzdesi kamyon ve trolley için $\%4$, otobüs ve otomobil için $\%5$ 'dir. Proje süresi 20 yıldır. Yol yapılacak bölgedeki mevsimlere göre en düşük ve en yüksek hava sıcaklıkları -10°C ve $+30^{\circ}\text{C}$ olarak kabul edilecektir. Üstyapı teşkilinde kaplama tabakasında beton asfalt, temel tabakasında plent-mix kırmataş, ve alttemel tabakasında kum-çakıl kullanılarak olacak. Tabakaları oluşturan malzemelerin elastisite modülleri asfalt betonu için -10°C da $E_1 = 130.000 \text{ kg/cm}^2$, $+30^{\circ}\text{C}$ de 12.000 kg/cm^2 , Plent-mix kırmataş tabakası $E_2 = 2500 \text{ kg/cm}^2$, kum-çakıl tabakası $E_3 = 1200 \text{ kg/cm}^2$, zemin için $E_4 = 900 \text{ kg/cm}^2$ olarak kabul edilmiştir.

Bu verilere göre 8,2,10 ve 11 tonluk dingil yükü etkisine göre ayrı ayrı çözüm yapılacaktır.

		\downarrow	$\times 30\text{cm}$	
Bitümlü kaplama	h_1	\downarrow		$E_1: 12.000 \text{ kg/cm}^2 (+30^{\circ}\text{C})$ $E_1: 130.000 \text{ kg/cm}^2 (-10^{\circ}\text{C})$
Plent-mix kırmataş temeli	h_2	\downarrow		$E_2: 2500 \text{ kg/cm}^2, \zeta_{Z2}=5,500 \text{ kg/cm}^2$
Kum-çakıl alt temel	h_3	\downarrow		$E_3: 1200 \text{ kg/cm}^2, \zeta_{Z3}=4,00 \text{ kg/cm}^2$
Tabi zemin				$E_4: 900 \text{ kg/cm}^2, \zeta_{Z4}=0,75 \text{ kg/cm}^2$

değerlerine göre AASHO yönteminde bulunan proje süreleri boyunca gecenek dursul sayıları



$$h^x = c \cdot h \cdot \sqrt[3]{\frac{E_1}{E_2}}$$

$$\zeta_{Z1} = f(h_1^x), h_1^x = 0,9 \times 19 \times \sqrt[3]{\frac{12000}{2500}} = 29 \text{ cm}$$

$$\zeta_{Z2} = f(h_1^x + h_2^x), h_2^x = 0,9 \times 20 \sqrt[3]{\frac{2500}{1200}} = 23 \text{ cm}$$

$$\zeta_{Z3} = f(h_1^x + h_2^x + h_3^x), h_3^x = 0,9 \times 20 \sqrt[3]{\frac{1200}{900}} = 20 \text{ cm}$$

$$\zeta_{Z} = P \left[1 - \frac{h^x_1}{(b^2 + h^x_1)^{3/2}} \right]$$

$$\zeta_{Z1} = 5,8 \left[1 - \frac{29^3}{(15^2 + 29^2)^{3/2}} \right] \rightarrow \zeta_{Z1} = 1,74 \text{ kg/cm}^2$$

$$h_2 = h_1^x + h_2^x = 29 - 23 = 52 \text{ cm.}$$

$$\zeta_{Z2} = 5,8 \left[1 - \frac{52^3}{(15^2 + 52^2)^{3/2}} \right] \rightarrow \zeta_{Z2} = 0,66 \text{ kg/cm}^2$$

$$h_3 = h_1^x + h_2^x + h_3^x = 29 - 23 - 20 = 72 \text{ cm.}$$

$$\zeta_{Z3} = 5,8 \left[1 - \frac{72^3}{(15^2 + 72^2)^{3/2}} \right] \rightarrow \zeta_{Z3} = 0,36 \text{ kg/cm}^2$$

Tabakalara ait bulunan bu gerilme değerlerini ve
 $\max = \frac{0,0006 \text{ Edn.}}{1+0,7 \log N}$ formülünü kullanarak maximum dingil te-

kerrür sayılarını bularak AASHO yönteminde hesaplanan eş-değer dingil yükü tekerrür sayıları ile karşılaştırarak tahlilik yapalım.

Plent-miks kırırmataş tabakası için :

$$1,74 = \frac{0,0006 \times 2500}{1+0,7 \log N} \quad N = 10^{10,88} > 24.624.355 \quad (\text{Verilen trafik değerlerine göre AASHO yönteminde bulunan proje süresi boyunca geçecek dingil sayısı})$$

Kum-çakıl tabakası için

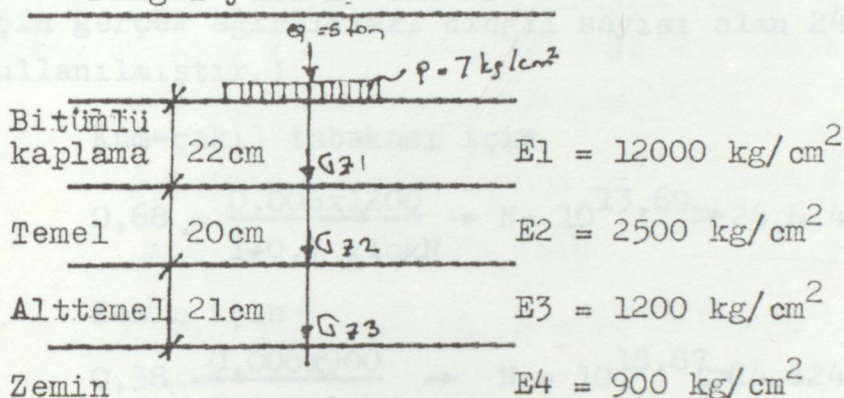
$$0,66 = \frac{0,006 \times 1200}{1+0,7 \times \lg N} \quad N = 10^{14 \cdot 15} > 24.624.355 \text{ dingil/20 yıl}^{8,2 t}$$

Zemin için

$$0,36 = \frac{0,006 \times 900}{1+0,7 \times \lg N} \quad N = 10^{20} > 24.624.355 \text{ dingil/20 yıl}$$

Yukarıda yapılan kontrol ve hesaplara göre AASHO yönteminde bulunan kalınlıklar gerçek gerilme yayılışına görede yeterlidir.

- Dingil yükü 10 ton ise



$$h_1^* = 0,9 \times 22 \sqrt[3]{\frac{12000}{2500}} = 33,4 \text{ cm.}$$

$$h_2^* = 0,9 \times 20 \sqrt[3]{\frac{2500}{1200}} = 23 \text{ cm}$$

$$h_3^* = 0,9 \times 21 \sqrt[3]{\frac{1200}{900}} = 20,8 \text{ cm}$$

$$G_{z1} = 7 \left[1 - \frac{33,4^3}{(15^2 + 33,4^2)^{3/2}} \right] \rightarrow G_{z1} = 1,68 \text{ kg/cm}^2$$

$$h_2 = h_1^* + h_2^* = 33,4 + 23 = 56,4 \text{ cm.}$$

$$G_{z2} = 7 \left[1 - \frac{56,4^3}{(15^2 + 56,4^2)^{3/2}} \right] \rightarrow G_{z2} = 0,68 \text{ kg/cm}^2$$

$$h_3 = h_1^* + h_2^* + h_3^* = 33,4 + 23 + 20,8 = 77,2 \text{ cm}$$

$$G_{z3} = 7 \left[1 - \frac{77,2^3}{(15^2 + 77,2^2)^{3/2}} \right] \rightarrow G_{z3} = 0,38 \text{ kg/cm}^2$$

10 tonluk dingil yüküne göre bulunan bu değerleri, problemde verilen trafik sayıları ve yıllık artış katsayımlara göre AASHO yöntemi için hesaplarının proje süresi içinde dingil tekrar sayıları ile karşılaştırıralım.

Plent-miks kırmataş tabakası için

$$1,68 = \frac{0,006x2500}{1+0,7x\log N} \rightarrow N = 10^{11,32} > 24.624.355^x$$

(^xAASHO yönteminde 10 ton'luk dingil yükü için hesaplanan 58.852.136 dingil sayısı 8,2 tonluk eşdeğer standart dingil sayısı olduğundan karşılaştırma ve kontrol yapmak için gerçek ağırlıktaki dingil sayısı olan 24.624.355 rakamı kullanılmıştır.)

Kum-çakıl tabakası için

$$0,68 = \frac{0,006x1200}{1+0,7 x \log N} \rightarrow N = 10^{13,69} > 24.624.355 \text{ din/20 yıl}$$

Zemin için

$$0,38 = \frac{0,006x900}{1+0,7 x \log N} \rightarrow N = 10^{18,87} > 24.624.355 \text{ din./20 yıl}$$

Dingil yükünün 10 ton olması haline göre AASHO yöntemiyle seçilen tabaka kalınlıkları gerçek gerilme yayılışına görere yeterlidir.

- Dingil yükü 11 ton ise

		$Q=5,5 \text{ ton}$	$P=7,8 \text{ kg/cm}^2$
Kaplama tabakası	24 cm	Z_1	$E_1 = 12000 \text{ kg/cm}^2$
Temel	20 cm	Z_2	$E_2 = 2500 \text{ kg/cm}^2$
Alt temel	25 cm	Z_3	$E_3 = 1200 \text{ kg/cm}^2$
Zemin			$E_4 = 900 \text{ kg/cm}^2$

$$h_1^x = 0,9x24 \times \sqrt[3]{\frac{12000}{2500}} = 36,4 \text{ cm}$$

$$h_2^x = 0,9x20 \times \sqrt[3]{\frac{2500}{1200}} = 23,0 \text{ cm}$$

$$h_3^x = 0,9x25 \times \sqrt[3]{\frac{1200}{900}} = 24,7 \text{ cm}$$

$$\zeta_{Z1} = 7,8 \left[1 - \frac{36,4^3}{(15^2+36,4^2)3/2} \right] \zeta_{Z1} = 1,64 \text{ kg/cm}^2$$

$$h_2 = h_1^* + h_2^* = 36,4 + 23 = 59,4 \text{ cm}$$

$$\zeta_{Z2} = 7,8 \left[1 - \frac{59,4^3}{(15^2+59,4^2)3/2} \right] \zeta_{Z2} = 0,69 \text{ kg/cm}^2$$

$$h_3 = h_1^* + h_2^* + h_3^* = 36,4 + 23 + 24,7 = 84,1 \text{ cm.}$$

$$\zeta_{Z3} = 7,8 \left[1 - \frac{84,1^3}{(15^2+84,1^2)3/2} \right] \zeta_{Z3} = 0,36 \text{ kg/cm}^2$$

Bulunan bu gerilme değerlerine bağlı olarak tabakalar için max. dingil tekerrür sayılarını bulup, trafik değerlerinden bulunan dingil tekerrür sayıları ile karşılaştıralım.

Plast-Miks kırmataş tabakası için

$$1,64 \frac{0,006 \times 2500}{1+0,7 \times \lg N} = N = 10^{11,63} > 24.624.355 \text{ Din./20 y}$$

Kum-çakıl tabakası için

$$0,69 \frac{0,006 \times 1200}{1+0,7 \times \lg N} = N = 10^{13,47} > 24.624.355 \text{ din/20 y}$$

Zemin için

$$0,36 \frac{0,006 \times 900}{1+0,7 \times \lg N} = N = 10^{20} > 24.624.355 \text{ din/20 y.}$$

seçilen tabaka kalınlıkları gerçek gerilme yayılışına göre yeterli olup, tabakalar emniyetle hizmet edecektir.

ZÖRLERİN ANALİZİ :

Genel olarak AASHTO yol testi denklemi:

$$P_t = P (\log \frac{W_t}{W_0} - \log f_t) \text{ tırır.}$$

Bu da,

P_t : t sesevi içinde servis kabiliyetindeki kaybın, $P_t = 1,5$ noktasında ölçülen potansiyel kayba oranının fonksiyonu (logaritmik). Bu P_t y servis kabiliyeti eğrisinin şeklini oluşturuyan dizeye ve bu değişkenlerin bir fonksiyonu. Struktur testi toplam dingil tekerrür sayısı f_t servis kabiliyeti indeksi 1,5 olduğunda beklenen dingil yüzeysinin sayısını gösteren dizesin ve yük değişkenlerinin bir fonksiyonu.
 P_t : t sesevi kabiliyeti

I-5-1- AASHO YÖNTEMİ İLE TABAKALI SİSTEM HESAP YÖNTEMİNDE KULLANILAN HESAP KRİTERLERİNİN İNCELENMESİ VE KARŞILAŞTIRIMASI.

Gerek AASHO yöntemi, gerekse tabakalı sisteme yapılan hesaplamalarda veri olarak kullanılan kriterleri inceleyebilmek ve karşılaştırmasını yapabilmek için önce esnek bir yol üst yapısına etkiyen faktörleri inceleyelim. Esnek bir yol üst yapısına veya projelendirilmesine etki eden faktörler aşağıdaki şekilde gruplandırılabilir.

- a. Trafik hacmi
- b. Dingil yükü
- c. Dingil yükü tekrar sayısı
- d. Taban zemininin taşıma gücü ve suya hassasiyeti
- e. Üstyaφıda tabakaların teşkilinde kullanılan malzemelerin mekanik özelliklerini
- f. Yoldan beklenen hizmetin kalitesi
- g. Yolun ekonomik hizmet ömrü
- h. Yolun yapıldığı yerin iklimi ve bölgesel koşulları

Sıralanan faktörlerin ayrı ayrı başlıklar halinde incelemesine geçmeden önce, AASHO yönteminde hesaplara etki eden faktörleri inceleyelim. Ve daha sonra esnek üst yapı hesabına etki eden faktörleri alt başlıklar halinde inceleyerek iki sistemin karşılaştırmasını yapalım.

I.5.2 AASHO YÖNTEMİ İLE ÜSTYAPI HESABINA ETKİ EDEN FAKTORLERİN ANALİZİ :

Genel olarak AASHO yol testi denklemi:

$$Gt = \beta (\log W_t - \log \rho) \text{ 'dır.}$$

Burada,

Gt : t zamanı içinde servis kabiliyetindeki kaybın, $P_t = 1,5$ noktasında ölçülen potansiyel kayba oranının fonksiyonu (logaritmik), β : P-W servis kabiliyeti eğrisinin şeklini etkileyen dizayn ve yük değişkenlerinin bir fonksiyonu

W_t : t zamanındaki toplam dingil tekerrür sayısı

ρ : Servis kabiliyeti indeksi 1,5 olduğunda beklenen dingil yükü geçişlerinin sayısını gösteren dizayn ve yük değişkenlerinin bir fonksiyonu

P_t : Son servis kabiliyeti

Yukarıdaki formülde adı geçen β ve f fonksiyonları esnek üstyapılar için aşağıdaki şekilde tanımlanmaktadır.

$$\beta = 0,40 + \frac{0,081(L_1+L_2)}{(SN+1)^{5,19}}^{3,23}$$

$$\log f = 5,93 + 9,36 \log(SN+1) - 4,79 \log(L_1+L_2) + 4,33 \log L_2$$

Buradaki notasyonlardan

L_1 : tek dingil yükü veya tandem dingilin birisini

L_2 : aks kodunu (l_1 : tek dingili, l_2 : tandem dingili)

SN : üstyapı sayısını , 0

göstermektedir. Formüldeki dingil yükleri yerine $L_1: 18$ kip $L_2: 1$ konulursa;

$$\beta = 0,40 + \frac{0,081 (18+1)}{(SN+1)^{5,19}}^{3,23}$$

$$\beta = 0,40 + \frac{1094}{(SN+1)^{5,19}} \text{ olur.}$$

$$\log f = 5,93 + 9,36 \log(SN+1) - 4,79 \log(18+1) + 4,33 \cdot \log 1$$

$$\log f = 9,36 \log(SN+1) - 0,20 \text{ olur.}$$

Konunun başlangıcında yazdığımız genel denklem ifadesinden W_t 'li terimi çekersek,

$$\log W_t = \log f + G_t / \beta$$

f ve β yerine yukarıdaki eşitliklerden karşılık değerlerini alırsak

$$\log W_{t18} = 9,36 \log(SN+1) - 0,20 + \frac{G_t}{0,40 + \frac{1094}{(SN+1)^{5,19}}}$$

burada $G_t = \log \left(\frac{4,2-P_t}{4,2-1,5} \right)$ olarak tanımlanmaktadır.

Son formüllerdeki W ve P_t değerleri yerine dizayn edilecek yolun değerleri konularak buradan SN hesap edilebilir.

Ancak buradan bulunacak sonuç, bize ancak AASHO yol deneyinin yapıldığı bölgedeki iklim ve bölgesel koşullardaki tanımlar. Bu nedenle bulunan sonuçların bölge faktörünü dikkate alarak düzeltmesi veya yol yapılacak bölgenin çevre koşullarına adapte edilmesi gereklidir.

Bu geçiş için şu formülden yararlanılmaktadır.

$$W_{t18} = N_{t18} \left(\frac{1}{R} \right)$$

$$\log W_{t18} = \log N_{t18} + \log \left(\frac{1}{R} \right)$$

W_{t18} = t süresince 18 kip (80 KN) dingil tekerrür sayısı

N_{t18} = toplam dingil tekerrür sayısı

R = Bölge faktörü

Çevre koşullarında dikkate alınarak düzeltilen formül son olarak zemin taşıma değerinin etkiside gözönüne alınarak en genel hale getirilir.

$$\log W_{t18} = \log N'_{t18} + f(S)$$

$$f(S) = K (S_i - S_o)$$

S_i = Zemin taşıma değeri

S_o = Yol testinin yapıldığı zemin taşıma değeri

N'_{t18} = Yol testinin yapıldığı durumda toplam dingil tekerrürü.

W_{t18} = Toplam dingil tekerrürü

K: Sabit

$$\text{Buna göre } : 10^{K(S_i - S_o)} = \frac{W_{t18}}{N'_{t18}}$$

$K = 0,372$ olup
formül $\log W_{t18} = 0,372 (S_i - 3,0) + \log N'_{t18}$
şeklini alır.

Buna göre

$$\log W_{t18} = 9,36 \log (SN+1) - 0,20 + \frac{Gt}{0,40 + \frac{1094}{(SN+1)^5,19}}$$

şeklinde yazdığımız AASHO yol deneyi denklemine bölge faktörü ve zemin ile ilgili terimleride ilave edersek en genel haliyle

$$\log W_{t18} = 9,36 \log (SN+1) - 0,20 + \frac{Gt}{0,40 + \frac{1094}{(SN+1)^5,19}} + \log \frac{1}{R}$$

$+ 0,372 (S_i - 3,0)$ denklemi elde edilir.

Bilindiği üzere; pratikte yukarıdaki denklemler yerine bu denklemlerden hareket edilerek $P_t=2,0$ ve $P_t=2,5$ için hazırlanan nomogramlar yardımıyla hesap yapılmaktadır. Ancak biz burada AASHO metodıyla esnek üstyapı hesabına etkiyen tüm faktörleri görebilmek ve karşılaştırma yapabilmek için incelemek gereğindiydik.

**SAY I.5.3 AASHO YÖNTEMİ İLE TABAKALI SİSTEM HESAP YÖNTEMİNİN
KARŞILAŞTIRIMASI:**

Dingil iki sistemin karşılaştırmasını, daha önce sırala - mis olduğumuz esnek bir yol üstyapısına etkiyen faktörlere göre alt başlıklar halinde yapalım.

I.5.3.1 TRAFİK HACMİ :

Trafik hacmi her iki sisteme de hesaplamalara direkt olarak girmektedir. AASHO yönteminde projelendirme anındaki mevcut trafik lodometre çalışması ile tesbit edilip, trafik artış katsayıları ile proje süresi sonundaki trafik hesaplanmakta ve ilk ve son trafik değerlerine bağlı olarak proje trafiği hesaplanmaktadır. Tabakalı sistem hesap yönteminde de analiz için kullanılacak dingil yükü ve dingil yükü tekrar sayısına geçebilmek için benzer şekilde bir trafik etüdü ve hesabı gereklidir.

Sonuç olarak, trafik hacmi her iki sisteme de benzer etkinlikte bir veri olarak dikkate alınmaktadır.

I.5.3.2 DİNGİL YÜKÜ :

Her iki yöntemde de hesap yapabilmek için projelerdirilecek yol güzergahındaki trafiği oluşturan araçların dingil yükü ve tiplerini belirlemek için bir çalışma yapılmalıdır. Bu çalışma sonucunda değişik ağırlıktaki dingil yüklerini, bir grupta toplamak gerekecektir. Bunun için dingil eşdeğerlik faktörleri kullanılmaktadır. AASHO yöntemiyle yapılan hesaplamalarda, mevcut nomogramlardan faydalananabilmek için dingil yüklerinin mutlaka 8,2 tonluk standart dingil cinsinden ifade edilmesi gereğine karşılık, tabakalı sistem hesap yönteminde dingil yükleri istenilen grupta sınıflandırılabilir. Örneğin tek tip araçların kullanılacağı bir özel hizmet yolunda (maden, mahalli yol v.s) gibi mevcut dingil yükü direkt olarak alınarak daha gerçekçi ve sağlıklı sonuçlara gidilebilir.

I.5.3.3 DİNGİL YÜKÜ TEKRAR SAYISI :

Dingil yükü tekrar sayısı her iki yöntemdede sonuçlar için birinci derecede etkendir. AASHO yönteminde hesap başlangıcında bulunan eşdeğer standart dingil yükü tekrar

sayısına bağlı sonuca gidilmesine karşın, tabakalı sistem hesap yönteminde gerilmelere bağlı bulunan maximum dingil tekerrür sayıları, proje dingil tekerrür sayısı ile karşılaştırılarak hesap yapılmaktadır.

I.5.3.4 TABAN ZEMİNİN TAŞIMA GÜCÜ VE SUYA HASSASİYETİ

Tabakalı sistem hesap yönteminde yol yapılacak zeminin taşıma gücü direkt olarak hesaplama lara girmektedir. Yani zemin gerçek durumuyla temsil edilmektedir. AASHO yönteminde ise zeminin taşıma gücü, zemin taşıma değeri diye tanımlanan bir katsayı ile hesaba girmektedir. Zemin taşıma değeri (S_i) ile zeminin CBR değeri arasında bir bağlantı yardımıyla S_i yine zeminin taşıma gücüne bağlı olarak tesbit edilebilmektedir.

I.5.3.5 ÜSTYAPIDA TABAKALARI TEŞKİL EDEN MALZEMELE- RİN MEKANİK ÖZELLİKLERİ

İki sistem arasındaki farklılıklarının en belirgin olduğu noktalardan birisi tabakaları teşkil eden malzemele rin mekanik özelliklerin sistemlerdeki temsilidir. AASHO yönteminde malzemeler, malzeme katsayısı adı altında malzeme cinsleri için önceden genellenmiş sabitlerle hesaba dahil olurken, tabakalı sistem hesap yönteminde tabakaları oluşturan malzemelerin elastisite modülleri direkt olarak hesaba katılmaktadır. Sınıflandırmada aynı gruba giren malzemelerin inşaat esnasında temin edildikleri çevreye göre değişiklik gösterebileceği ve bithassa sıcaklığa bağlı olarak mekanik özellikleri çok büyük değişiklikler gösteren bitümlü tabakanın davranışını düşünülürse, tabakaları katsayılar yerine gerçek mekanik özellikleri ile temsil etmenin daha doğru sonuçlara götürecegi kesindir.

I.5.3.6 YOLDAN BEKLENEN HİZMETİN KALİTESİ :

Yoldan beklenen hizmet kalitesi AASHO yönteminde servis kabiliyeti derecesi olarak isimlendirilmiş 0 ile 5 arasında değişen rakamlarla kaliteler temsil edilmiştir. 0 en düşük hizmet kabiliyetini 5 ise en yüksek hizmet kabiliyeti derecesini göstermektedir. Tabakalı sistem hesap yönteminde ise yoldan beklenen hizmet kalitesi hesaplarda direkt girdi olarak görülmemektedir.

I.5.3.7 YOLUN EKONOMİK HİZMET ÖMRÜ :

Yeni projelendirilecek bir yolun ekonomik hizmet ömrünün hesabında veya seçiminde iki sistem arasında farklılık yoktur. Çünkü yolun ekonomik hizmet ömrü, projelendirme yönteminin dışında olan çevre, inşaat, ülke ekonomisi v.s ile bağlantılıdır.

I.5.3.8 YOLUN YAPILDIĞI YERİN İKLİMİ VE BÖLGESEL KOŞULLAR

Yolun yapıldığı yerin iklimi ve bölgesel koşulları AASHO yönteminde bölge faktörü adı altında bir katsayı ile hesaba dahil edilmektedir. Bu faktörün değişimde ise birinci derecede etken olan bölgedeki yağış, ve don derinliğidir. Bu faktör çevre şartlarına bağlı olarak zeminin durumunu temsil etse bile, bölgesel koşullara bağlı olarak mekanik özelliklerini büyük farklılıklar gösteren bitümlü karışımının değişimini yeterince temsil etmekten uzaktır. Tabakalı sistem hesap yönteminde ise yolun yapılacak bölgein iklim ve koşullarına bağlı olarak tabakaları teşkil eden malzemelerin ve zeminin gerçeğe en yakın şekliyle temsil edilmesi mümkünür.

YOLUN İKLEMİ	BÖLGESİ	BÖLGESİ
YOLUN YAPILDIĞI YERİN İKLİMİ VE BÖLGESEL KOŞULLARI	Re. Bölge faktör Tabakalar Malzemeleri ve meydan kolları	Re. Bölge faktör Tabakalar Malzemeleri ve meydan kolları

TABLO I.9. AASHO YÖNTEMİ İLE TABAKALI SİSTEM HESAP
YÖNTEMİNDEKİ FAKTÖRLERİN KARŞILAŞTIRILMASI

PROJELENDİRMEYE ETKİ EDEN FAKTÖRLER	AASHO METODU	TABAKALI SİSTEM HESAP YÖNTEMİ
TRAFİK HACMİ	PROJE TRAFİĞİ	PROJE TRAFİĞİ
DİNGİL YÜKÜ	$w_{8,2}=8,2$ tonluk eşdeğer dingil yükü	w_i tonluk dingil yükü
DİNGİL YÜKÜ TEKRAR SAYISI	$T_{8,2}$	T_i
TABAN ZEMİNİNİN TAŞIMA GÜCÜ	S_i	G_z
TABAKALARI TEŞKİL EDEN MALZEMELERİN MEKANİK ÖZELLİKLERİ	a_i : Malzeme katsayıları	E_i : Elastisite modülleri
YOLDAN BEKLENEN HİZMET KALİTESİ	P_t = Servis kabiliyeti	-
YOLUN İKONOMİK HİZMET ÖMRÜ	BAĞIMSIZ	BAĞIMSIZ
YOLUN YAPILDığı YERİN İKLİMİ VE BÖLGESEL KOŞULLARI	R = Bölge fakt.	G, E = tabaka malzemeleri ve zeminin mekanik özellikler

BÖLÜM II

II- CÜRUFLU ASFALT BETONU

II.1 - YÜKSEK FIRIN CÜRUFUNUN TARİFİ

Yol inşaatında kullanılan cürüflar genellikle yüksek fırın cürüflarıdır. Demir filizinin endrüstride indirgenmesi sırasında artık madde olarak elde edilen cüruf kalsiyum, aliminyum ve magnezyumun çeşitli kompleks karışımıdır. Üretim sonucu kalan cüruf eğer değerlendirilmezse ayrıca birde depolama sorunu ve dolayısıyla depo maliyeti ortaya çıkmaktadır. Bu cürüfların değerlendirilmesi ülkemizde pek yaygın olmasada, yol yapımında, çimento üretiminde, izolasyon maddelerinde, demiryollarında ve zirai üretimde gubre olarak kullanılabilirler.

Bizim yaptığımız laboratuvar çalışmaları sırasında beton asfalt karışım için agrega olarak Ereğli Demir Çelik Fabrikalarının çeşitli cürüfları kullanılarak uygun bir karışım formülü aranmıştır. Cürüflar üzerinde Karayolları teknik şartnamesinde belirtilen agrega deneyleri uygulanmıştır. Cüruf cinslerine göre elde edilen sonuçlar konunun devamında verilmektedir. Ancak laboratuvar çalışmamız sırasındaki gözlemlerimize göre bilhassa şartname standartlarını en iyi sağlayan çelik cürufunun kırılması ve istenilen gronülometriye getirilmesinin oldukça zor olduğu görülmüştür. Ve bizim laboratuvar çalışmalarımız için gerekli malzemeyi temin edebilmek için Yıldız Üniversitesi ve Karayolları 17. Bölge Müdürlüğü Araştırma Başmühendisliği laboratuvarlarının yanısıra İ.T.Ü. yapı ve metalurji laboratuvarlarında kullanmamız gerekmıştır.

II.2 - YÜKSEK FIRIN CÜRUFU ÇEŞİTLERİ

Demir üretimi sırasında elde edilen cüruf genellikle 3 sınıfa ayırmaktadır.

- a) Havada soğutulmuş cüruf,
- b) Köpüklendirilmiş (Genleştirilmiş) cüruf,
- c) Granüler cüruf

Bu değişik cüruf çeşitleri üretimleri ve özellikle-ri yönünden ayrı ayrı inceleyelim.

II.2.1 - HAVADA SOĞUTULMUŞ CÜRUF

Yüksek fırından çıkan kor halindeki cüruf potalara dökülmek suretiyle fırından uzaklaştırılarak kendi halinde soğumaya bırakılır. Bu şekilde kendi halinde soğuyan cüruf büyük kütler halinde sertleşir. Daha küçük boyutlarda elde etmek için üzerine su serpilir ve istenilen granülometriye getirmek için konkasör tesislerinde kırılmalı ve eleme işlemi yapılmalıdır.

II.2.2 - KÖPÜKLENDİRİLMİŞ CÜRUF

Ergimiş cürufun özel bir çukura boşaltılması esnasında kontrollü şartlar altına üzerine su püskürtüllererek, oluşan ani buhar sonucu genleşmiş bir cüruf çeşidi oluşur. Oluşan bu cüruf hafif agregalar sınıfına girip, köpüklü cüruf olarak isimlendirilmektedir. Köpüklü cüruf çok boşluklu olduğundan buna aynı zamanda yüksek fırın bimside denilmektedir. Köpüklü cüruf yapı malzemesi olarak kullanıldığı gibi hafif beton yapımında kullanılmaktadır. Yol yapımında özel şartlar altında köpüklü cüruf kullanılmaktadır. Örneğin yolun turba üzerinden geçmesi gerekiyorsa ve turbanın sökülp atılmasıının teknik zorlukları varsa yoğunluğu turbadan daha az olan köpüklendirilmiş cüruf ile bir tabaka teşkil etmek suretiyle meydana gelecek oturmalar azaltılabilir. Köpüklü cüruf ile teşkil edilecek alt temel tabakası ağırlığı azaltılacağı gibi, antikapiler bir tabaka olarak çalışacaktır.

II.2.3 - GRANÜLER CÜRUF (YÜKSEK FIRIN KUMU)

Ergimiş cürufa yüksek basınçlı su püskürtüllererek, hızlı soğumadan dolayı kristalleşmeden önce camsı bir yapıda katılaşması sağlanır. Bu şekilde elde edilen cürufa granüler cüruf veya yüksek fırın kumu adı verilir. Granüler cüruf çimento üretiminde ve yol yapımında esnek üst yapının stabilizasyonunda başarı ile kullanılmaktadır. Hava da kendi halinde soğutulan cüruflar, ani su altında soğutulan yani

granüler cürufun granülometrisine getirilseler dahi aynı özellikleri göstermemektedir.

II.3 - KİMYASAL BAKIMDAN CÜRUF TİPLERİ

Yüksek fırın cürüfları kimyasal bakımdan asidik ve bazik olmak üzere iki kategoride incelenmektedir. Silikat ve seramik mamülleri tekniğinde önemli rolü olan bu değer $P = \%CaO / \%SiO_2$ olarak tanımlanmaktadır. $P < 1$ için asidik $P = 1$ için nötr, $P > 1$ bazik karakter ifade eder. Çimento imalinde kullanılacak cürufun mutlaka bazik karakterde olması gereklidir.

II.4 - YÜKSEK FIRIN CÜRUFUNUN ELDE EDİLMESİ

Yüksek fırın iç çeperi ateş tuğası ile kaplı yüksek ve dairesel çelik bir kovandır. Ergimiş ürünlerin toplandığı dip kısma ocak denir. Bu ocak dahili su sirkülasyonu sistemi ile çevrilidir. Fırının üst kısmında gazlarını kaçırmadan malzeme ile beslenmesini sağlayan komplike bir ünite ile bir tür hava kiliti denilebilecek başlıkla donanımlı bir baca vardır. Ergimiş demiri göndermek için bulunan tapa deliği veya demir oluğu ocağın çevresindedir. Sıvı demir cürufun altında kalır ve demir oluğunun üstündeki bir seviyede bulunan oluktan cüruf dışarı alınır. Yüksek fırın sürekli bir işledir. Günüün 24 saat boyunca yukarıdan ham maddeler verilir ve meydana gelen ürünler muntazam aralıklarla aşağıdan alınır. Maden oluğunun takriben 1 - 1,5 m. üzerinde bulunan cüruf oluğu döküm saatlerinden yaklaşık yarım saat önce açılarak maden üzerine toplanmış bulunan cüruf boşaltılır. Bu delikten cürufun hepsi alınmadığı için maden oluğu açıldıktan 20 dakika sonra maden oluğundan madenle birlikte cürufta akar, bunlar bir hazzede toplanarak yüzeyde toplanan cüruf üst kısımdaki bir kanal vasıtasiyla cüruf toplama havuzuna alınır.

Yüksek fırında kullanılan malzemelerin ve imal edilen ham demirin cinsine ve istenilen evsafa göre yüksek fırnlarda cüruf yapmak mümkündür. Bilhassa cüruf sanayii bir imalatta kullanılıyorsa ekonomik sınırlar içerisinde kalması

şartıyla istenilen nitelikte cüruf üretilebilir. Yüksek fırınlarda kullanılan malzemelerin evsafı ve fırın dizaynı, bazen istenilen cürufu elde etmeye müsait olabilir. Türkiye de bugün mevcut olan yüksek fırnlardan çıkan cüruf, bir sanayide kullanılmadığı için cüruf evsafı, fırınların çalışma durumuna ve eldeki mevcut malzemenin evsafına göre olmaktadır.

Ülkemizdeki demir çelik fabrikalarında elde edilen cürüflardan sadece granüler cürufun küçük bir bölümü çimento sanayiinde kullanılmaktadır. Ülkemizdeki son yillardaki cüruf üretimi aşağıdaki tabloda gösterilmiştir.

TABLO II.1 TÜRKİYEDEKİ D.Ç.FABRİKALARINDA CÜRUF ÜRETİMİ
TON/YIL

FABRİKALAR	REFERANS YILI	YÜKSEK FIRIN CÜRUFU ÜRETİMİ	GRANÜLE CÜRUF ÜRETİMİ	ÇELİK CÜRUFU ÜRETİMİ
İskenderun	1983-84	410.000	203.000	100.000
Karabük	1983-84	360.000	250.000	150.000
Ereğli	1984-85	515.000	20.000 (Satılan)	250.000

II.5 - YÜKSEK FIRIN CÜRUFUNUN FİZİKSEL ÖZELLİKLERİ

Yüksek fırın cürufu kırma ve eleme işlemlerine tabi tutularak kullanım amacına göre istenilen granülometriye getirildiği zaman fiziksel özelliklerini yönünden diğer aggrega türlerine nazaran bir takım avantajları vardır. Kil ve siltten arı olması, iyi bir sürtünme özelliğine sahip bulunması ve pürüzlü bir yüzeye sahip olması nedeniyle özellikle bitümle olan karışıntılarında iyi bir yüzey adezyonuna sahiptir. Bunun yanında ateşe mukavemeti yüksek olup pöroz bir malzeme olduğu için su adsorbsiyonu fazladır. Yol yapımında kullanılan aggregalarında bitümle birleşerek flexible ve stabil bir yapı oluşturduğu göz önüne alınırsa yüksek fırın cürufu-

nun bu amaçla kullanılabileceği görülür. Kendi halinde soğukan cıruf yollar fenni şartnamesinde istenen üst yapı tabakalarının gradasyon limitlerinin hiçbirisine uymaz, ancak kırmma ve eleme işlemleri yapılarak kullanılabilirler.

II.6 - TAŞIMA GÜCÜ

Kendi halinde soğumaya bırakılmış Karabük cırufu üzerinde yapılan laboratuvar deneylerinde alınan sonuçlara göre yaşı ve kuru C.B.R değerleri hep 80'in üzerinde olmuştur. Ki cıruf kırılıp elenerek granülometrisi uygun hale getirilirse bu değerin dahada artacağı ve kırmataş değerine kadar yükseleceği doğaldır.

II.7 - ERDEMİR CÜRUFU İLE YAPILAN LABORATUVAR ÇALIŞMALARI

II.7.1 - LABORATUVAR ÇALIŞMASININ ESASLARI

Yaptığımız laboratuvar çalışmalarının amacı; Türkiye'deki demir çelik fabrikalarında artık ürün olarak elde edilen ve hemen hemen hiç değerlendirilmeyen cırufun beton asfalt kaplamalarda kullanılıp kullanılmayacağının araştırılması idi. Bu amaçla Ereğli demir çelik fabrikalarından cıruf getirildi. Bu cıruf teknik şartnamedeki uygunluk deneylerine tabi tutularak, kırmma ve eleme işlemlerinden sonra uygun granülometriye getirilerek marshall stabilite deneyine tabi tutuldu. Bu çalışmada ayrıca karışım içerisindeki farklı cins cırufların yüzdeleri değiştirilerek uygun bir karışım formülü aranıldı.

Yapılan deneysel çalışma sırasında Yıldız Üniversitesi yapı malzemesi laboratuvarı, Karayolları 17. Bölge Müdürlüğü Araştırma Başmühendisliği bitüm laboratuvarı ile İ.T.Ü. yapı ve metalurji laboratuvarının imkanlarından istifade edildi.

II.7.2 - DENEYLERDE KULLANILAN CÜRUFUN KİMYASAL VE FİZİKSEL ÖZELLİKLERİ

Deneysel çalışmalarımızda kullanılan Erdemir yüksek fırın cırufunun kimyasal özelliklerini Tablo II.2'de verilmiştir.

TABLO II.2 ERDEMİR CÜRUFUNUN KİMYASAL BİLEŞİMİ

KİMYASAL BİLEŞİKLERİ	Y.F. CÜRUFU (%)	ÇELİK CÜRUFU (%)
Al ₂ O ₃	13,08	-
CaO	35,00	62,37
SiO ₂	34,49	14,16
TiO ₂	-	-
S	1,09	0,09
MnO	1,21	5,77
FeO	0,44	16,08
KgO	-	-
MgO	12,44	1,53

Cürufun kimyasal bileşenleri ve fiziksel özellikleri puzzolanik bir yapıya sahip olan portland çimentosu klinke-rine benzemekle beraber daha az CaO ihtiyacın var. Cürufun kimyasal özellikleri aşağıdaki karakteristik değerler ile tanımlanır.

- Bazisite : CaO/SiO₂ olarak tanımlanır. Bazik cürufda CaO/SiO₂ 1,3~1,5 arası olur. Asidik cürufda ise 1,10'dan küçüktür.

- Hidrolisite : Bu kriter cüruftaki diğer oksitlerinde dikkate alınmasıyla bazlık derecesinin daha genişletilmiş şeklidir. $F = (CaO + 0,5S + 0,5MgO + Al_2O_3) / (SiO_2 + MnO)$ olarak tanımlanır. Cürufun hidrolik özellikleri hidrolisitesine bağlı olarak şu şekilde tayin edilir. (Tablo II.3)

TABLO II.3 - CÜRUFUN HİDROLİK ÖZELLİĞİ

HİDROLİK DEĞER	ORTA	İYİ	ÇOK İYİ
F	1,5	1,5-1,9	1,9

Erdemir yüksek fırın cürufunun hidrolosite değeri ortalama olarak 1,53 olup, hidrolik özellikleri "İYİ" diye tanımlanabilir.

Deneysel çalışmalarımızda agreya olarak kullandığımız Erdemir cürufunun laboratuvara tesbit edilen fiziksel özellikleri ve şartname sınır değerleri Tablo II.4 ve Tablo II.5'te verilmiştir.

TABLO II.4 ERDEMİR CÜRUFUNUN FİZİKSEL ÖZELLİKLERİ

DENEY ADI	BULUNAN DEĞERLER %		ŞARTNAME SINIRLARI(%)
	Yük.Fır.Cürufu	Çelik Cürufu	
Na ₂ SO ₄	6	4,5	(12-25)
Los Angeles aşınma	32	14	(35-40)
Soyulma mukavemeti	30-35	90-95	50
Su Adsorbsiyonu	2	0,8	2,5

TABLO II.5 ERDEMİR CÜRUFUNUN STABİLİTE DEĞERLERİ

DENEY ADI	KARIŞIM CİNSİ	BULUNAN DEĞER	ŞART. SINIRI
CBR (%)	Yüksek fırın cürufu	120	90-100
Serbest basınc direnci(Kg/cm ²) (7 günlük silindir)	YFC- kireç YFC- Çimento	25,40~ 38,54	28
Marshall stabilitesi(kg)	Çelik cürufu Asfalt çimentosu	1000	600-750

**II.7.3 - MARSHALL STABİLİTE DENEYİ ÖNCESİ YAPILAN
MALZEME DENEYLERİ**

II.7.3.1 - ASFALT ÇİMENTOSU DENEYLERİ

Deneylede kullanacağımız asfalt çimentosu, İstanbul büyükşehir belediyesine ait Çağlayan'daki beton asfalt tesislerinden alındı. Aldığımız asfalt çimentosunun 75.100 penetrasyonlu AC olduğunu biliyorduk. Ancak yapacağımız stabilité değerlerinin güvenirliği açısından şartnamedeki değerlere uygunluğunu kontrol etmek için bağlayıcı üzerinde istenilen deneyle yapıldı. Bu deneyle karayollarının teknik yarınlarında ve ders notlarımızda verilen prosedürler çerçevesinde yapıldı. Ben burada deneylein yapılışının detayına girmeyip bulunan sonuçları vermeyi daha uygun buluyorum.

a. Penetrasyon deneyi :

Penetrasyon deneyi asfalt çimentolarının kıvamlılıklarını tayin etmekte kullanılan bir kriterdir. Bize asfaltın çeşitli sıcaklıktaki bağlayıcılığı konusunda fikir verir. Usulüne uygun şekilde yapılan penetrasyon deneyleleri sonucu kullandığımız asfalt çimentosunun penetrasyon değerleri aşağıdaki şekilde tesbit edilmiştir. Deneyle iki nüümune üzerinde yapılmış olup, her nüümunede 3 okuma yapılarak yapılan okumaların ortalaması penetrasyon değeri olarak alınmıştır. (Tablo II.6)

TABLO II.6 PENETRASYON DENEYİ SONUÇLARI

NÜMUNELER	I. BATMA	II. BATMA	III. BATMA
I. NÜMUNE	80	83	80
II. NÜMUNE	83	86	85

Ortalama penetrasyon değeri 83 olarak alınmıştır.

b. Yumuşama noktası deneyi :

Asfaltın ısı değişimelerine karşı direncini ölçmek bu deneyle yapılır. Asfalt çimentosu yüksek bir yumuşama

noktasına sahip ise ısı değişimeleri kıvamlılığı çok az etkiler. Yine iki nüümune üzerinde yapılan yumuşama noktası deneyi sonucu; yumuşama noktası 1. nüümunede 45°C , 2. nüümunede ise 46°C olarak tesbit edilmiş ve ortalaması alınarak $45,5^{\circ}\text{C}$ bulunmuştur.

c. Parlama noktası deneyi :

Parlama noktası, bir maddenin buharının alev temasında geçici olarak parladığı fakat yanmayı devam etmediği en düşük sıcaklık olarak tanımlanabilir. Bir asfaltın parlama noktası ısıtılma sırasındaki yanın tehlikesi önlemek için gereklidir. Cleveland açık kabı ile yapılan parlama noktası deneyi sonucu, I. nüümunede 236°C ve II. nüümunede 241°C olarak tesbit edilmiştir. Ortalama yanma noktası $238,5^{\circ}\text{C}$ almıştır.

d. Özgül ağırlık deneyi :

Yapılan özgül ağırlık deneyi sonucunda karışımında kullanacağımız asfalt çimentosunun özgül ağırlığı $1,036\text{gr/cm}^3$ olarak tesbit edilmiştir.

Asfalt çimentosu üzerinde yapılan deneylerin toplu sonuçları ve K.G.M Yollar Fenni Şartnamesinde (1986) verilen sınır değerler Tablo II.7'de gösterilmiştir.

TABLO II.7 KARIŞIMDA KULLANILACAK ASFALT ÇİMENTOSUNUN ÖZELLİKLERİ

SINIFLAR	T.S.NO	KULLANDIĞIMIZ AC'nin DENEV SONUCU	ŞARTNAME SINIRLARI	
			75-100	
			Min	Maks.
Penetrasyon (25°C 100gr, 5Sn)	T.S.118	83	75	100
Yumuşama noktası, $^{\circ}\text{C}$ (Halka ve bilya metodu)	T.S.120	45,5	44	49
Parlama noktası, $^{\circ}\text{C}$ (Cleveland açık kap)	T.S.123	238,5	230	-
Özgül ağırlık deneyi (gr/cm 3)		1,036	-	-

II.7.3.2 - AGREGA (CÜRUF) DENEYLERİ :

Yapacağımız karışımlarda agrega olarak kullanacağımız Erdemir cürufu üzerinde gerekli olan deneyler yapılmıştır. Özellikle karışım için uygun şartları sağlayan çelik cürufunun kırılması ve istenilen granülometriye getirilmesinde birtakım güçlüklerle karşılaşılmıştır. Malzeme çok sert olduğundan laboratuvar tipi küçük çeneli kırıcıılarda istenilen boyutlarda malzeme elde etmek zor olmuştur.

Agregalar üzerinde aşağıdaki deneyler usulüne uygun olarak yapılmıştır. Ve burada sadece sonuçları verilmiştir.

a) Birim Hacim Ağırlıkları :

Kaba ve ince agrega için cüruf cinslerine göre ayrı ayrı yapılan birim hacim ağırlığı deneyinin sonucunda aşağıdaki değerler bulunmuştur.

- Çelik cürufu için : $1,795 \text{ gr/cm}^3$
- Y.Fırın cürufu için: $1,115 \text{ "}$
- Granüle cüruf : $0,916 \text{ "}$

b) Özgül Ağırlık Deneyi :

Deneyin amacı, bitümlü karışımın teorik özgül ağırlığının karışımdaki boşluk yüzdesinin ve karışımdaki asfaltla dolu boşluk yüzdesinin hesaplanması ve aggreganın hacim-ağırlık ilişkisinin teyin edilmesidir. Bu deney değişik cins cürufların farklı yüzdelerle temsil edildiği 6 grup agrega için yapılmış olup, sonuçlar aşağıdadır.

- 1. Grup : %83 çelik cüruf +%10Gra.Cür.+%7filler

$$D_1 = 3,567 \text{ gr/cm}^3, D_2 = 3,553 \text{ gr/cm}^3$$

$$D_{\text{ort}} = 3,560 \text{ gr/cm}^3$$

- 2. Grup : %78 çelik cüruf +%15Gra.cür +%7 Filler

$$D_1 = 3,404 \text{ gr/cm}^3, D_2 = 3,424 \text{ gr/cm}^3$$

$$D_{\text{ort}} = 3,412 \text{ gr/cm}^3$$

- 3. Grup : %73 çelik cür +%20 Gra.cür +%7 Filler

$$D_1 = 3,295 \text{ gr/cm}^3, D_2 = 3,284 \text{ gr/cm}^3$$

$$D_{\text{ort}} = 3,289 \text{ gr/cm}^3$$

- 4. Grup : %100 çelik cürfü

$$D_1 = 3,896 \text{ gr/cm}^3, D_2 = 3,868 \text{ gr/cm}^3$$

$$D_{\text{ort}} = 3,882 \text{ gr/cm}^3$$

- 5. Grup : %88 çelik cür X %5 Gra.Cür +%7 Filler

$$D_1 = 3,655 \text{ gr/cm}^3, D_2 = 3,669 \text{ gr/cm}^3$$

$$D_{\text{ort}} = 3,662 \text{ gr/cm}^3$$

- 6. Grup : %83 çelik cür.+%10 Gra.cür +%7 portland çimento

$$D_{\text{ort}} = 3,576 \text{ gr/cm}^3$$

- 7. Grup :

No200'den geçen granüle cür : 1,5 gr

Portland çimentosu : 44 gr

$$\underline{45,5 \text{ gr.}}$$

$$D_{\text{ort}} = 3,02 \text{ gr/cm}^3$$

c) Kaba Agreganın Su Adsorbsiyonu :

Çelik cürufu için yapılan su adsorbsiyonu deneyinde, su adsorbsiyonunun %4,71 olduğu tesbit edilmiştir.

d) İnce Agreganın Su Adsorbsiyonu :

Çelik cürufu ve Yüksek fırın cürufu için ayrı ayrı yapılan deneyler sonunda aşağıdaki sonuçlar bulunmuştur.

- Çelik cürufu için %1,7

- Yüksek fırın cürufu için: %6,12

e) Nicholson Metoduyla Soyulma Deneyi :

Yapılan Nicholson soyulma deneyi sonucunda çelik cürufu için %90-95, yüksek fırın cürufu %30-35 olarak bulunmuştur. Yüksek fırın cürufunun soyulma mukavemetinin düşük olmasına rağmen çelik cürufunun çok iyi bir soyulma mukavetine sahip olduğu görülmektedir.

f) Yassılık İndeksi Tayini :

Çelik cürufu için yapılan çalışma sonunda yassılık indeksi %11,53 olarak tayin edilmiştir.

g) Elek analizleri :

Graniile cüruf için elek analizi yapılarak granülo-metri eğrisi çizilmiştir. Daha sonra çelik cürufu elenip sınıflara ayrılarak Karayolları Fenni Şartnamesinde beton asfalt karışımalar için verilen gradasyon limitlerinde C tipi esas alınarak karışımıma esas olan gradasyona getirilmiştir. (Tablo II.8)

Graniile cüruf için ve karışımıma giren agrega sınıfları için çizilen granülometri eğrileri (Grafik II.1 ve 2. dedir)

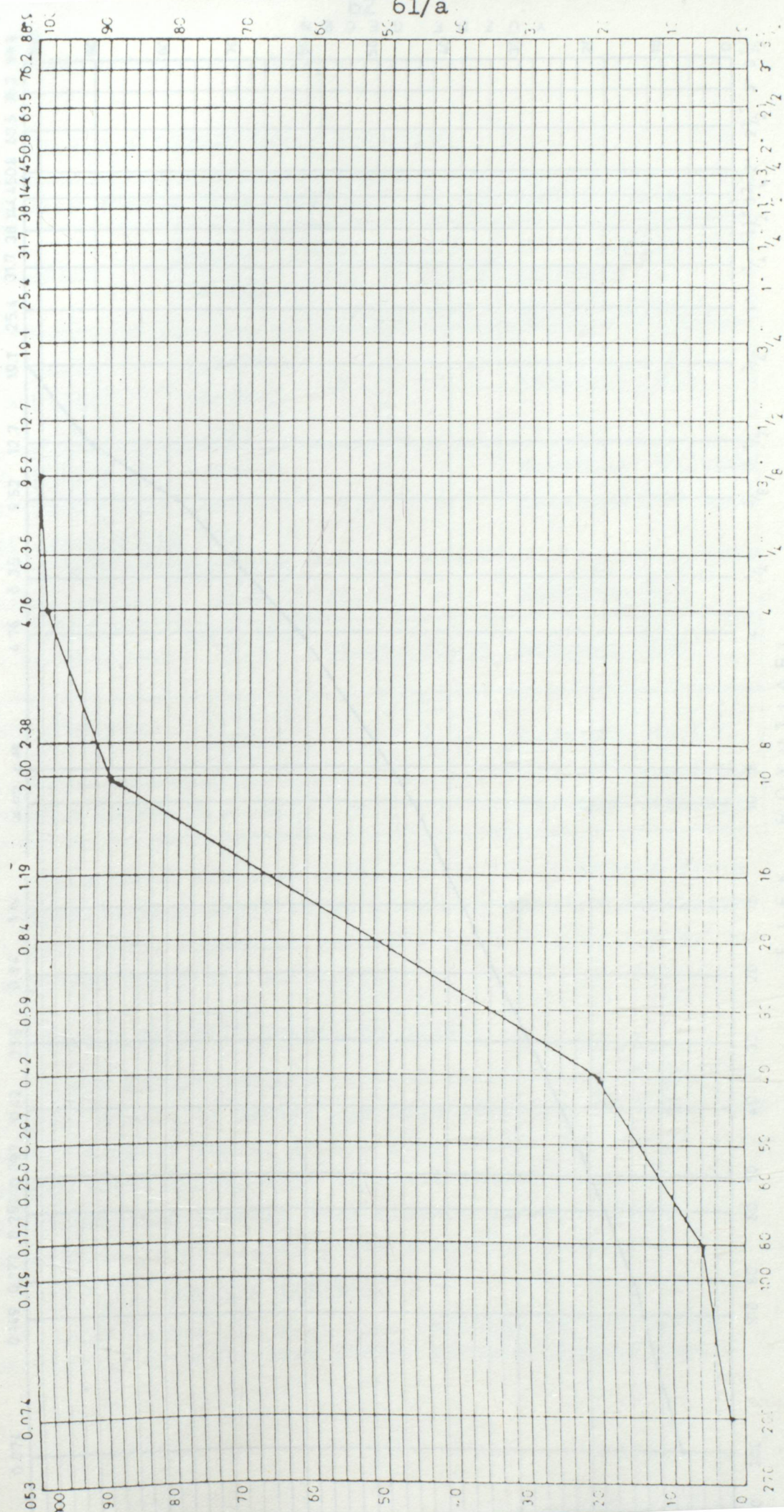
TABLO II.8 BETON ASFALT İÇİN "C tipi" GRADASYON

ELEK BOYUTU	% GECEN	AĞIRLIK (GR)
3/4"	100	-
1/2"	91	117
3/8"	79	156
4 No	61	234
10	45	208
40	24	273
80	14	130
200	7	91
Filler	-	91
TOPLAM AGREGA MİKTAR		1300 Gr.

KURAYCILAR GENEL MUDURLUGU
17. BOLGE...MUGURLUGU

7580133 - ELEK ANALİZİ GRAFİĞİ - GRANÜLE CÜRUF

ELEKTRİK AÇIKLIĞI (mm.)
(Grafik II-1)

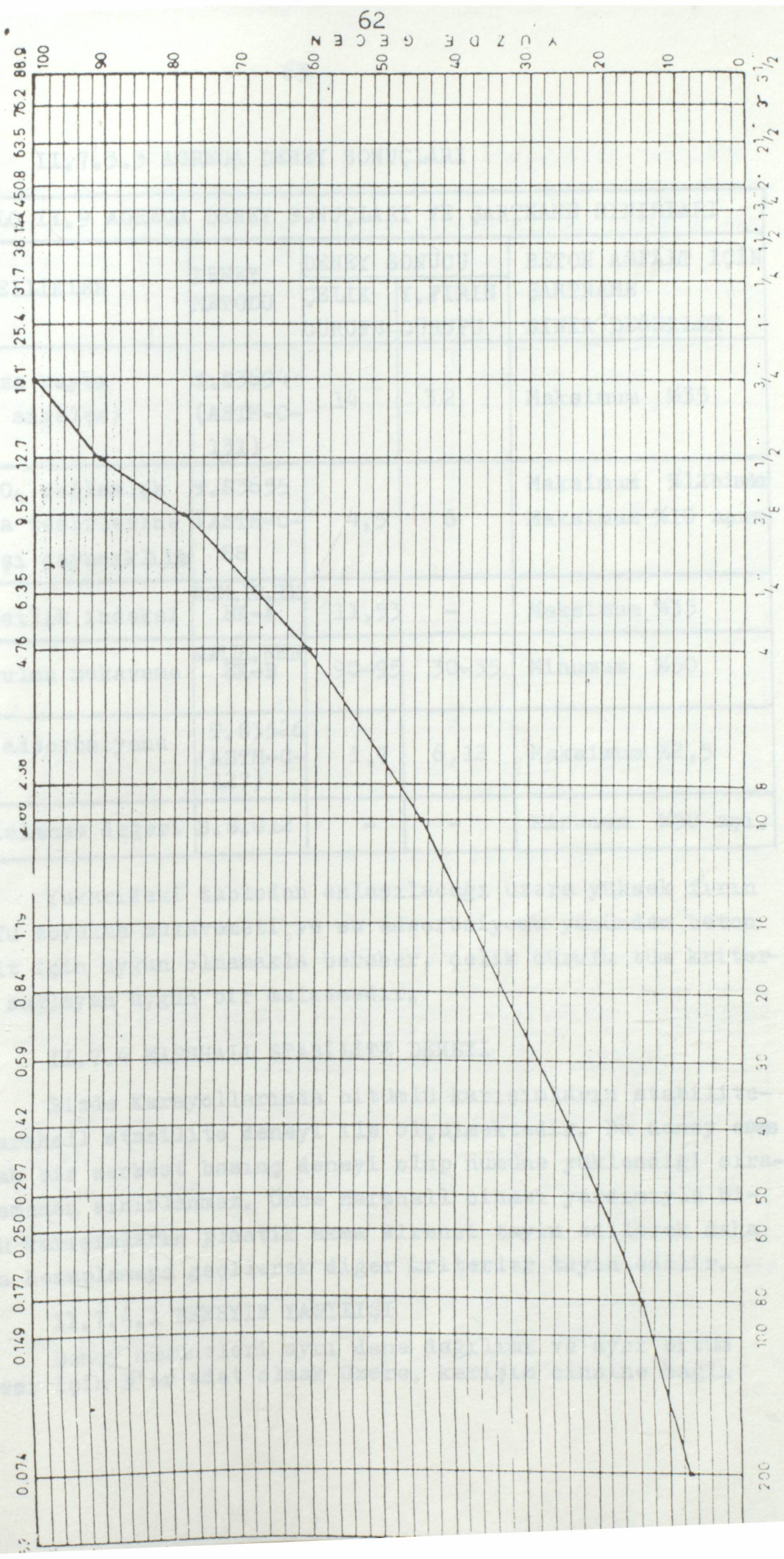


Bölge ve Şehirle

Tarafından No.....

Lazımlığına Ni.....

7580133 - ELEK ANALİZİ GRAFİĞİ - KARŞITMA ESAS OLAN
ELEK AÇIKLIĞI (mm.)
(Grafik II-2)



Lötfəz təsvər №

Numune №

Bölge № Şəhəri

Əsas №

II.7.3.3 AGREGA DENEY SONUÇLARI

ÖZELLİKLER TABLO II.9	DENEY METODU	DENEY SONUCU		BETON ASFALT İÇİN ŞARTNAME SINIR DEĞERLERİ
		ÇELİK CÜRUFU	Y.FIRIN CÜRUFU	
Aşınma kaybı (los angeles)	T.S3694 (ASTM-C-131)	14	3.2	Maksimum %35
Na ₂ SO ₄ sağlamlık (Hava tesirlerine karşı dayanıklılık)	T.S3655 (ASTM-C-88)	4,5	6	Maksimum %12 binder Maksimum %10 aşımı
Yassılık indeksi	KGM IR. REH EK-A	11,53	-	Maksimum %35
Soyulma mukaveme ti	KGM IR. REH EK-B	90-95	30-35	Minumum %50
Su adsorbsiyonu	T.S3526 (ASTM-C-127)	1,7	6,12	Maksimum %2,5
Cılalanma değeri	B.S.812	-	-	Minumum %50 aşırı

Yukarıdaki tablodan anlaşılabileceği üzere yüksek fırın cürufu soyulma mukavemeti ve su adsorbsiyonu yönünden beton asfalt için uygun olmamakla beraber, çelik cürufu tüm kriterleri sağlayan uygun bir malzemedir.

II.7.4 MARSHALL STABİLİTE DENEYİ

Bizde Karayollarında bitümlü karışımının stabilitesi Marshall stabilité deneyi ile ölçülmektedir. Bu deney esas olarak bir serbest basınç deneyi olup numune yükleniği sırasında tamamen sınırlanmaz. Önce Marshall cihazı yardımıyla bitümlü karışımının plastik akma direnci tayin edilerek daha sonra hesaplamaya geçilerek diğer kriterler tayin edilir.

II.7.4.1 DENEYİN YAPILISI

Deneysel nüümeleri ayrı dane dağılımı ve ayrı bitüm yüzdesi için 3'er adet olmak üzere, karışım cinsine bağlı

olarak tesbit edilen bitüm miktarından başlıyarak ve bitüm miktarını %.5 oranında artırarak 5 veya 6 ayrı bitüm yüzdesi için hazırlanır. Bizim deneylerimizde alınan bitüm yüzde ve miktarları tablo II.10'da verilmiştir.

TABLO II.10 MARSHALL DENEYİNDEKİ BITÜM % VE MİKTARLARI

BİTÜM (%) si	BİTÜM MİKTARI (Gr)	NUMÜNE ADEDİ
4	52	3
4,5	58,5	3
5	65	3
5,5	71,5	3
6	78	3
6,5	84,5	3

Bir numüne için gerekli agrega gradasyonuna uygun şekilde tartılarak etüvde ısıtılır. Bitümde ayrı bir kapta karıştırma sıcaklığına kadar ısıtılarak hazırlanacak numünenin bitüm yüzdesindeki miktar kadar sıcak agreganın üzerine ilaç edilerek karıştırıcı makina vasıtasyyla karıştırılır. Karayolları Fenni Şartnamesinde beton asfalt için verilen karıştırma sıcaklıklarını Tablo II.11'de verilmiştir.

TABLO II.11 BETON ASFALT MALZEMELERİ KARIŞTIRMA SICAKLIKLARI

	ASFALT ÇİMENTOSU		AGREGA	
	Min	Maks.	Min.	Maks.
75-100 pen.AC. ile hazırlanan karışım- lar için	140°C	155°C	145°C	160°C

Bu sıcaklık limitlerinde karıştırılan malzeme numüne kalıplarının içeresine boşaltılarak sıkıştırma yapılın. Sıkıştırma sonunda 10 cm. çapında ve 6,35 cm. yüksekliğinde briketler elde edilir. Sıkıştırma esnasında dikkat edilecek

hususlar şunlardır. Numune kalıpları iyice temizlenmiş ve sıkıştırma sonucu numünenin zedelenmeden çıkışını sağlamak için iç yüzeyleri yağlanmış olmalıdır. Sıkıştırma sırasında ısı kaybını önlemek için sıkıştırma kalıbı ve tokmağı 90°C ile 150°C arasında ısıtılmış olmalıdır. Önceden kalıp çapına uygun olarak kesilmiş bir filtre kağıdı veya benzeri kalıp tabanına konmalı ve malzemeyi kaliba boşaltırken segregasyon olmamasına özen gösterilmelidir. Kaliba boşaltılan malzemenin yaklaşık 15 defa yan yüzeyleri 10 defada ortası sıçlanerek 457 mm'den serbest olarak düşen tokmak düzeni $50 \sim 75$ darbe her iki yüzüne ayrı ayrı uygulanarak sıkıştırma yapılır. Bu sıkıştırma sonucu oluşan briket kalıptan çıkarılarak numaralanır ve 24 saat normal oda sıcaklığında bekletilir. Bu bekleme süresi sonunda numüneler kırma öncesi havada ve 25°C suda tartılıp ve yükseklikleri ölçüülerek kaydedilir. Yüksekliği 6,35 cm'den farklı olan briketlerde daha sonra düzeltme faktörleri kullanılarak işlem yapılır. Kırma öncesi numüneler sıcaklığı $60^{\circ}\text{C} \pm 1^{\circ}\text{C}$ olan bir su banyosunda 30-40 dakika bekletilir. Deney sonucunun hassasiyeti yönünden su banyosundan alınan briket 30 sn. içerisinde kırılmalıdır. Tüm briketlerin su içerisinde kalma zamanın eşit olması için briketler kırma süresi aralığıyla su içerisinde yerleştirilmelidir. Bu süreyi suda bekleyen briket alınarak marshall deney aletinin kırma kafasına yerleştirilir. Kırma kafasının üst segmanı sabit olup alt segmanın yükselme hızı 51 mm/dakikadır. Bu hızla yüklenen numünenin akma anındaki stabilometreden okunan "Marshall stabilitesi" değeri yardımıyla karışımın diğer özelliklerini saptanabilir. Bizim laboratuvar deneyleri sırasında hazırladığımız briketlerin bir kısmı Karayollar 17. Bölge Müdürlüğü Araştırma Başmühendisliği laboratuvarlarında, bir kısmı ise İ.T.Ü. Yol laboratuvarında kırılmıştır. Marshall hesaplarını bir tablo kullanarak basitçe yapmak mümkündür. Aynı bitüm yüzdesindeki üç numünenin kırmadan önce alınmış bulunan havadaki ve sudaki ağırlıkları yardımıyla pratik özgül ağırlıkları hesaplanır. Bu sonuçlardan birbirine %2 tolaransla yolun en az iki tanesi

alınarak ortalaması bulunur. Üçüde tölerans sınırları dışındaysa deney yinelinir. Yine ayrı bitüm yüzdesindeki üç nümenenin kırılma yüklerinin en küçük ve en büyük değerleri arasındaki fark 120 kg. geçmiyorsa alınır. Fark fazla ise deney yinelenebilir. Aynı bitüm yüzdesindeki akma değerlerinin ortalaması hesaplanır. Bu bilgiler ışığında bitüm yüzdesine bağlı olarak pratik özgül ağırlık, asfaltla dolu boşluk, stabilite, akma ve boşluk grafikleri çizilerek yoğunluk ve stabilite değerlerini maksimum yapan bitüm yüzdesi tesbit edilir. Karayolları Fenni Sartnamesinin Asfalt beton ve otoyol dizayn kriterleri Tablo II.12 ve Tablo II.13'te verilmiştir. Bundan sonraki kısımda ise laboratuvara yaptığımız marshall deneyi hesapları gösterilmiştir. Bu hesaplamaların devamında alınan deney sonuçları ve şu ana kadar özetlemeye çalıştığım kriterler dikkate alınarak deney sonuçlarının değerlendirilmesi yapılacaktır.

II.7.4.2 DİZAYN KRİTERLERİ

TABLO II.12 ASFALT BETONU DİZAYN KRİTERLERİ

ÖZELLİKLERİ	BİNDER		AŞINMA	
	Min.	Maks.	Min.	Maks.
Briket yapımında uygulanacak darbe sayısı	50	-	50	-
Marshall stabilitesi (kg)	600	-	750	-
Boşluk (%)	4	6	3	5
Asfaltla dolu boşluk (%)	65	75	75	85
Akma mm. (0,0 inç)	2,5 (0,18 inç)	4,6 (0,18 inç)	2,5 (0,10 inç)	4,6 (0,18 inç)
Asfalt çimentosu ağırlıkça (%)	3,5	6,5	4,0	7,0

TABLO II.13 OTOYOL DİZAYN KRİTERLERİ

ÖZELLİKLERİ	BİNDER		AŞINMA	
	Min.	Maks.	Min.	Maks.
Briket yapımında uygulanacak darbe sayısı	75	-	75	-
Marshall stabilitesi (Kg)	750	-	900	-
Boşluk (%)	4	6	3	5
Asfaltla dolu boşluk (%)	65	75	75	85
Akma, mm (0,08 inç)	2	4 (0,16 inç)	2 (0,08 inç)	4 (0,16 inç)
Filler/Bitüm oranı	-	1,4	-	1,5
(X) Suya daldırılmış nümunelerin stabilitesinin orijinal stabili teye oranı %	70	-	70	-

(X) Deney ihtiyacı olup istenirse ASTM.D.1075(AASHTO-T-165)e göre yapılacaktır.

Tümü		Toplam		Boşluk		Yükseklik		Total Ağırlık	
Adı	Adı	Adı	Adı	Adı	Adı	Adı	Adı	Adı	Adı
1. 4.0 324 626	1337.20	854.70	482.5	2.771				612.5	1.079
2. 4.0 324 622	1332.00	892.10	483.9	2.753				521.5	1.062
3. 4.0 324 629	1334.70	848.60	486.1	2.746				431.5	1.070
0.875 ton				2.751	3.215	10.24	75.41		
4. 4.0 401 624	1334.20	860.40	493.0	2.74.2				385.0	1.023
5. 4.0 401 627	1347.60	867.50	480.1	2.807				560.0	1.076
6. 4.0 401 614	1352.00	864.40	420.6	2.824				595.0	1.056
0.75 ton				2.770	3.189	11.55	75.56		
7. 5.0 4.76 626	1346.90	846.60	500.3	2.092				490.0	1.023
8. 5.0 4.76 608	1361.90	820.40	481.5	2.826				682.5	1.073
9. 5.0 4.76 605	1357.30	875.00	487.3	2.814				639.0	1.082
0.675 ton				2.878	3.156	12.77	75.15		
10. 5.5 5.0 5.95	1357.10	884.6	472.5	2.872				770.0	1.114
11. 5.5 5.0 5.99	1356.90	881.11	475.8	2.852				700.0	1.100
12. 5.5 5.0 5.95	1359.10	884.3	474.9	2.862				700.0	1.114
0.675 ton				2.762	3.126	13.90	74.16		
13. 6.0 5.0 5.41	1364.0	821.5	472.5	2.837				765.0	1.123
14. 6.0 5.0 5.43	1328.3	901.2	476.4	2.847				665.0	1.104
15. 6.0 5.0 5.47	1344.2	876.2	481.0	2.835				600.0	1.076
0.675 ton				2.612	3.096	15.55	77.24		
16. 6.5 6.1 5.99	1367.20	878.8	477.9	2.881				595.0	1.100
17. 6.5 6.1 6.02	1378.10	902.1	476.1	2.895				602.0	1.090
18. 6.5 6.1 5.96	1374.10	892.5	476.3	2.886				665.0	1.100
0.675 ton				2.807	3.068	17.01	77.09		
						22.9	74.25	5.90	682.70

Kabın toplam ağırlığı: 3.794 gr/grm²

İnce 490590 öngörülen: 3.414 gr/grm²

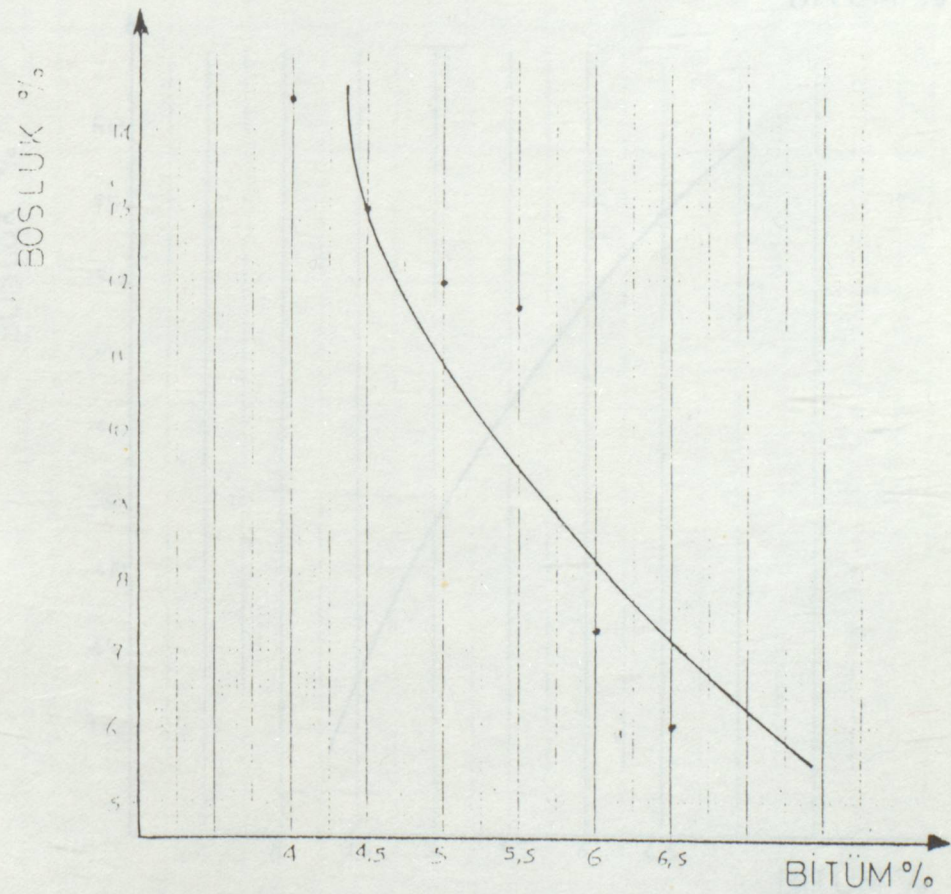
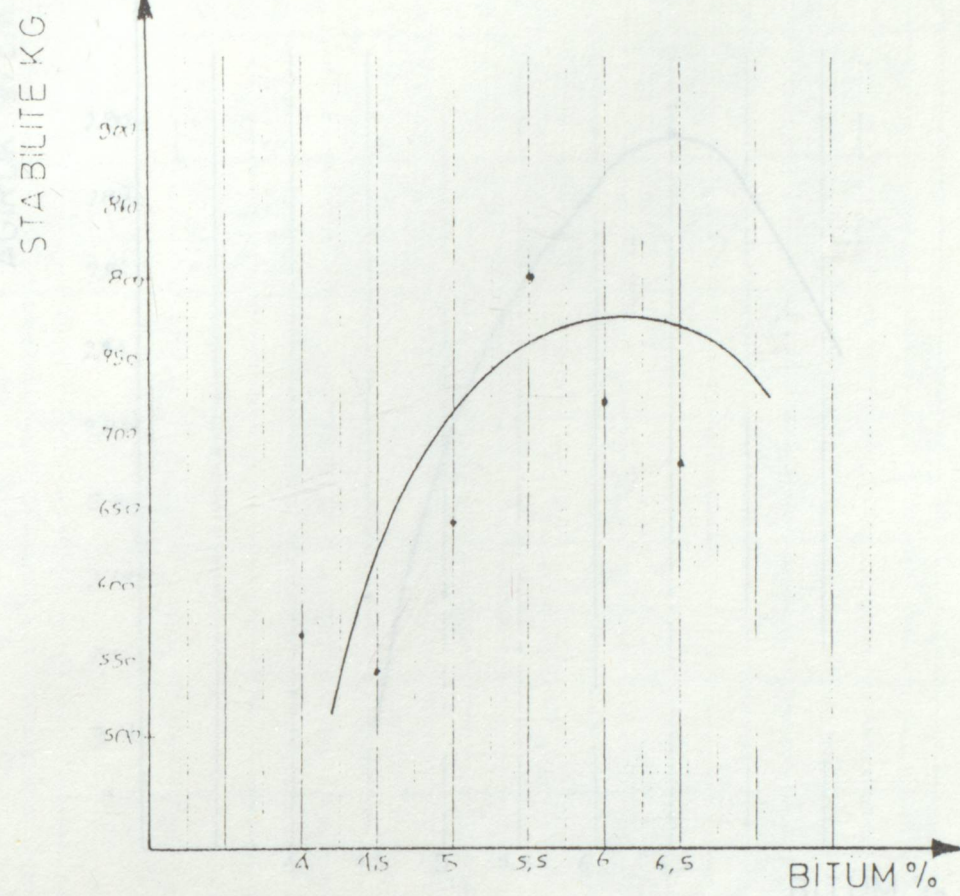
Filler öngörülen: 2.982 gr/grm²

(% 78 GC.+%15 GC.+%7 PG.)

İnci ağırlığı yüzdesi: % 39

İnce ağırlığı yüzdesi: % 54

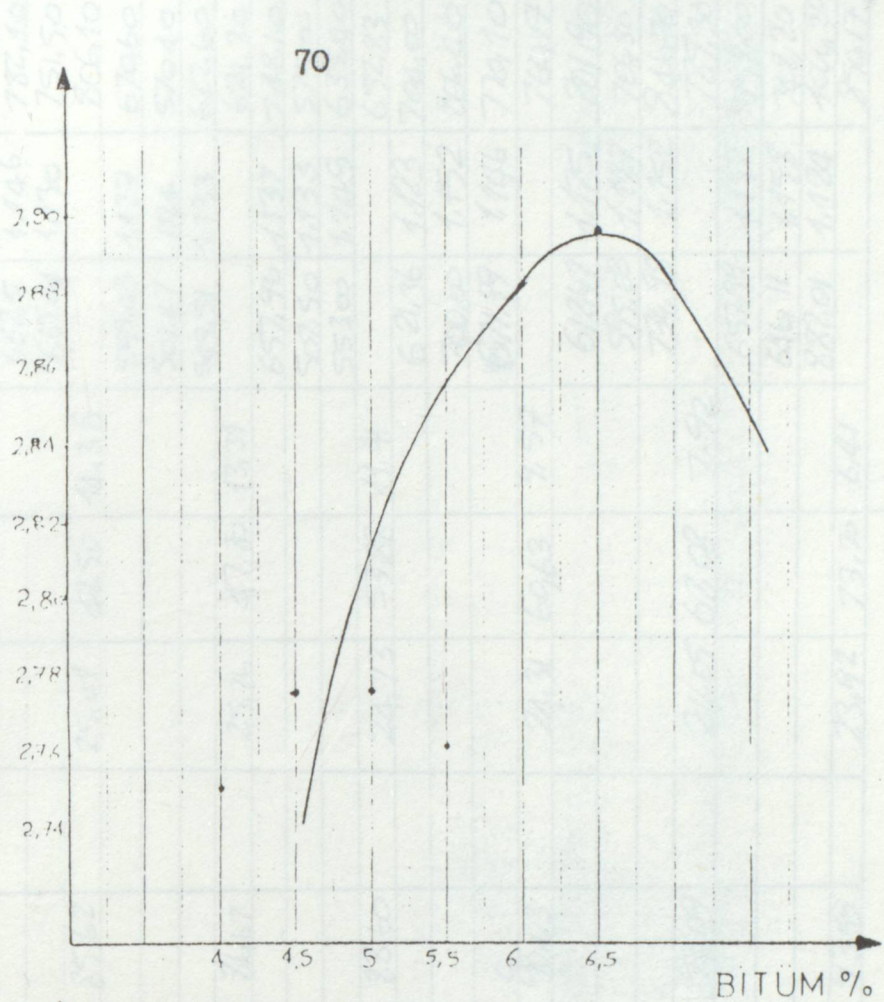
Filler yüzdesi: % 7



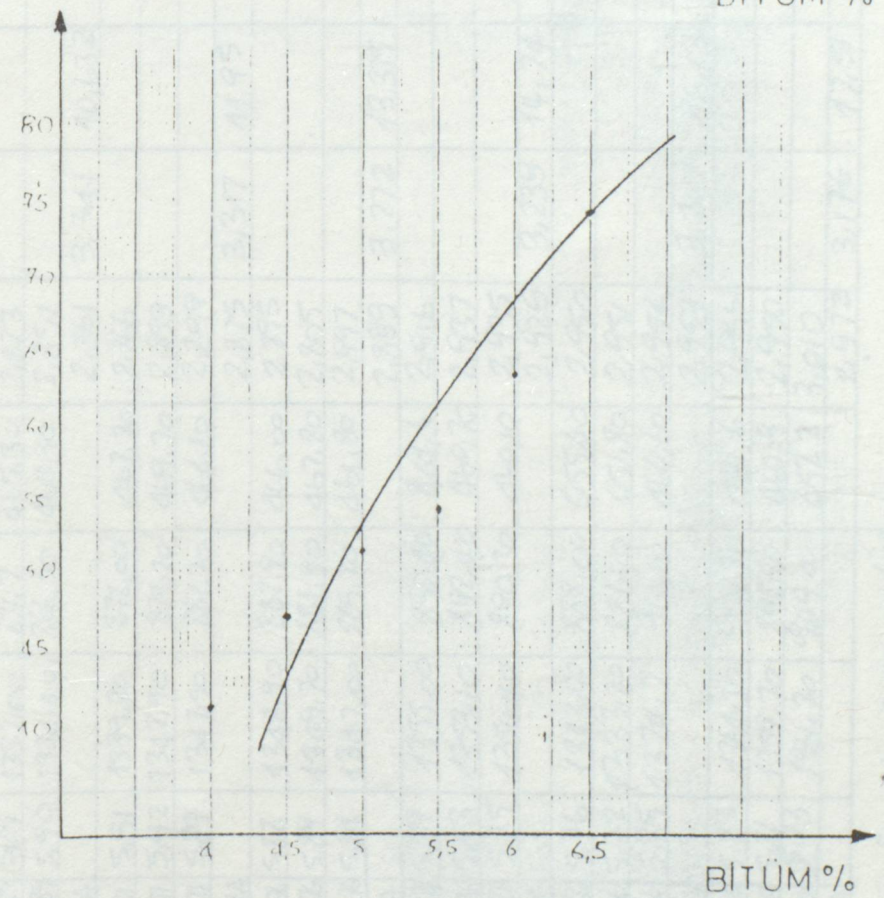
$$(\%78\text{C.C} + \%15\text{ G.C} + \%7\text{ P.C})$$

70

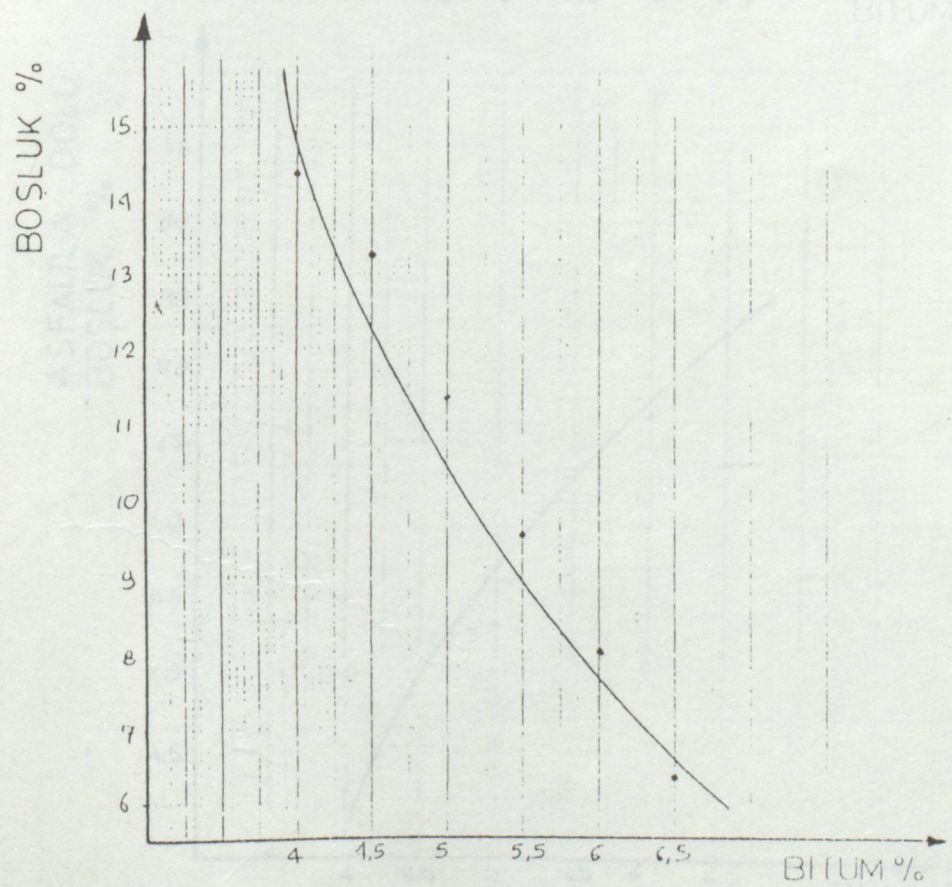
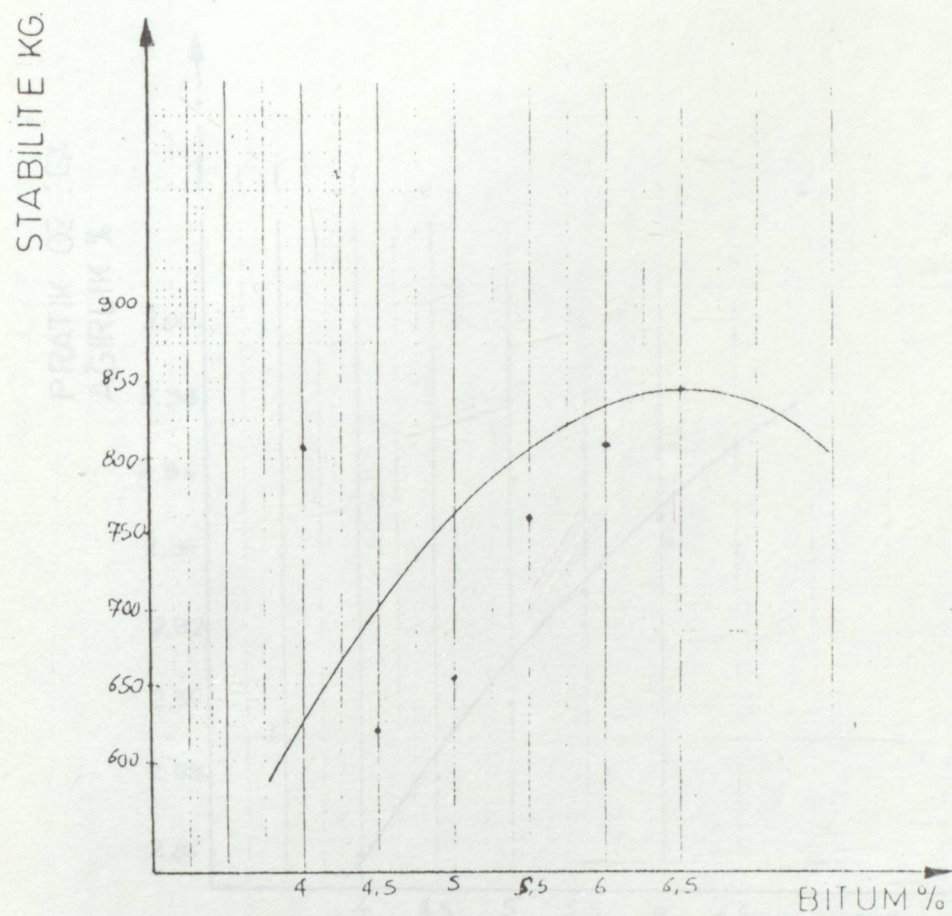
PRATİK ÖZGÜL
AĞIRLIK g/cm³



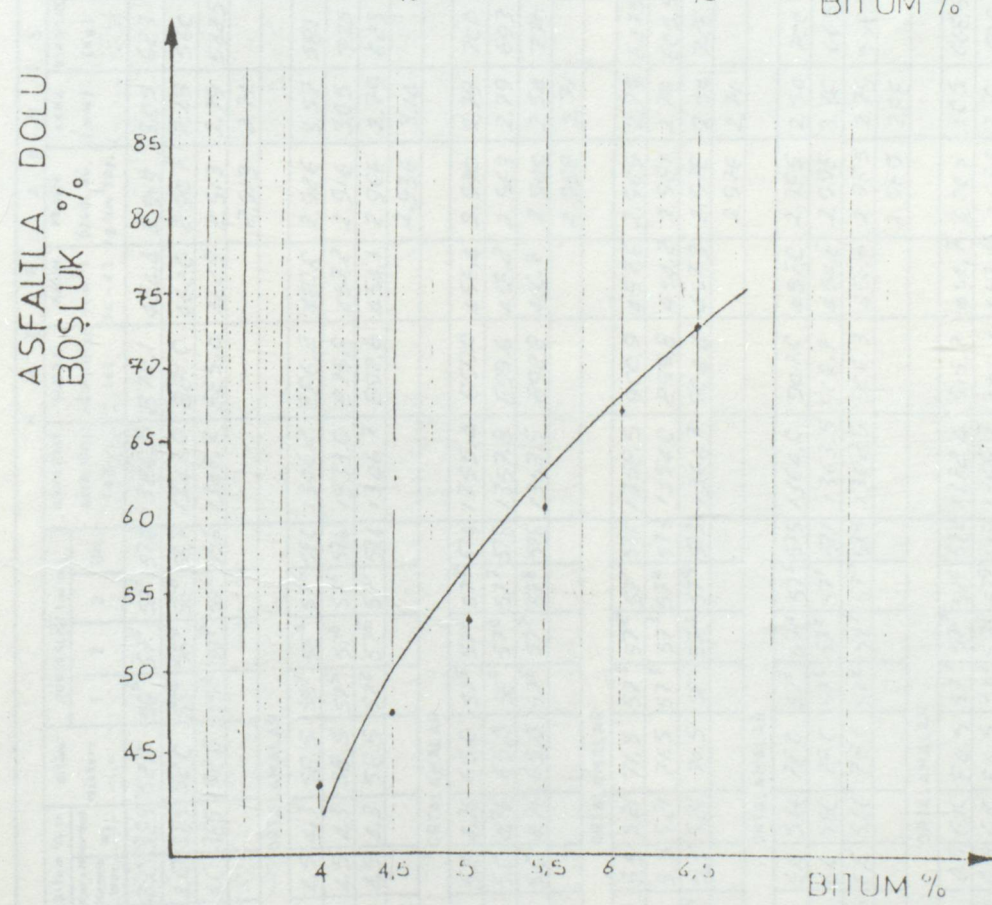
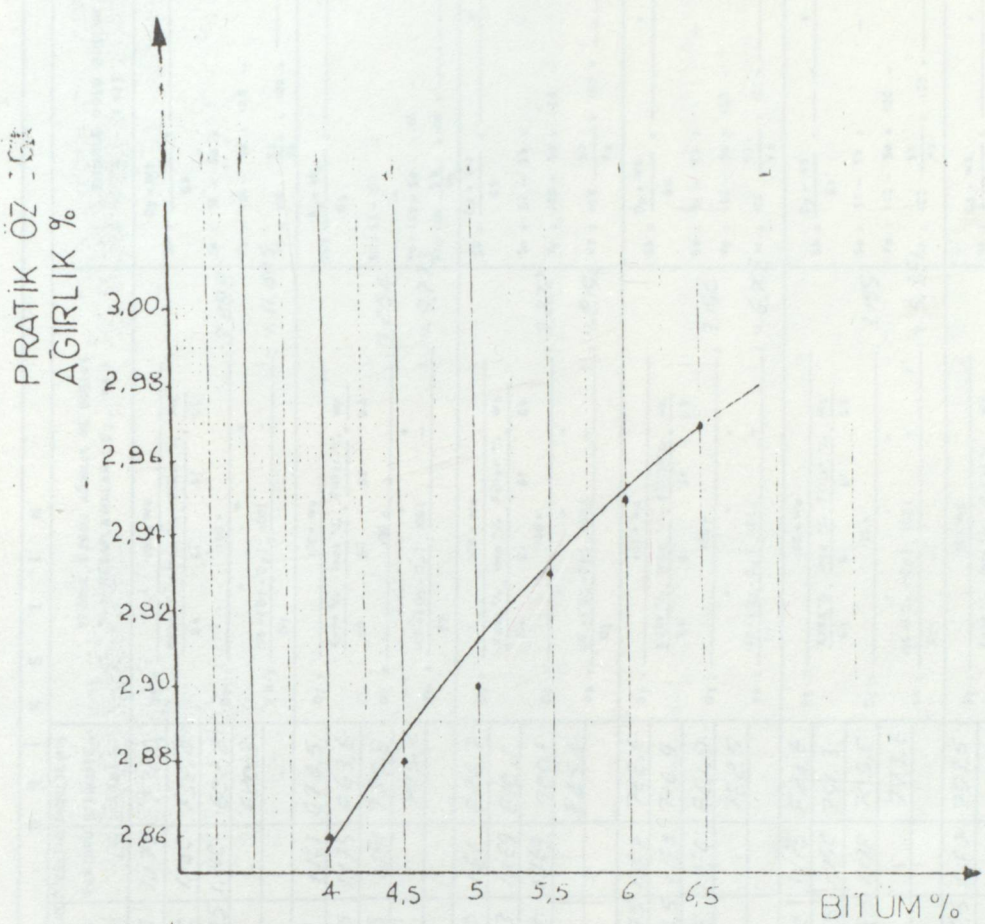
ASFALTA DOLU
BOŞLUK %



(%79 Ç.C + %15 G.C + %7 P.C)



(%83 Q.C + %10 G.C + %7 CÜRUF)



(%83 Ç.C X%10 G.C +%7 CÜRUF)

MARSHALL DENEY FORMU

((%83 BOF.+%10 GS.+%7 PG.)

Proje:

Kaplama Tipi:

İhali: ... / ... / 19 ... / ... / 19

NO	Kullanılan Materyal No'su	Birim	Yüksekliği (mm)	Hava Daki Ağırlığı (kg) (kg)	Sudaki Ağırlığı (kg) (kg)	Hacim (cm ³)	Pratik Özgül Ağırlığı (kg/cm ³)	AKMA (mm)	STABILITE DÜZELTME DEĞİŞİMİ	TEORİK ÖZGÜL AĞIRLIK VE BOSLUK VE BİLGİLER	BITMELİ DOLU BOSLUK YAN MESLESİ	
											D _b = $\frac{D_p + W_b}{G_b}$	S _a = $\frac{100 + W_a}{G_b}$
1. 40 385	52.0	58 ⁵	57 ²	57.6	1326.5	872.1	454.4	2.919	305	623	1.175	7320
2. 40 385	52.0	58 ⁶	58 ⁴	56.7	1343.0	881.0	462.0	2.907	229	560	1.140	738.4
3. 40 385	52.0	55 ⁶	59 ²	55.6	1346.3	885.0	462.9	2.913	279	5425.1	1.110	6022.8
ORTALAMALAR												
4. 4.5 4.3	58.5	58 ⁴	57 ⁶	56.4	1346.2	886.2	460.0	2.926	357	581	1.161	674.5
5. 4.5 4.3	58.5	58 ⁵	57 ⁶	57.6	1333.0	875.8	453.2	2.916	305	735	1.175	663.6
6. 4.5 4.3	58.5	58 ⁵	57 ²	57 ⁶	1346.7	882.6	450.1	2.966	279	623	1.161	735.6
ORTALAMALAR												
7. 50 4.76	65.0	57 ⁵	57 ⁴	57.4	1355.4	899.0	456.4	2.970	279	735	1.175	826.7
8. 50 4.76	65.0	57 ⁶	57 ³	57.6	1357.8	899.6	458.2	2.963	279	693	1.169	810.1
9. 50 4.76	65.0	57 ⁶	57 ²	57 ⁶	1353.5	892.8	460.7	2.940	250	780	1.169	922.1
ORTALAMALAR												
10. 5.5 5.21	71.5	57 ³	57 ²	57.2	1358.5	900.9	457.6	2.969	279	623	1.175	826.6
11. 5.5 5.21	71.5	57 ³	57 ³	57.3	1354.0	899.8	454.2	2.951	279	693	1.169	810.1
12. 5.5 5.21	71.5	58 ¹	57 ⁴	57.4	1361.7	861.7	453.4	2.934	253	780	1.169	922.2
ORTALAMALAR												
13. 6.6 5.66	76.0	57 ⁵	57 ⁴	57.5	1364.0	871.3	456.5	2.969	279	623	1.175	826.6
14. 6.6 5.66	76.0	57 ⁴	57 ²	57.1	1363.5	867.7	452.7	2.951	250	780	1.165	922.3
15. 6.6 5.66	76.0	57 ⁴	57 ¹	57.5	1362.9	862.9	453.6	2.955	279	595.5	1.178	705.0
ORTALAMALAR												
16. 6.5 6.6	76.0	57 ⁷	57 ²	57.0	1364.5	871.7	456.5	2.965	250	780	1.165	922.5
17. 6.5 6.6	76.0	57 ⁷	57 ¹	57.1	1363.5	867.7	452.7	2.951	250	780	1.165	922.3
18. 6.5 6.6	76.0	57 ⁷	57 ⁰	57.1	1362.9	862.9	453.6	2.955	279	595.5	1.178	705.0
ORTALAMALAR												
6. 6.5 6.6	76.0	57 ⁷	57 ²	57.0	1352.4	855.7	452.7	2.945	250	780	1.165	922.5
7. 6.5 6.6	76.0	57 ⁷	57 ¹	57.1	1365.7	867.7	452.7	2.951	250	780	1.165	922.3
8. 6.5 6.6	76.0	57 ⁷	57 ⁰	57.1	1363.5	862.9	453.6	2.955	279	595.5	1.178	705.0
ORTALAMALAR												
9. 6.5 6.6	76.0	57 ⁷	57 ²	57.0	1352.4	855.7	452.7	2.945	250	780	1.165	922.5
10. 6.5 6.6	76.0	57 ⁷	57 ¹	57.1	1365.7	867.7	452.7	2.951	250	780	1.165	922.3
11. 6.5 6.6	76.0	57 ⁷	57 ⁰	57.1	1363.5	862.9	453.6	2.955	279	595.5	1.178	705.0
ORTALAMALAR												
12. 6.5 6.6	76.0	57 ⁷	57 ²	57.0	1352.4	855.7	452.7	2.945	250	780	1.165	922.5
13. 6.5 6.6	76.0	57 ⁷	57 ¹	57.1	1365.7	867.7	452.7	2.951	250	780	1.165	922.3
14. 6.5 6.6	76.0	57 ⁷	57 ⁰	57.1	1363.5	862.9	453.6	2.955	279	595.5	1.178	705.0
ORTALAMALAR												
15. 6.5 6.6	76.0	57 ⁷	57 ²	57.0	1352.4	855.7	452.7	2.945	250	780	1.165	922.5
16. 6.5 6.6	76.0	57 ⁷	57 ¹	57.1	1365.7	867.7	452.7	2.951	250	780	1.165	922.3
17. 6.5 6.6	76.0	57 ⁷	57 ⁰	57.1	1363.5	862.9	453.6	2.955	279	595.5	1.178	705.0
ORTALAMALAR												
18. 6.5 6.6	76.0	57 ⁷	57 ²	57.0	1352.4	855.7	452.7	2.945	250	780	1.165	922.5
19. 6.5 6.6	76.0	57 ⁷	57 ¹	57.1	1365.7	867.7	452.7	2.951	250	780	1.165	922.3
20. 6.5 6.6	76.0	57 ⁷	57 ⁰	57.1	1363.5	862.9	453.6	2.955	279	595.5	1.178	705.0
ORTALAMALAR												
21. 6.5 6.6	76.0	57 ⁷	57 ²	57.0	1352.4	855.7	452.7	2.945	250	780	1.165	922.5
22. 6.5 6.6	76.0	57 ⁷	57 ¹	57.1	1365.7	867.7	452.7	2.951	250	780	1.165	922.3
23. 6.5 6.6	76.0	57 ⁷	57 ⁰	57.1	1363.5	862.9	453.6	2.955	279	595.5	1.178	705.0
ORTALAMALAR												
24. 6.5 6.6	76.0	57 ⁷	57 ²	57.0	1352.4	855.7	452.7	2.945	250	780	1.165	922.5
25. 6.5 6.6	76.0	57 ⁷	57 ¹	57.1	1365.7	867.7	452.7	2.951	250	780	1.165	922.3
26. 6.5 6.6	76.0	57 ⁷	57 ⁰	57.1	1363.5	862.9	453.6	2.955	279	595.5	1.178	705.0
ORTALAMALAR												
27. 6.5 6.6	76.0	57 ⁷	57 ²	57.0	1352.4	855.7	452.7	2.945	250	780	1.165	922.5
28. 6.5 6.6	76.0	57 ⁷	57 ¹	57.1	1365.7	867.7	452.7	2.951	250	780	1.165	922.3
29. 6.5 6.6	76.0	57 ⁷	57 ⁰	57.1	1363.5	862.9	453.6	2.955	279	595.5	1.178	705.0
ORTALAMALAR												
30. 6.5 6.6	76.0	57 ⁷	57 ²	57.0	1352.4	855.7	452.7	2.945	250	780	1.165	922.5
31. 6.5 6.6	76.0	57 ⁷	57 ¹	57.1	1365.7	867.7	452.7	2.951	250	780	1.165	922.3
32. 6.5 6.6	76.0	57 ⁷	57 ⁰	57.1	1363.5	862.9	453.6	2.955	279	595.5	1.178	705.0
ORTALAMALAR												
33. 6.5 6.6	76.0	57 ⁷	57 ²	57.0	1352.4	855.7	452.7	2.945	250	780	1.165	922.5
34. 6.5 6.6	76.0	57 ⁷	57 ¹	57.1	1365.7	867.7	452.7	2.951	250	780	1.165	922.3
35. 6.5 6.6	76.0	57 ⁷	57 ⁰	57.1	1363.5	862.9	453.6	2.955	279	595.5	1.178	705.0
ORTALAMALAR												
36. 6.5 6.6	76.0	57 ⁷	57 ²	57.0	1352.4	855.7	452.7	2.945	250	780	1.165	922.5
37. 6.5 6.6	76.0	57 ⁷	57 ¹	57.1	1365.7	867.7	452.7	2.951	250	780	1.165	922.3
38. 6.5 6.6	76.0	57 ⁷	57 ⁰	57.1	1363.5	862.9	453.6	2.955	279	595.5	1.178	705.0
ORTALAMALAR												
39. 6.5 6.6	76.0	57 ⁷	57 ²	57.0	1352.4	855.7	452.7	2.945	250	780	1.165	922.5
40. 6.5 6.6	76.0	57 ⁷	57 ¹	57.1	1365.7	867.7	452.7	2.951	250	780	1.165	922.3
41. 6.5 6.6	76.0	57 ⁷	57 ⁰	57.1	1363.5	862.9	453.6	2.955	279	595.5	1.178	705.0
ORTALAMALAR												
42. 6.5 6.6	76.0	57 ⁷	57 ²	57.0	1352.4	855.7	452.7	2.945	250	780	1.165	922.5
43. 6.5 6.6	76.0	57 ⁷	57 ¹	57.1	1365.7	867.7	452.7	2.951	250	780	1.165	922

MARSHALL DENEY FORMU

Kaplama Tipi : (%93, BOF, +%7 PG.)

Birimleri : ... / ... / ... / ...

Proje :

H A Z I R L A N M A S										B I R I K E T I N									
Birimler		Birimler		Yüzeylemiş		Yüzeylemiş		Makineler		Plastik		Sabitirme		Çıplak Dövme		Dövme		Dövme Dövme	
0	1	2	3	Dit	1	2	3	Dit	1	2	3	mm	mm	mm	mm	mm	mm	mm	mm
4,5 4,38	25,5	54,3	54,2	32,3	54,3	130,8	9,9	9,6,4	4,30,5	3,1	65,6	2,55	10,0	10,0	10,0	10,0	10,0	10,0	10,0
2,4,5 4,38	58,5	58,5	53,6	53,6	53,6	53,6	53,7	134,9,1	9,22,6	0,26,3	3,16,5	2,5	10,0	10,0	10,0	10,0	10,0	10,0	10,0
3,4,5 4,38	58,5	58,5	53,6	53,6	53,6	53,6	53,6	134,6,5	9,22,6	4,26,5	3,15,7	2,5	10,0	10,0	10,0	10,0	10,0	10,0	10,0
ORTALAMALAR										ORTALAMALAR									
2,50 4,76	65,0	53,5	53,5	53,6	53,6	53,6	53,6	135,4,2	9,22,6	4,22,3	3,16,9	3,6	65,0	1,38,6	2,2,5	0	0	0	0
5,50 4,76	65,0	54,2	54,2	54,1	54,1	53,6	53,6	135,6,1	4,27,6	3,17,6	3,2	68,1	1,29,3	88,5	0	0	0	0	0
5,50 4,76	65,0	53,6	53,6	53,6	53,6	53,6	53,6	135,6,6	9,32,1	4,24,3	3,19,5	3,1	74,0	1,31,1	9,2,1	0	0	0	0
ORTALAMALAR										ORTALAMALAR									
2,5,5 5,21	71,5	52,6	52,6	53,0	53,0	52,9	52,9	135,2,4	9,21,2	4,20,2	3,21,3	5,7	74,0	1,20,4	10,2,4	0	0	0	0
2,5,5 5,21	71,5	52,6	52,6	53,0	53,0	53,0	53,0	135,5,5	9,33,3	4,22,2	3,21,0	3,4	74,6	1,31,4	9,2,2	0	0	0	0
2,5,5 5,21	71,5	52,6	52,6	53,6	53,6	53,6	53,6	135,4,2	9,20,9	4,24,3	3,19,1	3,0	65,8	1,21,5	E54,7	0	0	0	0
ORTALAMALAR										ORTALAMALAR									
C,66 5,66	78,0	54,1	54,3	54,3	54,3	54,3	54,3	136,0,9	9,34,6	4,26,1	3,19,4	4,5	65,2	1,29,6	E79,6	0	0	0	0
1,66 5,66	78,0	53,9	53,9	53,9	53,9	53,9	53,9	135,5,3	4,22,9	3,21,9	4,3	65,0	1,31,7	E56,1	0	0	0	0	
2,66 5,66	78,0	53,6	53,6	53,6	53,6	53,6	53,6	135,7,7	9,36,7	4,21,6	3,22,5	4,4	65,6	1,32,6	E29,9	0	0	0	0
ORTALAMALAR										ORTALAMALAR									
3,6,5 6,7	84,5	53,3	53,3	53,6	53,6	53,5	53,5	135,9,6	9,37,6	4,22,0	3,22,1	4,4	54,0	1,31,1	70,7,5	0	0	0	0
4,6,5 6,7	84,5	54,5	53,1	52,6	52,6	51,5	53,5,2	136,1,5	9,35,2	4,28,3	3,19,4	5,2	65,0	1,29,3	E71,7	0	0	0	0
5,6,5 6,7	84,5	53,2	53,2	53,1	53,1	53,3	53,3	135,7,0	9,27,8	4,21,2	3,15,7	5,7	65,0	1,31,7	E50,2	0	0	0	0
ORTALAMALAR										ORTALAMALAR									
E = Kapı miktarı örtükler = 3,754	Gb = Erit. T. egrul egrisi = 1,036	S1 = Stab. teneke dolum birimi = 100 kg	S2 = Erit. teneke dolum birimi = 1,336	S3 = 1,250	S4 = 1,250	S5 = 1,250	S6 = 1,250	S7 = 1,250	S8 = 1,250	S9 = 1,250	S10 = 1,250	S11 = 1,250	S12 = 1,250	S13 = 1,250	S14 = 1,250	S15 = 1,250	S16 = 1,250	S17 = 1,250	S18 = 1,250
S1 = İnce	= 3,552	Erit. teneke dolum birimi = 1,336	Erit. teneke dolum birimi = 1,336	Erit. teneke dolum birimi = 1,336	Erit. teneke dolum birimi = 1,336	Erit. teneke dolum birimi = 1,336	Erit. teneke dolum birimi = 1,336	Erit. teneke dolum birimi = 1,336	Erit. teneke dolum birimi = 1,336	Erit. teneke dolum birimi = 1,336	Erit. teneke dolum birimi = 1,336	Erit. teneke dolum birimi = 1,336	Erit. teneke dolum birimi = 1,336	Erit. teneke dolum birimi = 1,336	Erit. teneke dolum birimi = 1,336	Erit. teneke dolum birimi = 1,336	Erit. teneke dolum birimi = 1,336	Erit. teneke dolum birimi = 1,336	Erit. teneke dolum birimi = 1,336
S1 = Filtre	= 3,552	Erit. teneke dolum birimi = 1,336	Erit. teneke dolum birimi = 1,336	Erit. teneke dolum birimi = 1,336	Erit. teneke dolum birimi = 1,336	Erit. teneke dolum birimi = 1,336	Erit. teneke dolum birimi = 1,336	Erit. teneke dolum birimi = 1,336	Erit. teneke dolum birimi = 1,336	Erit. teneke dolum birimi = 1,336	Erit. teneke dolum birimi = 1,336	Erit. teneke dolum birimi = 1,336	Erit. teneke dolum birimi = 1,336	Erit. teneke dolum birimi = 1,336	Erit. teneke dolum birimi = 1,336	Erit. teneke dolum birimi = 1,336	Erit. teneke dolum birimi = 1,336	Erit. teneke dolum birimi = 1,336	Erit. teneke dolum birimi = 1,336
Taraf %	= 3,5																		
Dönüş Fırın Adı Seçimi :																			
İmzası :																			

İmzalı:

Yazılı: *[Signature]* Tarih: *[Date]*

Proje: *[Project Name]* Sayı: *[Project No.]*

Detaylı: *[Detailed Description]*

İmzalı:

İmzalı:

İmzalı:

İmzalı:

İmzalı:

İmzalı:

İmzalı:

İmzalı:

İmzalı:

İmzalı:

İmzalı:

İmzalı:

İmzalı:

İmzalı:

İmzalı:

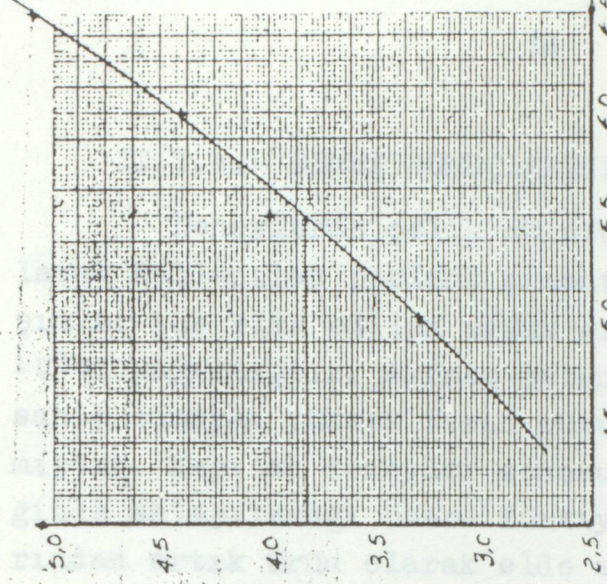
İmzalı:

İmzalı:

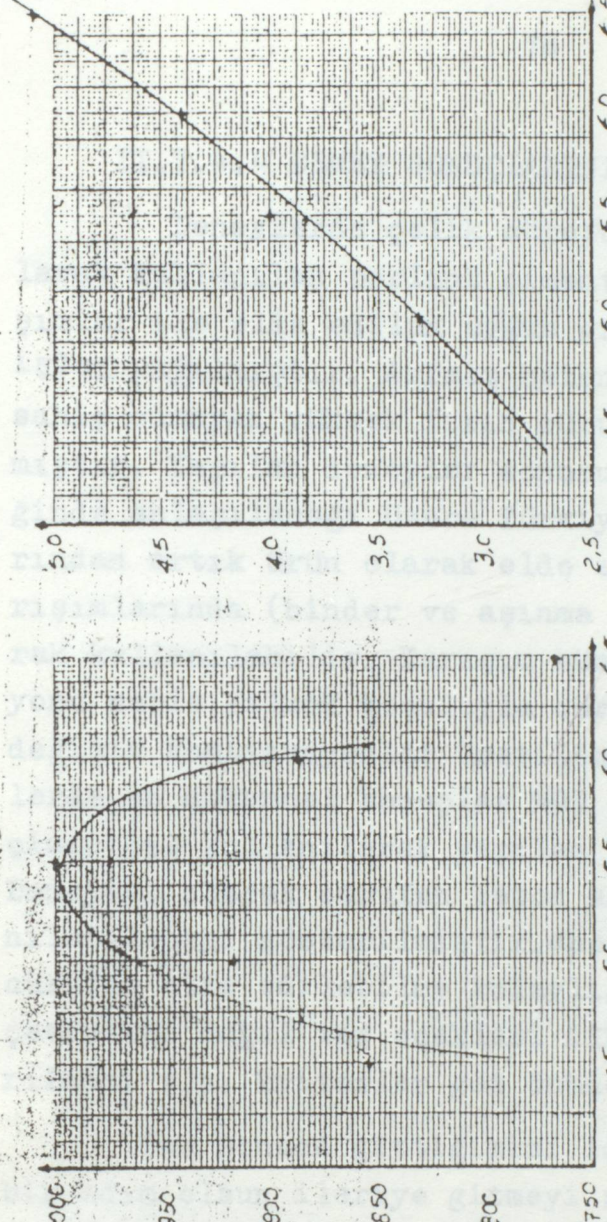
İmzalı:

(%93 BOF +%7 PG.)

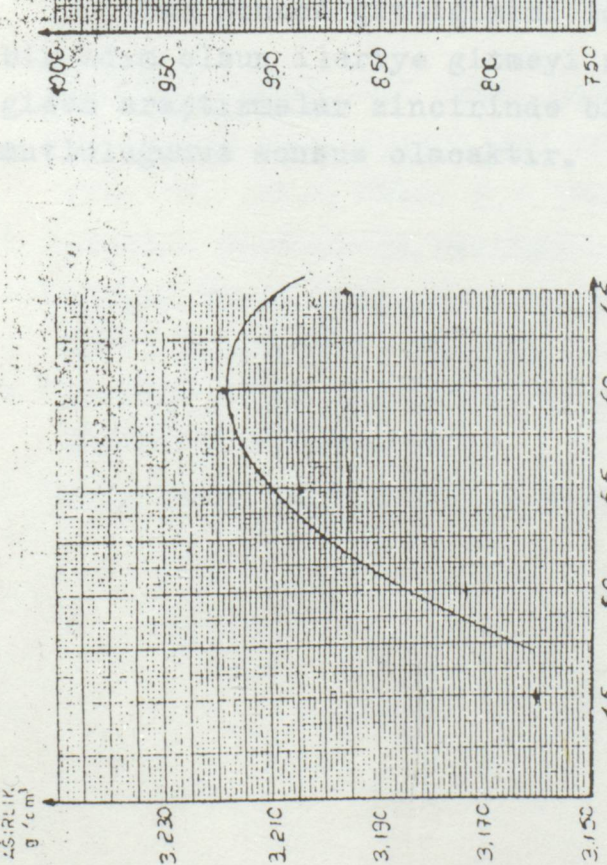
AKMA
mm



K6



K6



PRAKTİK
ÇİZGİ
AŞIRI
g / cm³

ASFALT BETONU KAPLAMA İÇİN SAĞINAC DEĞERLERİ =

BİNDER T. ASINMA T.

STABILITE (kg) min 500

BOSLUK % s: 4 - 6

AKMA (mm) 250 - 457

BITUM'E DOLU

BOSLUK % s: 65 - 75

BITUM %

DENEY SONUÇLARI =

OPTİMJM BITUM % s: 5,5

STABİLITE (CP1 BITÜMDE) = 1000 kg

PRAKTİC ÇİZGİ () = 3,210 g / cm³

BOSLUK % s: 3,4

AKMA () = 3,625

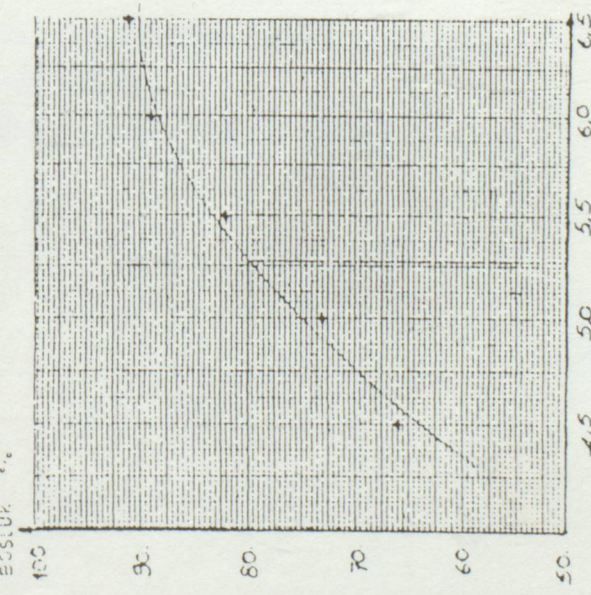
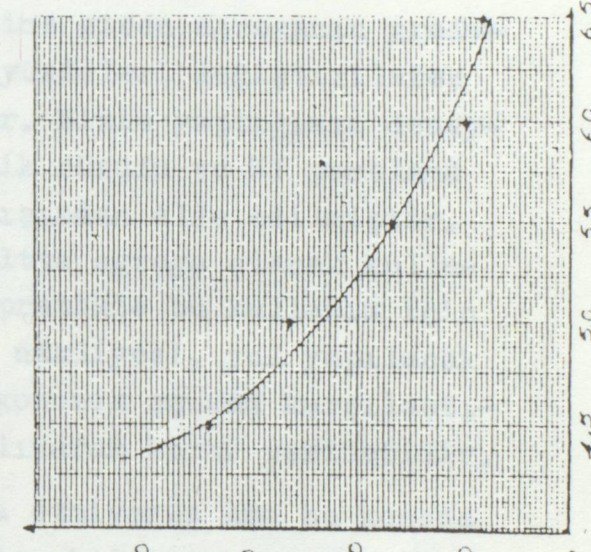
BITUM %

AKMA () = 3,23

BITUM %

AKMA () = 3,15

BITUM %



AKMA () = 3,15

BITUM %

II.7.4.4 DENEY SONUÇLARININ DEĞERLENDİRİLMESİ

Deneyselde çelik cırufu, granüle cıruf ve filler olarak kullanılan portant çimentosu ile değişik yüzdeli karışımalar ile elde edilen uygun gradasyonlu agregat grupları ile işlem yapılmıştır. Asfalt betonu için yeterli özelliklere sahip olmayan yüksek fırın cırufu karışımında kullanılmıştır. Yapılan deneyler sonucu çizilen grafikler incelendiğinde anlaşılabileceği üzere Türkiye'deki demir çelik fabrikalarından artık ürün olarak elde edilen cıruf asfalt betonu karışımında (binder ve aşınma tabakaları için) agregat olarak kullanılabilir. Karışım bünyesine giren agreganın gradasyonu sabit kalmak koşuluyla cıruf yüzdesi değiştirilerek değişik kombinasyonlar üretilebilir. Bizim yaptığımiz deneylerde en mükemmel sonuçlar %93 çelik cırufu ve %7 portland çimentosu kullanılarak yapılan karışımından elde edilmiştir. Deneysel olarak cırufun beton asfaltta agregat olarak kullanılabileceği gösterilmiştir, ancak pratikte bu kullanım için cırufun elde edilebilme kolaylığı, nakliyesi, yol yapılacak çevredeki doğal taş ocakları ile ekonomik açıdan karşılaştırılması v.s. kriterler göz önüne alınarak karar verilebilir.

Tam sonuca gittiğimizi iddia etmiyoruz ama bu konuda bir adım olsun ileriye gitmeyi sağlayabildiğimiz ve sonuca giden araştırmalar zincirinde bir halkayı teşkil edebilirsek mutluluğumuz sonsuz olacaktır.

- "YOLLAR FENNI SİGAK KARİŞIMI İLE İLGİLİ DENEY SONUÇLARI" K.G.M. 1985
- "BITÜMÜ SİGAK KARİŞİMİ İLE İLGİLİ DENEY SONUÇLARI" K.G.M. 1985
- "YOLLAR FENNI SİGAK HAMURU İLE İLGİLİ DENEY SONUÇLARI" K.G.M. 1985

YARARLANILAN KAYNAKLAR

- "YOL ÜST YAPISI" Prof. Faruk UMAR
Doç. Dr. Emine AĞAR, İ.T.Ü. 1985
- "YOL İNŞAATI" Doç. Bekir YILDIRIM, F.Ü. 1982
- "YOL MÜHENDİSLERİ İÇİN ZEMİN MEKANIĞI", İ.T.Ü. 1970
D.S.I.R Road Research Laboratory Y.KUMBASAR
F.KUMBASAR Tercüme
A.ÖNALP
- "KARAYOLLARI ESNEK ÜSTYAPILAR PROJELENDİRME REHBERİ"
K.G.M. 1984
- "BİTÜMLÜ MALZEMELER LABORATUVAR EL KİTABI", KGM. 1979
- "YENİ YAPILACAK YOLLarda ÜSTYAPININ PROJELENDİRİLMESİ
İÇİN BİR REHBER" K.G.M. 1980
- "AASHTO INTERIM GUIDE FOR DESIGN OF PAVEMENT STRUCTURES"
AASHTO, 1972, Washington
- "ASPHALT PAVEMENT ENGINEERING" Hugh. A.Wallace
J.Rogers Martin, U.S.A. 1967
- "PRINCIPLES OF PAVEMENT DESIGN" E.J. Yoder
M.W.Witczak, CANADA, 1975
- "BİTÜMLÜ KAPLAMALAR FENNİ ŞARTNAMESİ", K.G.M. 1983
- "ULAŞTIRMA YAPILARINDA ALT VE ÜST YAPI HESABI" Ders notları
Doç. Dr. Aydın EREL, Y.Ü. 1985-86 ders yılı.
- "BİTÜMLÜ MALZEMELER TERİMLERİ SÖZLÜĞÜ" K.G.M. 1968
- "YOLLAR FENNİ ŞARTNAMESİ VE BİTÜMLÜ KAPMALAR FENNİ ŞARTNA-
MESİ" K.G.M. 1986, Üstyaşı Şube Müdürlüğü
- "BİTÜMLÜ SICAK KARIŞIM KAPLAMA İŞLERİ İÇİN ÖZEL FENNİ
ŞARTNAME" K.G.M. 1985
- "ÖZEL FENNİ ŞARTNAME" K.G.M. 1986

ÖZGEÇMİŞİM

1963 yılında Sivas'ın Gürün ilçesinde doğdum.

İlk, orta ve lise öğrenimimi Gürün'de yaptım.

1980 yılında Gürün Lisesinden mezun oldum. Aynı yıl Üniversite seçme sınavları sonucu Fırat Üniversitesi Mühendislik Fakültesi, İnşaat Mühendisliği Bölümü'nde okumaya hak kazandım. 1980-1984 yılları arasında lisans öğrenimimi yaptım ve 1984 yılı Haziran döneminde mezun oldum. Temmuz 1984 ile Şubat-1985 tarihleri arasında özel bir firmada Şantiye Mühendisi olarak görev yaptım. Şubat-1985'te Yıldız Üniversitesi Fen Bilimleri Enstitüsü'nce açılan sınavı kazanarak İnşaat Mühendisliği bölümü Ulaştırma Anabilim Dalı'nda yük-bek lisans eğitimine başladım.

